



中国医师协会第六届多发性骨髓瘤学术会议 暨湖南省第七届多发性骨髓瘤高峰论坛

2020年9月4-5日 湖南·长沙 线上+线下

主办单位：中国医师协会 / 中国医师协会血液科医师分会

承办单位：国家血液系统疾病临床医学研究中心-北京大学人民医院 / 中南大学湘雅三医院

江 编





中国医师协会第六届多发性骨髓瘤学术会议 暨湖南省第七届多发性骨髓瘤高峰论坛

欢迎词

尊敬的各位代表、同道：

您们好！

九月的长沙，秋高气爽，风景怡人。热烈欢迎大家百忙之中来长沙参加中国医师协会多发性骨髓瘤专业委员会学术会议。在此感谢各位专家对中南大学湘雅三医院血液科的关注、关照、支持和帮助，感谢各位专家对湖南省血液病诊治，特别是骨髓瘤规范化诊治的指导！会议及工作之余，各位嘉宾可以漫步湘江两岸风光带或登上岳麓山，一览长沙全貌；静观“湘江北去，橘子洲头”，感受伟人“恰同学少年”“指点江山”的豪迈；参观岳麓书院，领略湖湘教育文化；也可以逛逛太平老街及五一商圈，感受不夜城的热闹非凡，品尝长沙特色美食。哪怕是忙里偷闲，您也可以近距离欣赏长沙的新名片，长沙市城市副中心、您入住酒店所在地梅溪湖夜景和桃花岭秋色。您若有意考察座落在岳麓山下的中南大学或者是长沙市政府傍边中南大学湘雅医学院和湘雅三医院，我们就是您的向导。

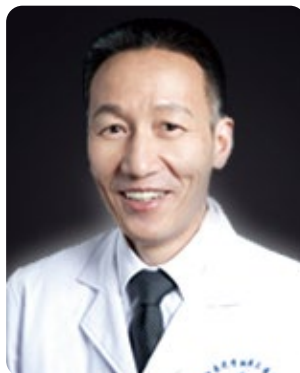
热切期待您的参与！



大会主席:黄晓军



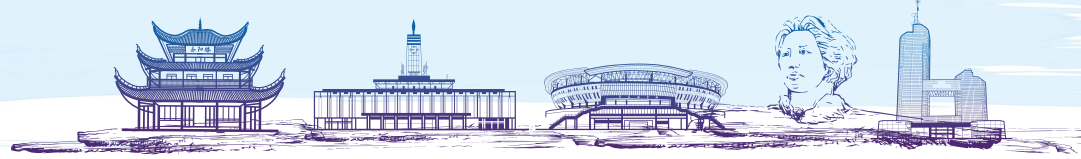
共同主席:刘开彦



执行主席:刘竞



执行主席:路瑾



大会日程

5日上午会场

开幕式及专题报告

时间	内容	讲者	主持
08:00-08:20	开幕致辞 陈翔副校长，张国刚院长，黄晓军会长， 刘开彦副会长，谢启麟秘书长，刘竞教授）		路瑾
08:20-08:55	MGRS 中的几个问题	Nelson leung	赵明辉
08:55-09:30	The first H2H study between 2 generations BTK inhibitors—ASPEN: Zanubrutinib vs. Ibrutinib for Patients with WM	Constantine Tam	傅琤琤
09:30-09:50	卫星会：浆细胞疾病的动员策略	刘开彦	胡建达
09:50-10:10	走进中国循证 - 从 Rd 到 IRd 看我国多发性骨髓瘤的新药研究之路	侯健	胡豫
10:10-10:30	走进中国循证 - 努力提高年轻 MM 患者的 PFS、OS, 实现把恶性病转化为慢性病的目标	李娟	王欣
10:30-10:50	走进中国循证 - 浆细胞疾病流行病学及现状调查	路瑾	路瑾
10:50-11:10	走进中国循证 - 初探难治复发多发性骨髓瘤的转化研究	蔡真	施菊妹
11:10-11:30	走进中国循证 - 多发性骨髓瘤伴发浆细胞瘤的诊断和治疗	陈文明	黄东平
11:30-11:50	卫星会：从指南到临床实践：中国复发 MM 的免疫靶向治疗	路瑾	傅卫军
11:50-12:15	卫星会：The next generation of monoclonal protein measurement	Kuan Boone Tan	王晓波
12:15-12:35	卫星会：postEHA NDMM 的治疗进展	刘澎	陈文明
12:15-13:30	午餐		

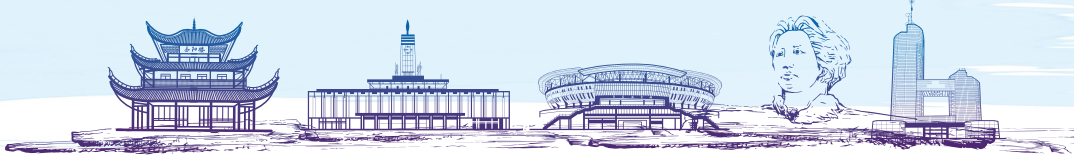


中国医师协会第六届多发性骨髓瘤学术会议 暨湖南省第七届多发性骨髓瘤高峰论坛

5日下午会场

疑难浆细胞病论坛 论坛主席：路瑾、侯健

时间	内容	讲者	主持
13:30-13:42	病例 1: 抽丝剥茧觅真凶	王 婷	刘 辉
13:42-13:50	讨论嘉宾：杨琳 马艳萍		
13:50-14:02	病例 2: 一例“特殊的”MM	杨光忠	阎 骅
14:02-14:10	讨论嘉宾：黄欣 贡铁军 孟海涛		
14:10-14:22	病例 3: 多发性骨髓瘤患者合并类白血病反应及获得性肝素样抗凝物 1 例	陈丽娟	李莉娟
14:22-14:30	讨论嘉宾：张晓辉 刘会兰		
14:30-14:42	病例 4: 一例原发性轻链型淀粉样变合并 B 细胞慢性淋巴增殖性疾病的病例分析	方 怡	孙春艳
14:42-14:50	讨论嘉宾：罗军 魏永强		
14:50-15:02	病例 5: 多发性骨髓瘤中枢累及，如何鉴定？	李湘新	王鲁群
15:02-15:10	讨论嘉宾：高大 曲建华		
15:10-15:22	病例 6: 地西他滨联合硼替佐米和地塞米松治疗 14 例复发 / 难治性多发性骨髓瘤	刘 晴	房佰俊
15:22-15:30	讨论嘉宾：罗建民 靳凤艳		
15:30-15:42	病例 7: 多发性骨髓瘤合并骨髓增生异常综合征	廖爱军	赵洪国
15:42-15:50	讨论嘉宾：苏丽萍 陈兵		
15:50-16:02	病例 8: 细胞免疫治疗，斩瘤利剑	廖 益	牛 挺
16:02-16:10	讨论嘉宾：糜坚青 高广勋		
16:10-16:20	茶歇		



专题报告

时间	内容	讲者	主持
16:20-16:40	卫星会：苯达莫司汀在浆细胞疾病中的应用	李娟	李振宇
16:40-17:00	卫星会：The management of Multiple Myeloma in the era of post-COVID 19	Shaji Kumar	钟玉萍
17:00-17:30	Optimize Stem Cell mobilization in Myeloma	Nicolaus Kroeger	付蓉
17:30-17:50	卫星会：BLD 方案在多发性骨髓瘤中的应用	杜鹃	刘竞
17:50-18:20	淀粉样变性的诊治进展	Paolo Milani	黄湘华
18:20-18:30	大会总结	路瑾教授、刘竞教授	

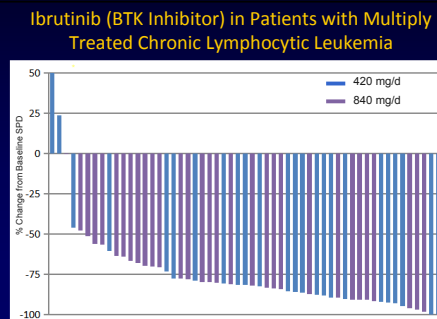
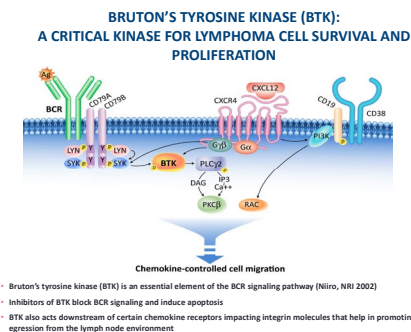
The First Head-to-Head Study Between Two Generations of BTK Inhibitors – ASPEN: Zanubrutinib vs Ibrutinib for Patients with Waldenstrom Macroglobulinemia

Professor Constantine (Con) S. Tam

University of Melbourne
Peter MacCallum Cancer Centre & Royal Melbourne Hospital

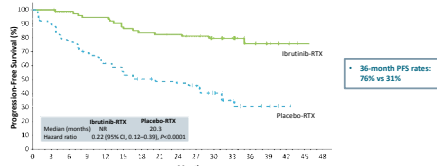
Waldenstrom Macroglobulinemia

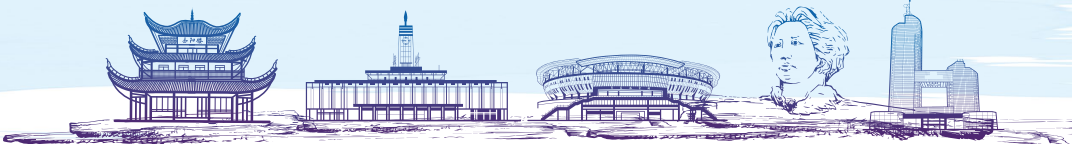
- An uncommon subtype of Non-Hodgkin Lymphoma
- IgM Paraprotein
- Lymphoplasmacytic Infiltrate in Bone Marrow
- MYD88 Mutation in 90%
- CXCR4 Mutation 30% = aggressive, resistant disease
- Traditional therapy – rituximab-based chemotherapy or bortezomib-based combinations



Slide courtesy of Jan Burger

BTK Inhibition Effective in Waldenstrom Macroglobulinemia: INNOVATE Study





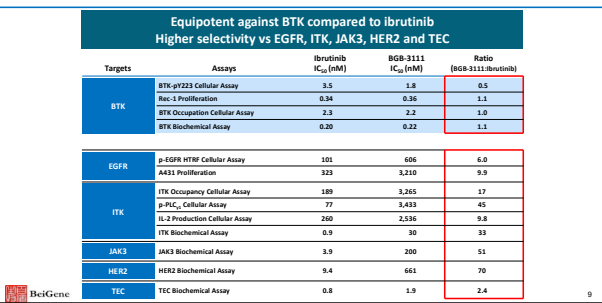
How can Ibrutinib be improved?

- Some Ibrutinib side-effects may be related to off-target toxicity
 - Platelet dysfunction / bleeding (~50% overall, <5% serious)
 - Atrial fibrillation 5 – 15 %
 - Self-limiting diarrhea / rash (EGFR) ~50%
 - Toxicities are likely due to "off-target" inhibition of EGFR/JAK3/TEC
- Relatively low oral bioavailability
- Interference with anti-CD20 mediated ADCC in vitro
- BTK 481 and PLC γ mutations conferring resistance

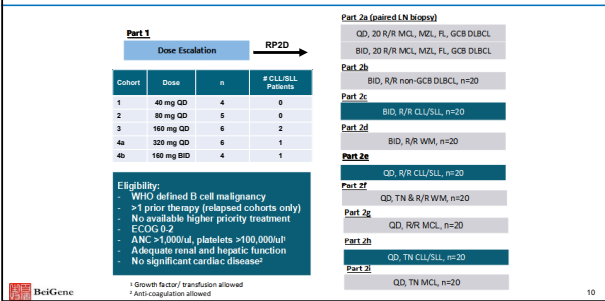
Zanubrutinib (BGB-3111) Timeline at VCCC



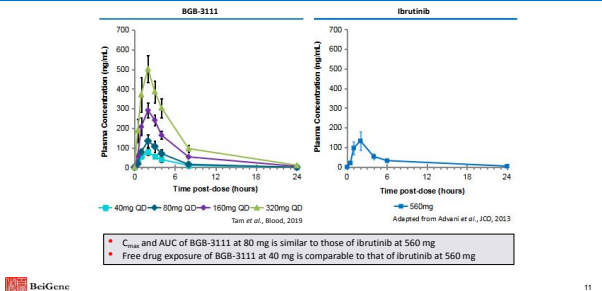
BGB-3111: Kinase Selectivity Relative to Ibrutinib



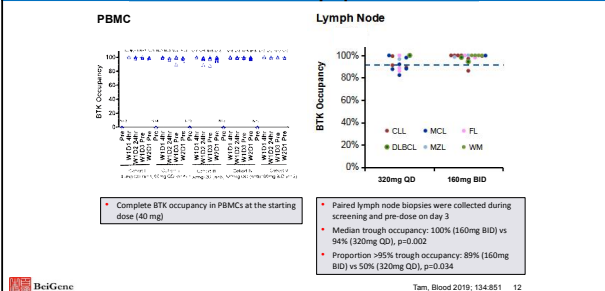
BGB-3111 First-in-Human Study



Plasma Exposure Comparison for BGB-3111 & Ibrutinib

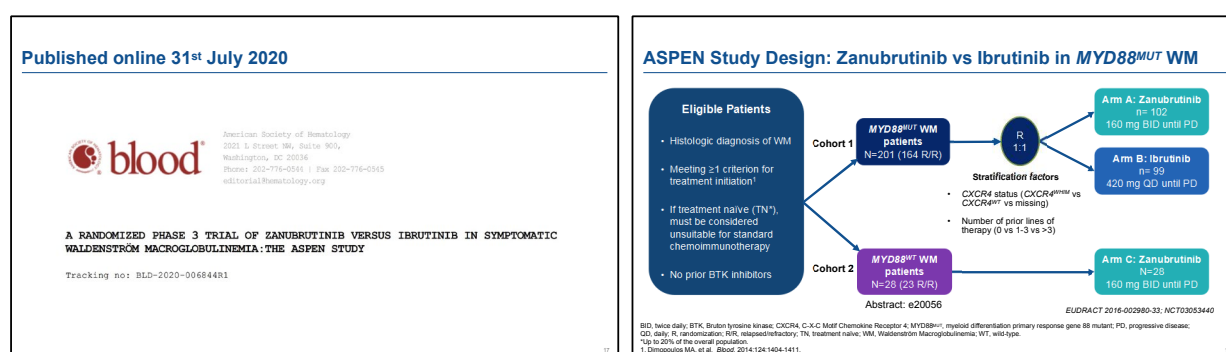
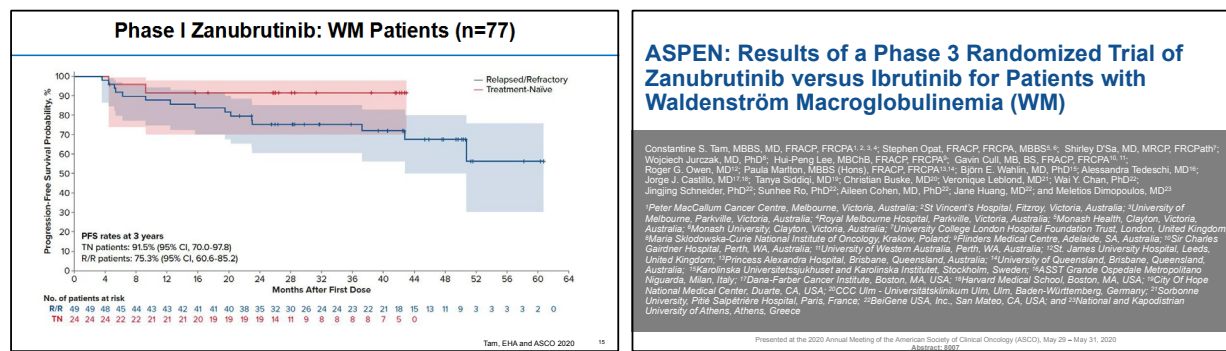
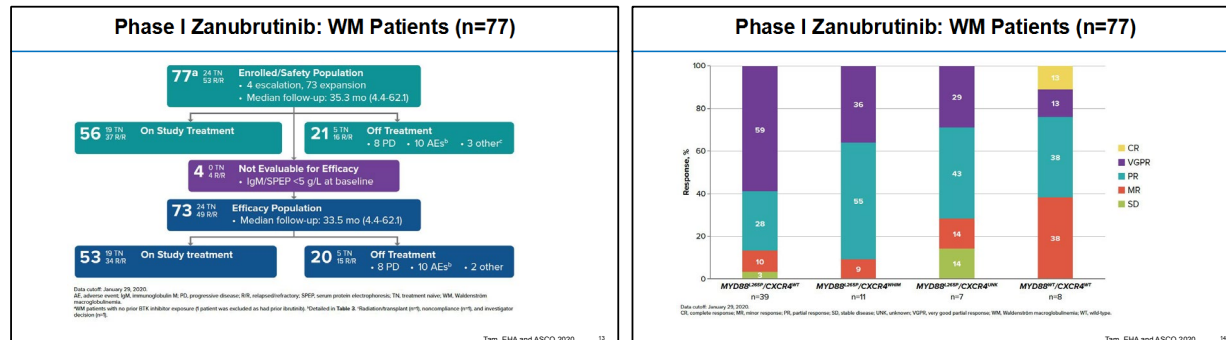


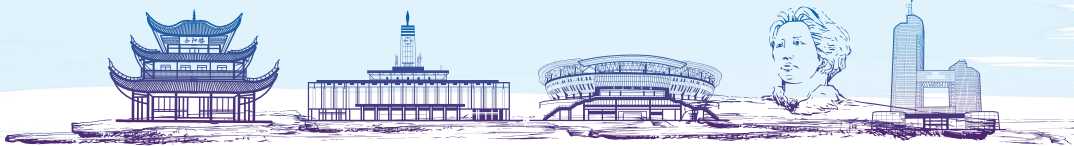
Complete and Sustained BTK Occupancy in PBMC and Lymph Node





中国医师协会第六届多发性骨髓瘤学术会议 暨湖南省第七届多发性骨髓瘤高峰论坛





ASPEN Study Objectives

Primary Objective

- To compare the efficacy of zanubrutinib vs ibrutinib
 - Primary endpoint was CR + VGPR rate in patients with activating mutations (*MYD88^{L265P}*) WM

Secondary Objectives

- To further compare the efficacy, clinical benefit, and anti-lymphoma effects of zanubrutinib vs ibrutinib
- To evaluate safety and tolerability of zanubrutinib versus ibrutinib as measured by the incidence, timing, and severity of TEAEs according to NCI-CTCAE (version 4.03)

Exploratory Objectives

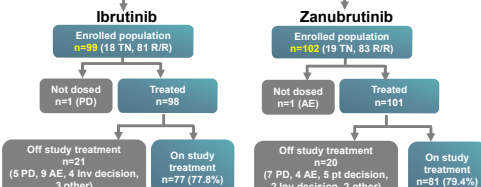
- To characterize the PK of zanubrutinib in patients with WM
- To compare QoL by EORTC QLQ-C30 and EQ-5D

AE, adverse event; EORTC QLQ-C30, EORTC Quality of Life Questionnaire - Core Questionnaire; EQ-5D, EuroQol-5D; MYD88^{L265P}, myeloid differentiation primary response gene 88 mutant; NCI-CTCAE, National Cancer Institute Common Terminology Criteria for Adverse Events; PK, pharmacokinetics; QoL, quality of life; TEAE, treatment-emergent AE.

ASPEN: Patient Disposition

Median follow-up: 19.4 months

Patients with *MYD88^{L265P}*
N=201



AE, adverse event; Inv, investigator; MYD88, myeloid differentiation primary response gene 88; PD, progressive disease; pt, patient; R/R, relapsed/refractory; TN, treatment-naïve.

ASPEN: Demographics and Disease Characteristics

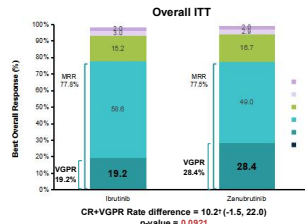
Characteristics, n (%)	Overall ITT	
	Ibrutinib (n = 99)	Zanubrutinib (n = 102)
Age, years median (range)	70.0 (38, 90)	70.0 (45, 87)
> 65 years	79 (79.7)	61 (59.8)
> 75 years	22 (22.2)	34 (33.3)
Gender, n (%)		
Male	65 (65.7)	69 (67.6)
Female	34 (34.3)	33 (32.4)
Prior Lines of Therapy, n (%)		
1-3	18 (18.2)	19 (18.6)
>3	74 (74.7)	76 (74.5)
≥3	7 (7.1)	7 (6.9)
Genes by central lab*, n (%)		
<i>MYD88^{L265P/CXCR4^{mut}}</i>	90 (90.9)	91 (89.2)
<i>MYD88^{L265P/CXCR4^{Unknown}}</i>	8 (8.1)	11 (10.8)
IPSS WM:		
Low	13 (13.1)	17 (16.7)
Intermediate	42 (42.4)	38 (37.3)
High	44 (44.4)	47 (46.1)
Hemoglobin ≤ 110 g/L	53 (53.5)	67 (65.7)

CXCR4, C-X-C motif Chemokine Receptor 4; ITT, intention-to-treat; IPSS WM, International Prognostic Scoring System for Waldenström macroglobulinemia; MYD88, myeloid differentiation primary response gene 88; *Wild-type blocking PCR for *MYD88* and Sanger sequencing for CXCR4 using bone marrow aspirates. One patient had local NGS testing results of *MYD88* L265P/CXCR4 Unknown.

1. Marin et al. Blood 2009;113:4193-4170.

ASPEN: Efficacy – Response by IRC (Data cutoff: 31 August 2019)

• Superiority in CR+VGPR rate compared to ibrutinib in relapsed/refractory population (primary study hypothesis) was not significant*



CR, complete response; IRC, independent review committee; ITT, intention-to-treat; MRR, major response rate; MR, minor response; ORR, overall response rate; PD, progressive disease; PR, partial response; RR, relapsed/refractory; SD, stable disease; VGPR, very good partial response.

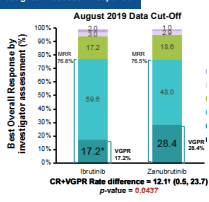
*Overall concordance between independent review and investigators = 94%.

†All other P-values are for descriptive purposes only. Adjusted for stratification factors and age group.

ASPEN: Secondary Efficacy Endpoints

Assessment of Response According to Investigator and IgM Analysis

Investigator-Assessed Response

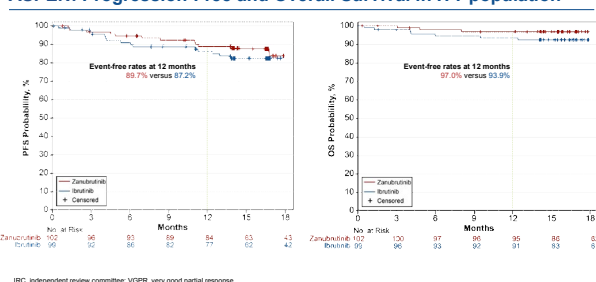


• Area-under-the-curve (AUC) for IgM reduction over time was significantly greater for zanubrutinib vs ibrutinib (p=0.037)

CR, complete response; PD, progressive disease; PR, partial response; SD, stable disease; SPEP, serum protein electrophoresis; VGPR, very good partial response; *ORR, overall response rate; **P value is for investigator-assessed response.

†Adjusted for stratification factors and age group. P value is for investigator-assessed response.

ASPEN: Progression-Free and Overall Survival in ITT population



IRC, independent review committee; VGPR, very good partial response.

Disease progression determined by IRC.

ASPEN: Safety and Tolerability

Overall		
Category, n (%)	Ibrutinib (n = 98)	Zanubrutinib (n = 101)
Patients with ≥ 1 AE	97 (99.0)	98 (97.0)
Grade ≥ 3	62 (63.3)	59 (58.4)
Serious	40 (40.8)	40 (39.6)
AE leading to death	4 (4.1) ^a	1 (1.0) ^b
AE leading to treatment discontinuation	9 (9.2) ^c	4 (4.0) ^d
AE leading to dose reduction	23 (23.5)	14 (13.9)
AE leading to dose held	55 (56.1)	47 (46.5)
Patients with ≥ 1 treatment-related AE	84 (85.7)	80 (79.2)
Patients with ≥ 1 AE of interest	81 (82.7)	86 (85.1)

AE, adverse event (nonserious-emergent); G, grade.

^aCardiac arrest after zanubrutinib.

^bCardiac arrest after ibrutinib.

^cCardiac arrest after ibrutinib.

^dCardiac arrest after zanubrutinib.

^eDescriptive purpose only. P < 0.05.

ASPEN: Most Common AEs

Event Preferred Term*, n (%)	All Grades (≥20%)		Grade ≥ 3 (≥5%)	
	Ibrutinib (n = 98)	Zanubrutinib (n = 101)	Ibrutinib (n = 98)	Zanubrutinib (n = 101)
Diarrhea	31 (32)	21 (21)	1 (1)	3 (3)
Upper respiratory tract infection	28 (29)	24 (24)	1 (1)	0
Contusion	23 (24)	13 (13)	0	0
Muscle spasms†	23 (24)	10 (10)	1 (1)	0
Peripheral edema†	19 (19)	9 (9)	0	0
Hypertension	16 (16)	11 (11)	11 (11)	6 (6)
Atrial fibrillation†	14 (14)	2 (2)	3 (3)	0
Neutropenia†	12 (12)	25 (25)	8 (8)	16 (16)
Pneumonia†	12 (12)	2 (2)	7 (7)	1 (1)
Anemia	10 (10)	12 (12)	5 (5)	5 (5)
Thrombocytopenia	10 (10)	10 (9)	3 (3)	6 (6)

*Including most common AEs, and AEs with ≥10% or ≥5% differentials respectively (higher frequency in bold blue).

AE, adverse event; PT, preferred term.

†Defined as any grade ≥ 3 hemorrhage or any grade central nervous system hemorrhage.

^aDescriptive purpose only. P < 0.05.

25

ASPEN: AE Categories of Interest (BTKi Class AEs)

AE Categories, n (%) (pooled terms)	All Grades		Grade ≥ 3	
	Ibrutinib (n = 98)	Zanubrutinib (n = 101)	Ibrutinib (n = 98)	Zanubrutinib (n = 101)
Atrial fibrillation/ flutter†	15 (15.3)	2 (2.0)	4 (4.1)	0 (0.0)
Diarrhea (PT)	31 (31.6)	21 (20.8)	1 (1.0)	3 (3.0)
Hemorrhage	58 (59.2)	49 (48.5)	8 (8.2)	6 (5.9)
Major hemorrhage*	9 (9.2)	6 (5.9)	8 (8.2)	6 (5.9)
Hypertension	17 (17.3)	11 (10.9)	12 (12.2)	6 (5.9)
Neutropenia†	13 (13.3)	30 (29.7)	8 (8.2)	20 (19.8)
Infection	66 (67.3)	67 (66.3)	19 (19.4)	18 (17.8)
Second Malignancy	11 (11.2)	12 (11.9)	1 (1.0)	2 (2.0)

Higher AE rate in bold with ≥ 10% difference in any grade or ≥ 5% difference in grade 3 or above.

No tumor lysis syndrome reported.

All AEs reported were grade 1 or 2 unless otherwise indicated.

*Defined as any grade ≥ 3 hemorrhage or any grade central nervous system hemorrhage.

†Defined as any grade ≥ 3 hemorrhage or any grade central nervous system hemorrhage.

^aDescriptive purpose only. P < 0.05.

ASPEN: AE Categories of Interest (BTKi Class AEs) with additional 5 months follow-up (Data cutoff: 31 January 2020)

• An additional 5 patients had discontinued ibrutinib treatment due to AEs versus 0 in the zanubrutinib arm (14.3% vs 4%)

AE Categories, n (%) (pooled terms)	All Grades		Grade ≥ 3	
	Ibrutinib (n = 98)	Zanubrutinib (n = 101)	Ibrutinib (n = 98)	Zanubrutinib (n = 101)
Atrial fibrillation/ flutter†	18 (18.4)	3 (3.0)	7 (7.1)	0 (0.0)
Diarrhea (PT)	32 (32.7)	22 (21.8)	2 (2.0)	3 (3.0)
Hemorrhage	59 (60.2)	51 (50.5)	9 (9.2)	6 (5.9)
Major hemorrhage*	10 (10.2)	6 (5.9)	9 (9.2)	6 (5.9)
Hypertension	20 (20.4)	13 (12.9)	15 (15.3)	8 (7.9)
Neutropenia†	15 (15.3)	32 (31.7)	8 (8.2)	23 (22.8)
Infection	70 (71.4)	70 (69.3)	23 (23.5)	19 (18.8)
Second Malignancy	12 (12.2)	13 (12.9)	1 (1.0)	3 (3.0)

Higher AE rate in bold with ≥ 10% difference in any grade or ≥ 5% difference in grade 3 or above.

*Defined as any grade ≥ 3 hemorrhage or any grade central nervous system hemorrhage.

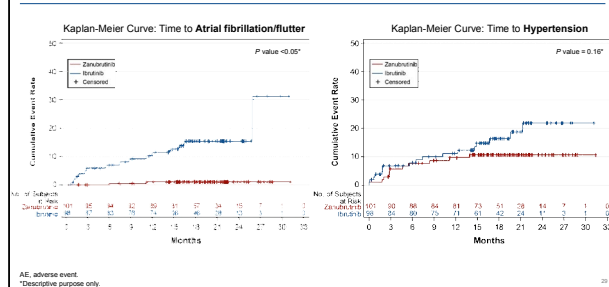
†Defined as any grade ≥ 3 hemorrhage or any grade central nervous system hemorrhage.

^aIncluding PT terms of neutropenia, neutrophil count decreased, febrile neutropenia, agranulocytosis, neutropenic infection and neutropenic sepsis.

^bDescriptive two-sided P value < 0.05.

26

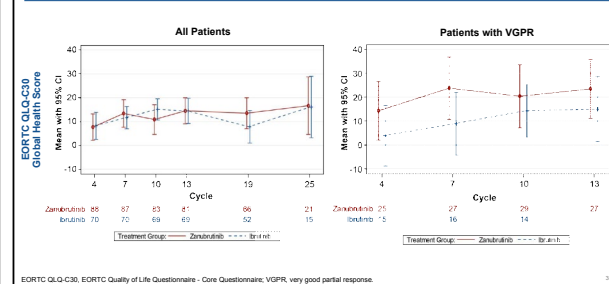
ASPEN: Time to AE - Risk Analysis Over Duration of Treatment

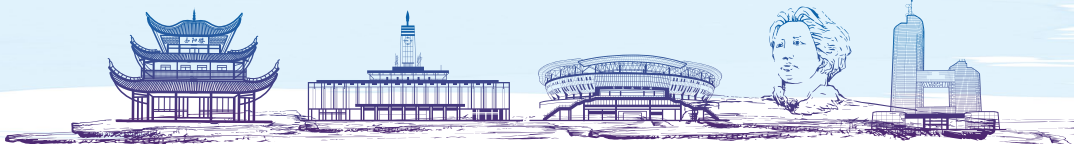


AE, adverse event.

*Descriptive purpose only.

ASPEN: Quality of Life – Change from baseline over time





ASPEN Conclusions

- **Zanubrutinib was associated with a CR+VGPR response rate of 28.4% compared to ibrutinib of 19.2% (p= 0.0921)**
 - The primary hypothesis of superiority in CR+VGPR rate (by IRC) was not met
 - Greater CR+VGPR response rate by investigator assessment (ITT: 28.4% vs 17.2%, P=0.04*)
 - Deeper and sustained IgM reduction over time (P=0.04*)
 - Major response rates were comparable, with directionally favorable PFS, OS and QoL
- **Zanubrutinib demonstrated clinically meaningful advantages in safety and tolerability**
 - A reduction in the risk of atrial fibrillation/flutter (2.0% vs 15.3%, p= 0.0008*)
 - Lower rates of major bleeding (5.9% vs 9.2%), diarrhea (20.8% vs 31.6%), and hypertension (10.9% vs 17.3%)
 - There was no difference in the rate of infection despite higher rates of neutropenia with Zanubrutinib
 - Fewer AEs leading to death, treatment discontinuation or interruption with Zanubrutinib

AEs, treatment-emerged adverse events; CR, complete response; IgM, Immunoglobulin M; IRC, independent review committee; ITT, intention-to-treat; OS, overall survival; PFS, progression-free survival; QoL, quality of life; VGPR, very good partial response.
*Comparative purpose only.



中国医师协会第六届多发性骨髓瘤学术会议 暨湖南省第七届多发性骨髓瘤高峰论坛



浆细胞疾病的动员策略

刘开彦
北京大学人民医院
北京大学血液病研究所

MAT-CN-2017321-1-0-2020-00

免责声明

此次会议信息仅作医学和科研参考，赛诺菲不建议以任何与您所在国家所批准的处方信息不符的方式使用本产品。本材料仅供医疗卫生专业人士使用。

主要内容



- 背景介绍
- 自体干细胞动员及采集
- Plerixafor应用

造血干细胞移植定义

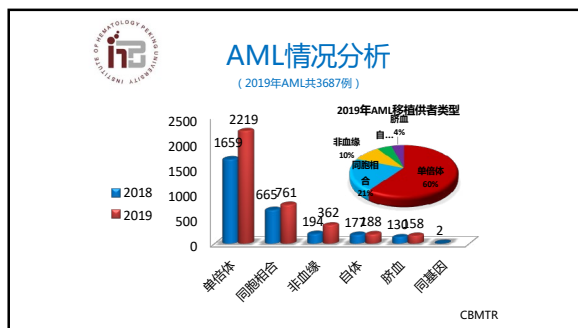
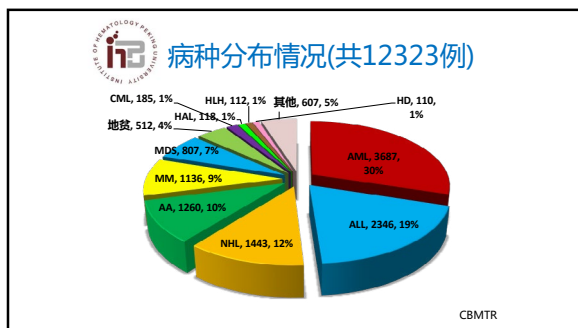
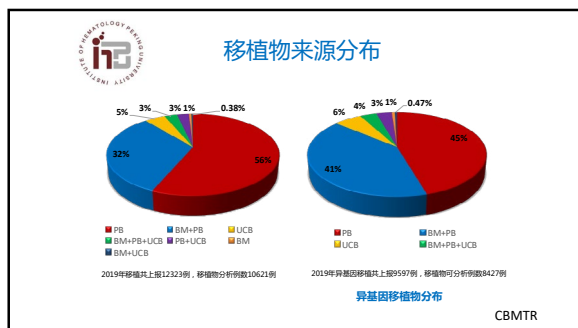
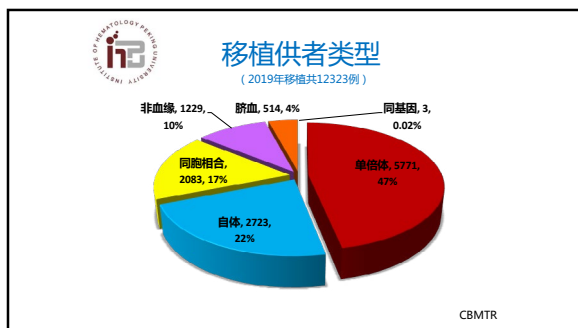
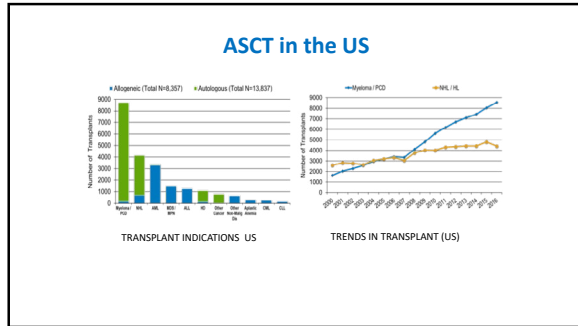
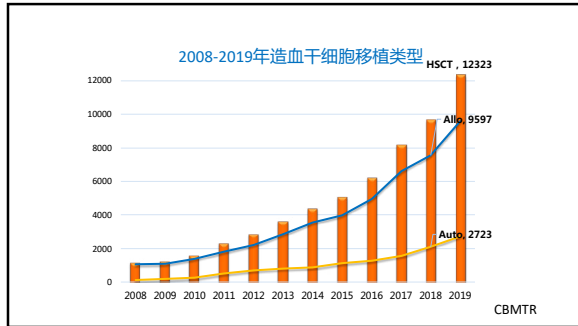
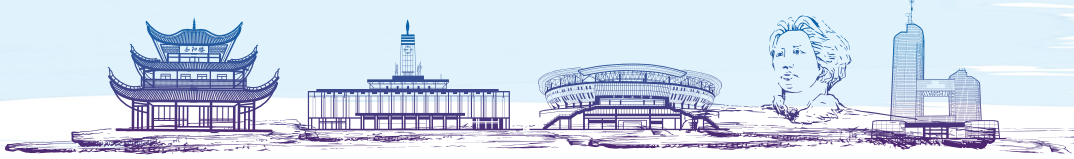
- 造血干细胞移植 (hematopoietic stem cell transplantation , HSCT)
- 是指对患者进行放疗、化疗及新型药物预处理，**清除异常造血与免疫系统**后，将**自身或供者**造血干细胞 (HSC) 经血管输注到患者体内，使之**重建正常造血和免疫系统**的一种治疗方法

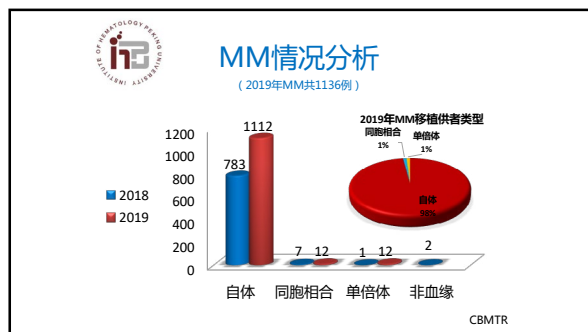
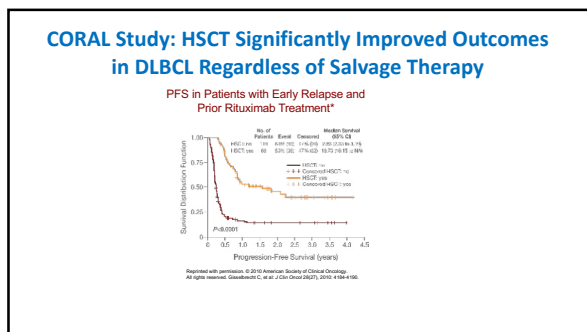
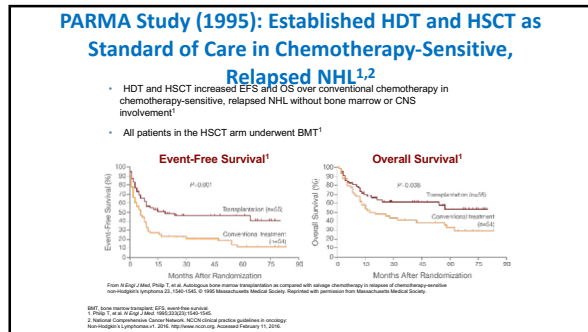
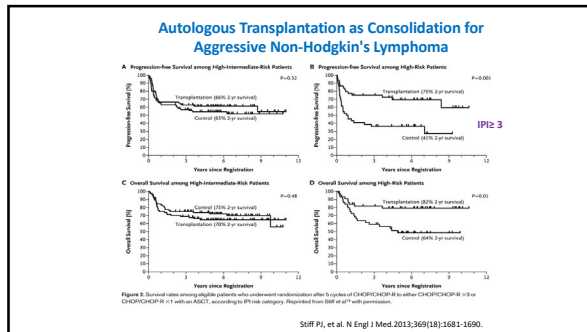
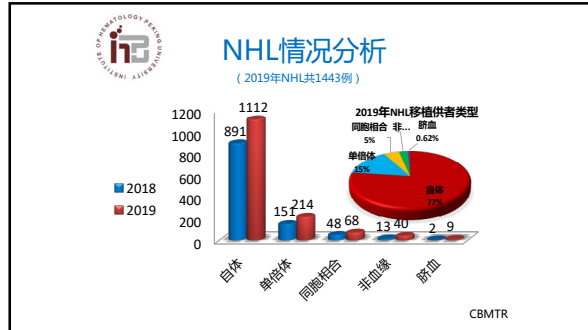
造血干细胞移植分类

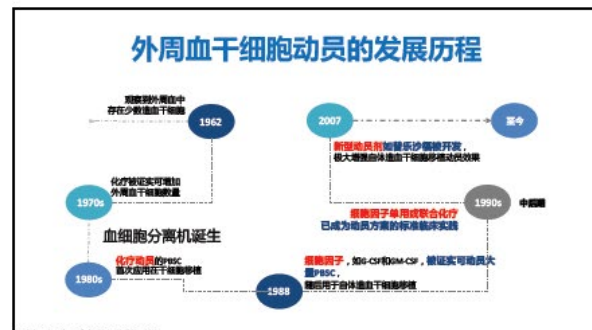
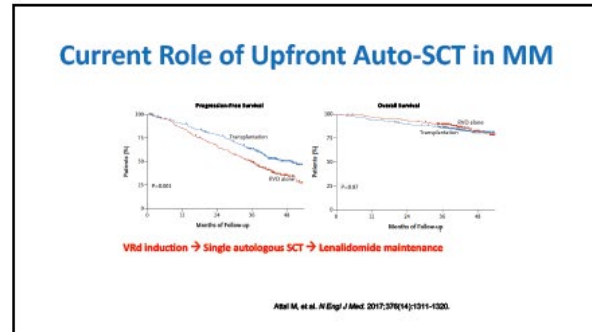
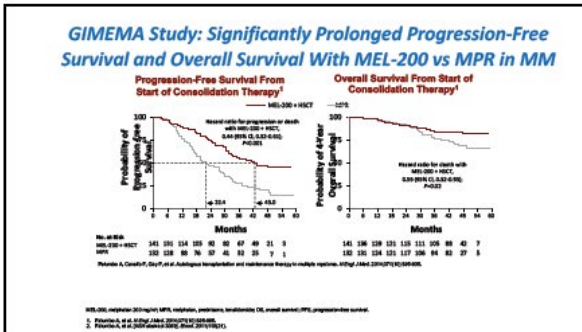
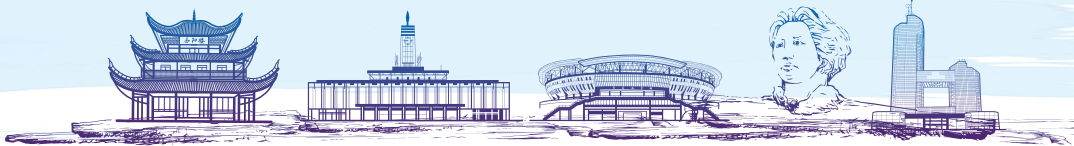
- 造血干细胞来源
 - 骨髓
 - 外周血
 - 脐带血
- 造血干细胞移植类型
 - 自体
 - 异体：亲缘 (HLA 相合， HLA 半相合，同基因)
 - 非亲缘

外周血造血干细胞移植主要适应症

- | | |
|---|--|
| 血液淋巴系统肿瘤 <ul style="list-style-type: none">♦ 淋巴瘤♦ 多发性骨髓瘤♦ 急性白血病 | 非肿瘤性疾病 <ul style="list-style-type: none">♦ 自身免疫病 |
| 化疗敏感其他系统恶性肿瘤 <ul style="list-style-type: none">乳腺癌等 | |



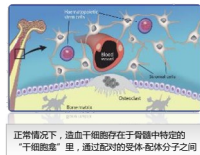






中国医师协会第六届多发性骨髓瘤学术会议 暨湖南省第七届多发性骨髓瘤高峰论坛

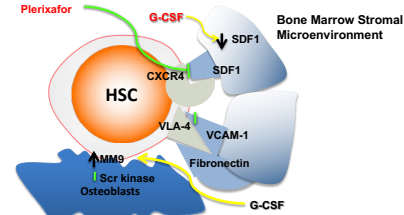
外周血干细胞的有效动员和采集是保障自体造血干细胞移植的关键环节



- 造血干细胞在外周血中的含量极低，必须经过动员使造血干细胞自骨髓释放至外周血；
- 动员效率和干细胞采集量对移植成功以及移植后转归有重要的影响¹⁻⁴。

1. Hsu PM, Cushing MM. Hematol Oncol Clin North Am 2010; 26(3):573-586.
2. Doung HS, et al. Biol Blood Marrow Transplant 2014; 20(9):1262-1273.
3. Goral L, et al. Biol Blood Marrow Transplant 2014; 20(3):295-308.
4. Hsu PM, et al. Biol Blood Marrow Transplant 2014; 20(9):1262-1273.

Mechanisms of Stem Cell Mobilization



Pernici S, et al. ASH 2008. Abstract #658.
Shavelle et al. J Exp Med 2008;205:2381.

造血干细胞的监测指标

- ✓ **长程培养**: 可以用于评价干细胞的增殖能力，但费时较长，方法不稳定，重复性差，各实验室间的结果缺乏可比性
- ✓ **干细胞功能的实验方法**: 与植入速度相关，如集落形成单位 (colony-forming unit , CFU) 、爆裂型集落形成单位 (Burst-forming unit , BFU) 、粒 - 巨噬细胞集落形成单位 (CFU-GM) 、粒 - 红 - 巨核 - 巨噬细胞集落形成单位 (CFU-GEMM) ，以及红细胞集落形成单位 (BFU-E) 等，但是这些方法同样具有上述费时和缺少标准化评价方法的缺陷。
- ✓ **CD34+**: 便捷，快速。但是测定方法存在实验室间差异，可采用标准化的测定方法弥补。
- ✓ **CD34+ 细胞亚群**: 如 CD34+CD38-，对造血恢复的预测优于 CD34+ 细胞群，也与血小板的长期植入有关。

自体造血干细胞的采集目标

- 人类造血干细胞表面表达 CD34+，随着干细胞的逐渐分化成熟， CD34 表达逐渐减弱
- 多项研究证实，以流式细胞仪测定外周血采集物中的 CD34+ 细胞含量的高低，与中性粒细胞计数及血小板植入时间相关

因此，直接测定 CD34+ 细胞数可以作为检测采集物中干细胞数的可靠指标

1. 2014 美国 ASBMT 自体和异基因移植外周血动员指南
2. Doung HS, et al. Biol Blood Marrow Transplant 2014; 20(9):1262-1273.
3. Goral L, et al. Biol Blood Marrow Transplant 2014; 20(3):295-308.
4. Hsu PM, et al. Biol Blood Marrow Transplant 2014; 20(9):1262-1273.

优质动员 $\geq 5 \times 10^6$ CD34+ 细胞 / kg

达标动员 $1-3$

保障植入的干细胞采集数量的最低标准是

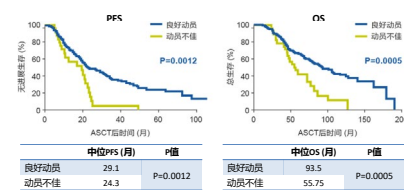
2×10^6 CD34+ 细胞 / kg

优质动员与 ASCT 后长期血小板恢复密切相关

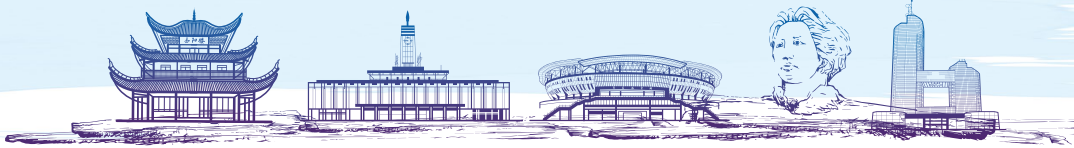


一项事后分析使用沙乐沙雷联用 CSF vs 安慰剂联用 CSF 作为干细胞动员方案的多个中心。III期临床研究数据，共纳入 A38 例多发性骨髓瘤患者，旨在评估 CD34+ 细胞回输量对造血恢复的影响

优质动员显著改善 ASCT 后患者长期生存

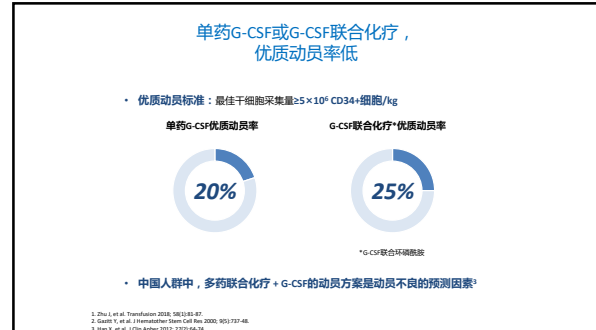


良好动员定义：在最多 8 个单剂量内采集到 4×10^6 CD34+ 细胞 / kg，且达到这一目标需要 1 个动员周期。
动员不佳定义：在最多 8 个单剂量内采集到 4×10^6 CD34+ 细胞 / kg，或达到这一目标需要 2 个动员周期。
PFS：无进展生存期；OS：总生存期。ASCT：自体造血干细胞移植。PSC：浆细胞瘤患者。SCLC：小细胞肺癌患者。



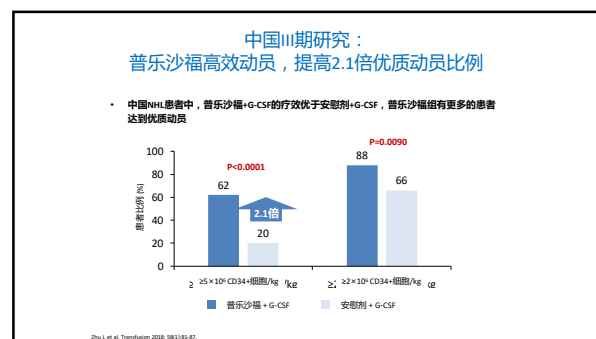
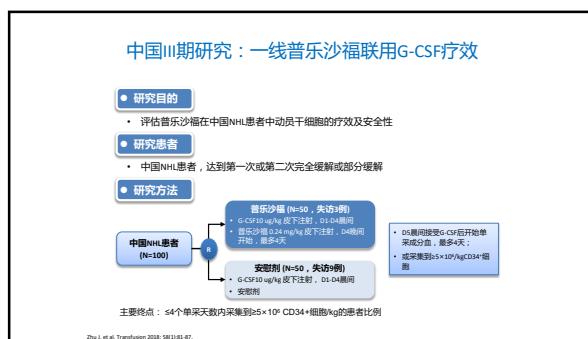
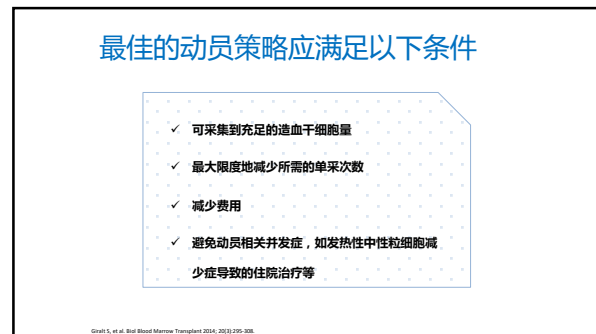
不同动员药物的对比			
动员药物	作用机制	优点	缺点
G-CSF (危态动员)	通过中性的细胞毒性蛋白白酶解诱导SDF-1减少 诱导蛋白释放到骨髓中	· 门诊用药 · 低毒性 · CD34+细胞达到峰值的时间可预测 · 采集时间可预测	· 与联合方案相比，CD34+细胞的采集量更低 · 单采次数更多 · 降低干细胞产物中CD34+细胞高含量的可能性
化疗 (非危态动员)	化疗药物导致骨髓抑制，随后刺激造血恢复	· 与G-CSF相比，CD34+细胞的采集量更多 · 单采次数更少 · 抗肿瘤活性	· 需要住院治疗 · CD34+细胞达到峰值的时间不可预测 · 采集时间不可预测 · 更大的毒性和并发症
普乐沙福	可逆性CXCR4拮抗剂(阻断CXCR4与SDF-1之间的相互作用)	· 与G-CSF相比，普乐沙福联用 G-CSF的CD34+细胞采集量更多 · 单采次数更少 · 干细胞移植物具有更多CD34+细胞 · 成功动员和采集的可能性更高 · CD34+细胞达到峰值的时间可预测	费用问题，医保无覆盖

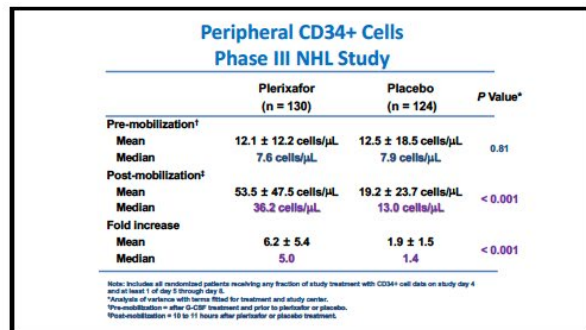
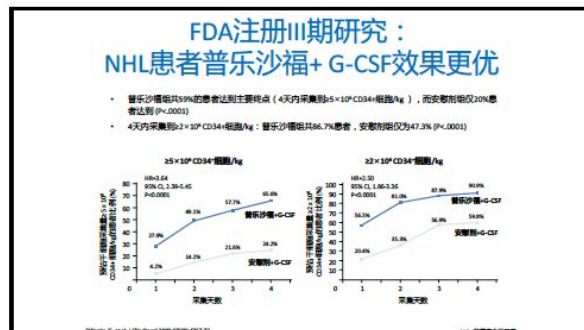
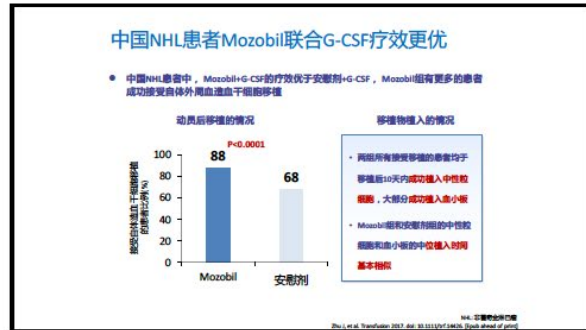
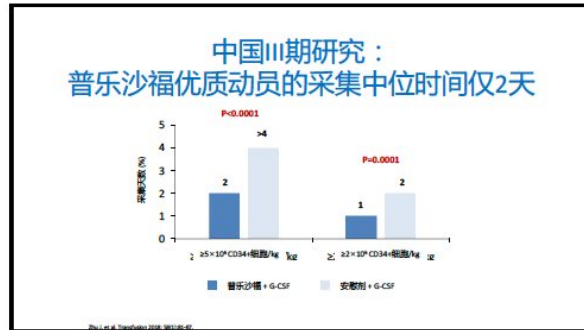
Tanitachi YC, et al. Transfusion 2013; 53(2):2314-2326.

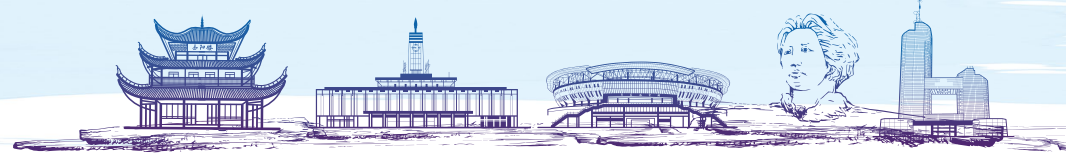


GITMO动员不佳的判断标准

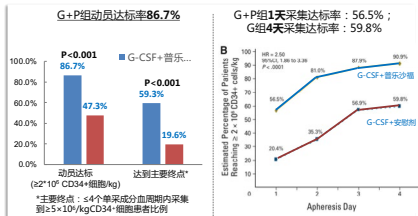
确证动员不佳	预计动员不佳
1) 外周血CD34+细胞峰值 $<20 \mu\text{l}$	主要标准：
2) CD34+产物 $<2 \times 10^6/\text{kg}$ (最多经3次单采)	<ul style="list-style-type: none"> 1) 曾接受细胞毒化疗 2) 骨髓曾接受放疗； 3) 曾经发生采集失败； <p>次要标准：</p> <ul style="list-style-type: none"> 1) 疾病处于进展期（至少接受2线细胞毒化疗） 2) 难治性疾病； 3) 动员时骨髓广泛受累； 4) 动员时骨髓容积$<30\%$ 5) 年龄>65岁







III期临床研究(全球)：
普乐沙福联合G-CSF，更多患者一次动员达标



多中心、随机、双盲、安慰剂对照研究：达到CR1/2、PR1/2、需要接受ASCT的NHL患者（N=298），随机接受G-CSF+普乐沙福（N=150）或G-CSF+安慰剂（N=148）动员。G：G-CSF
P：普乐沙福

**中国III期临床研究：
普乐沙福联合G-CSF，更多NHL患者一次动员达标**

- 普乐沙福组有更多患者一次动员达标；采集第1天的达标率为74%；同时更多患者采集量 $\geq 5 \times 10^6$ CD34 $^{+}$
 - 普乐沙福组有更多患者成功接受ASCT



($\geq 2 \times 10^6$ CD34+细胞/kg)。主要终点：≤4个单采成分血周期内采集到 $\geq 5 \times 10^6$ kgCD34+细胞患者比例
多中心、随机、双盲、安慰剂对照研究：达到CR1/2、PR1/2、需要接受ASCT的NHL患者
(N=100)，随机接受G-CSF+普乐沙福(N=50，失访3例)或G-CSF+安慰剂(N=50，失访9例)动员。
动员。

普乐沙福较安慰剂不增加不良事件的发生

	研究数	患者数	RR (95% CI)
不良事件	2	593	1.02 (0.99-1.06)
严重不良事件	1	296	0.77 (0.31-1.90)
不良事件导致治疗中断	2	593	0.79 (0.21-2.91)
不良事件导致退出研究	2	593	1.17 (0.38-3.58)

一项Meta分析纳入4项RCT，旨在评估普乐沙福对比安慰剂用于ASCT动员的安全性

总结

- 外周血干细胞的有效动员和采集是保障自体造血干细胞移植的关键环节
 - 优质动员 (CD34+细胞 $>5 \times 10^6 / kg$) 可以改善ASCT后患者长期生存
 - 动员失败或预期动员不佳，可采用普乐沙福高效动员
 - 外周血CD34+细胞监测，有益于改善动员效果，尤其是对于预期采集不佳的患者可以及时调整动员方案

普乐沙福获得国际权威指南及中国专家共识推荐用于自体移植

ASBMT推荐普乐沙福联合G-CSF用于首次动员



主要内容

- 背景介绍
 - 自体干细胞动员及采集
 - Plerixafor应用



中国医师协会第六届多发性骨髓瘤学术会议 暨湖南省第七届多发性骨髓瘤高峰论坛


普乐沙福在浆细胞疾病动员中有效性及安全性分析

—单中心连续病例回顾性总结

给药方案：

G-CSF: 5ug/kg/d, 皮下注射, d1-4

普乐沙福: 0.24ug/kg d4 22:00皮下注射

采集当天（第5天）提前2小时皮下注射G-CSF

项目	MM(N=39)	淀粉样变性/MGRS(N=8/2)
年龄, 岁, 中位年龄(范围),	55(32-68)	57(44-66)
性别, 例(%)		
男/女	26(67.7%)/13(33.3%)	6(60%)/4(40%)
克隆类型	IgG/IgA/轻链型/其它	1/x
例(%)	17/13/2/4/3.6%/33.3%/21.8%/10.3%	6/3/4/6/0.0%/30.0%/10.0%
分层, 例(%) ISS V/I/Ii 不详	17/8/4/4.6%/20.5%/3.9% 6-ISS V/I/Ii 不详 Mayo三分位数(I/Ii/Iii)	NA NA 2/5/1/25%/63.5%/12.8%
采集动员疗程, 例(%) -/-/二	33/4/2/8/4.6%/10.3%/5.1%	10/0/0/1/100%
疗程, 中位数(范围), 次	3(3-10)	4(1-6)
采集动员疗效, 例(%) CR/VGPR/PD	10/9/3/8/25.6%/20.5%/33.3%/20.5%	3/1/6/30.0%/10.0%/60.0%
eGFR, ml/min*1.73m ² , 例(%) >90 60-90 30-60 ≤30	29(74.3%) 5(12.8%) 0 5(12.8%)	4(40.0%) 2(20.0%) 3(37.5%) 1(10.0%)
采集动员时间, 中位数(范围), 月	5(3-17)	6.5(4-19)



- 中位采集次数1 (1-3) 次
- 中位采集天数2 (1-3) 天
- 既往采集失败患者占14.3% (7/49)，其中10.2% (5/49) 既往动员方案为化疗联合G-CSF，4.1% (2/49) 既往动员方案为G-CSF+普乐沙福
- 49人予G-CSF+普乐沙福动员后，一次采集成功占95.9% (47/49)；累计采集两次成功率为100%

	第一次采集 n=47	两次采集 n=2	A组 n=31	B组 n=16
年龄, 中位数(范围), 岁	55 (32-68)	55, 61	54(40-68)	56.5(47-65)
性别, 例(%)				
男	28 (61.4%)	2 (100%)	19(51.3%)	9(56.3%)
女	29 (38.6%)	0	18(48.7%)	7(43.8%)
治疗方案, 例数(%)				
一线	42 (84.0%)	1 (50.0%)	28(86.7%)	14(87.5%)
二线	3 (6.0%)	0	3(9.7%)	0
三线	2 (4.0%)	0	2(6.5%)	0
采集动员中位数(范围),	2 (1-3)	2, 3	2(1-8)	2(1-9)
普乐沙福使用中位数(范围)	1 (1-3)	1, 2	1(1-2)	1(1-3)
采集动员中位数(范围)				
(CD34+)-HSC, ×10 ⁶ /kg	4.0 (0.2-25.0)	3.2, 5.3	3.9(0-18.0)	4.2(2.1-6.4)
MCV中位数(范围)	12.7 (6.0-50.9)	15.5, 21.5	13.4(6.0-50.9)	11.9(7.1-38.8)
第一次采集量, ×10 ⁶ /kg				
(CD34+)-HSC(范围)	2.6 (0.7-8.9)	1.3, 2.8	2.6(0.7-9.9)	2.5(0.9-9.5)
MCV中位数(范围)	8.8 (3.6-26.0)	8.5, 9.4	9.0(3.6-26.0)	8.7(0.0-11.1)
第二次采集量, ×10 ⁶ /kg				
(CD34+)-HSC(范围)	2.9 (0.8-7.7)	2 (100%)	21(0.7-7.6)	8(50%)
MCV中位数(范围)	5.4 (3.2-20.2)	6.1, 7.5	6.5(2.1-20.2)	5.2(3.4-20.4)
第三次采集量, ×10 ⁶ /kg				
(CD34+)-HSC(范围)	0.0 (0.0-2.2)	0.63	0.9(0.2-2.2)	1.0(0.5-1.2)
MCV中位数(范围)	1.2 (1.1-3.3)	3.56	5.0(3.8-5.3)	2.7(2.4-4.6)



移植后结果

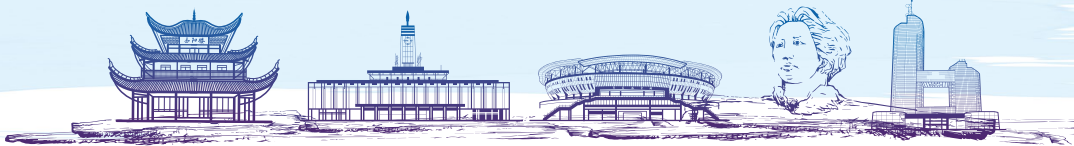
- 共37例患者ASCT: MM患者占89.2% (33/37)，淀粉样变性占8.1% (3/37)，MGRS占2.7% (1/37)
- 自诊断至移植中位时间9 (4-27) 个月
- 白细胞中位植活时间11 (8-13) 天
- 血小板中位植活时间11 (9-26) 天。

	总体 n=43	A组 n=28	B组 n=6	C组 n=3	D组 n=6
注射相关局部反应, 例数(%)	6 (14.0%)	2 (7.1%)	1 (16.7%)	1 (33.3%)	2 (33.3%)
乏力	14 (32.6%)	10 (35.7%)	1 (16.7%)	1 (33.3%)	2 (33.3%)
失眠	13 (30.2%)	7 (25.0%)	4 (66.7%)	1 (33.3%)	1 (16.7%)
腹痛	11 (25.6%)	5 (17.9%)	1 (16.7%)	0	0
胸痛	11 (25.6%)	5 (25.0%)	0 (0.0%)	0	1 (16.7%)
头晕	9 (20.9%)	8 (28.6%)	0	1 (33.3%)	2 (33.3%)
关节痛	9 (20.9%)	7 (25.0%)	0	0	2 (33.3%)
恶心	8 (18.6%)	5 (17.9%)	1 (16.7%)	1 (33.3%)	1 (16.7%)
腹胀	7 (16.3%)	3 (10.7%)	1 (16.7%)	1 (33.3%)	2 (33.3%)
气短伴血氧饱和度下降	7 (16.3%)	6 (21.4%)	0	0	1 (16.7%)
水肿	5 (11.7%)	3 (10.7%)	0	0	2 (33.3%)
皮疹	3 (7.0%)	1 (3.6%)	0	1 (33.3%)	1 (16.7%)
头痛	2 (4.7%)	2 (7.1%)	0	0	0
体温极度升高, ≤38°C	1 (2.3%)	0	1 (16.7%)	0	0

AlliedRb: <60ml/min*1.73m²; BIIedRb: 60-90ml/min*1.73m²; IIIedRb: 30-60ml/min*1.73m²; IVedRb: <30ml/min*1.73m².

共收回问卷表反馈43例，不良反应症状经过CTCAE5.0评估级别，均≤2级。

对总体而言，不良反应发生率≥20%的主要有乏力、失眠、腹痛、头晕、关节痛、腹胀、水肿。



总结

- 普乐沙福是新型自体外周血造血干细胞移植动员剂，通过靶向拮抗CXCR4受体，将干细胞自骨髓释放至外周血循环；
- 自体外周血造血干细胞移植对血液恶性肿瘤患者治疗非常重要，成功的干细胞动员是实施自体移植的基础。
- G-CSF+普乐沙福动员方案具有高效（提高动员成功率）、稳态、安全、经济的特点，是指南推荐的一线动员选择。



Acknowledgements



Bone Marrow Transplant Group of PUIH
Xiao-jun Huang
Kai-Yan Lu Xiao-Hui Zhang Lan-Ping Xu
Yu Wang Chen-Hua Yan Yi-fei Chen
Huan Chen Wei Han Yu-Hong Chen
Feng-Rong Wang Jing-Zhi Wang Yao Chen
Yuan-yuan Zhang Yu-Qian Sun Zhi-Dong Wang
Xiao-Dong Mo Yan-Qun Gao Fei-fei Tang
Hai-Xia Fu Ting-Ting Han Jun Kong
Sheng-Ye Lu Pan Suo Meng Lv



Beijing Key Laboratory of HSCT
Ying-Jun Chang Xiao-Su Zhao
Yuan Kong Xiang-Yu Zhao
Jiang-Ying Liu

Diagnostic Center of PUIH
Yan-Rong Liu Dan Li
Yue-Yun Lai Hong-Xia Shi
Guo-rui Ruan Ya-Zhen Qin



中国医师协会第六届多发性骨髓瘤学术会议 暨湖南省第七届多发性骨髓瘤高峰论坛

**走进中国循证
——从Rd到IRd看我国MM的新药研究之路**

上海交通大学医学院附属 仁济医院 侯 健

主要内容

- ◆ 1) 中国RRMM治疗现状
- ◆ 2) 中国Rd方案——MM021试验
- ◆ 3) 中国方案IRd方案——TOURMALINE-MM1
- ◆ 4) 小结



2011NCCN指南-MM治疗推荐

National Comprehensive Cancer Network® NCCN Guidelines™ Version 1.2011 Multiple Myeloma

MYELOMA THERAPY^{1,2,3,4}

- Prior to myeloablative therapy can include alkylating agents and melphalan. If stem-cell harvest is limited to non-myeloablative stem-cell harvest in patients who may be candidates for transplant.
- Primary induction therapy for transplant candidates:
 - Bortezomib/dexamethasone (category 1)
 - Melphalan/prednisone (MP) (category 1)
 - Melphalan/prednisone/cyclophosphamide (category 2B)
 - Melphalan/prednisone/cyclophosphamide/dexamethasone (category 1)
 - Lenalidomide/dexamethasone (category 1)
 - Lenalidomide/prednisone (category 1)
 - Melphalan/prednisone/dexamethasone (category 2B)
 - Thalidomide/dexamethasone (category 2B)
- Primary induction therapy for non-transplant candidates:
 - Bortezomib/dexamethasone (category 2B)
 - Dexamethasone (category 2B)
 - Lenalidomide/dexamethasone (category 1)
 - Melphalan/prednisone (MP) (category 1)
 - Melphalan/prednisone/cyclophosphamide (MPB) (category 1)
 - Melphalan/prednisone/dexamethasone (category 1)
 - Melphalan/prednisone/thalidomide (MPT) (category 1)
 - Thalidomide/dexamethasone (category 2B)
 - Ustekinumab/dexamethasone (RAD) (category 2B)
- Maintenance therapy:
 - Bortezomib* (category 2B)
 - Lenalidomide*
 - Steroids (category 2B)
 - Thalidomide (category 1) ± prednisone (category 2B)
- Salvage:
 - Recip primary induction therapy if relapse at > 6 mo
 - Bortezomib* (category 1)
 - Bortezomib/melphalan/dexamethasone (category 2B)
 - Bortezomib/melphalan/dexamethasone/bortezomib* (category 1)
 - Cyclophosphamide-VAD
 - Cyclophosphamide-dexamethasone
 - Cyclophosphamide-dexamethasone/dexamethasone*
 - Dexamethasone, cyclophosphamide, etoposide, and thalidomide (DCEP)
 - Dexamethasone, thalidomide, cisplatin, doxorubicin, and vinorelbine (DT-PACE)
 - High-dose cyclophosphamide
 - Lenalidomide/dexamethasone (category 1)
 - Thalidomide
 - Thalidomide/dexamethasone

NCNN Guidelines Index
Multiple Myeloma Table of Contents
Discussions

中国治疗现状

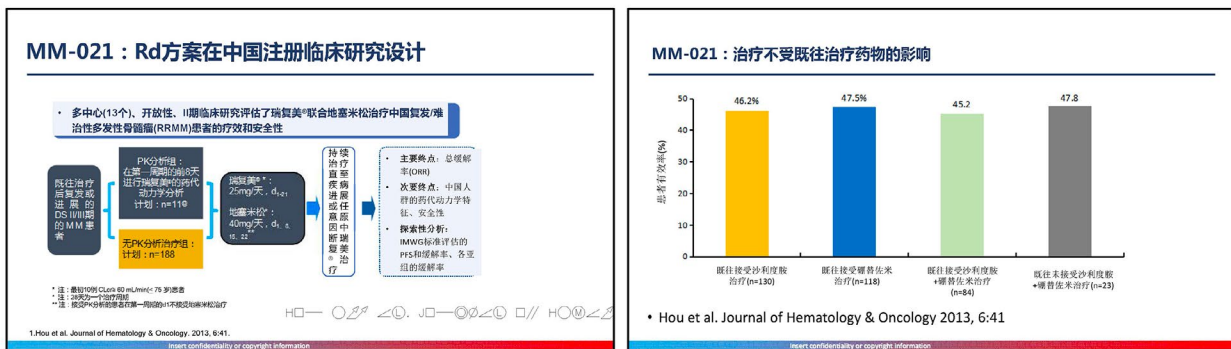
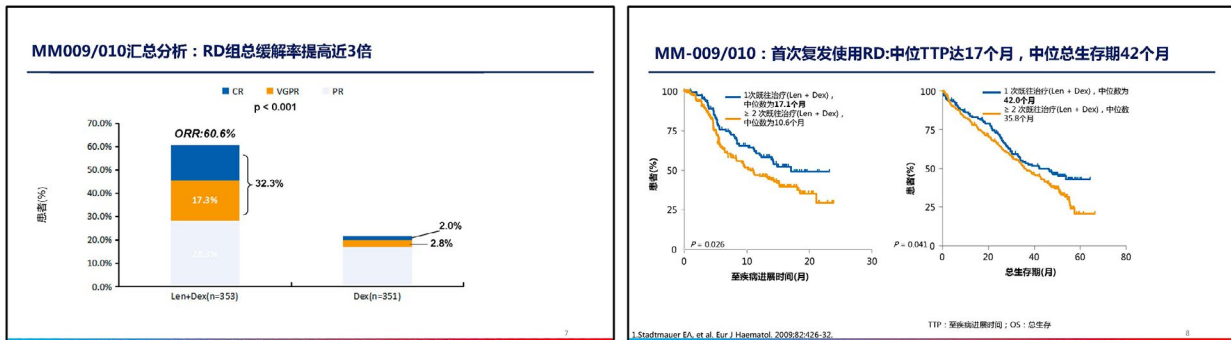
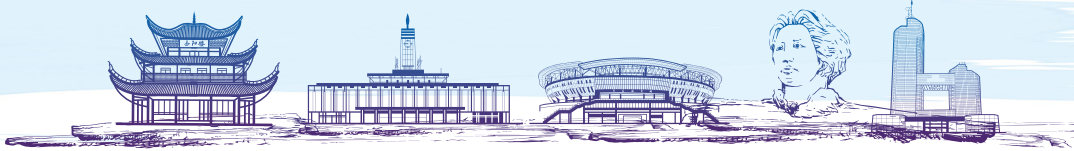
◆ 2011年 MM治疗方案：多以V base方案为主，患者有未被满足治疗需求

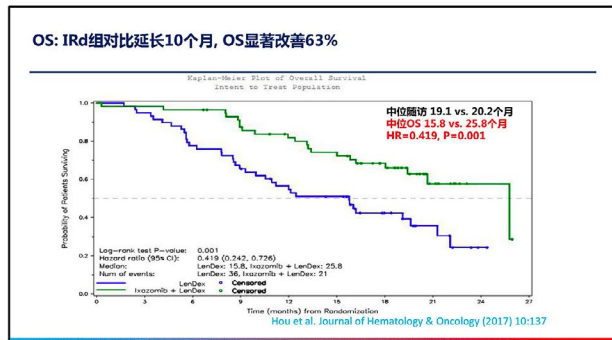
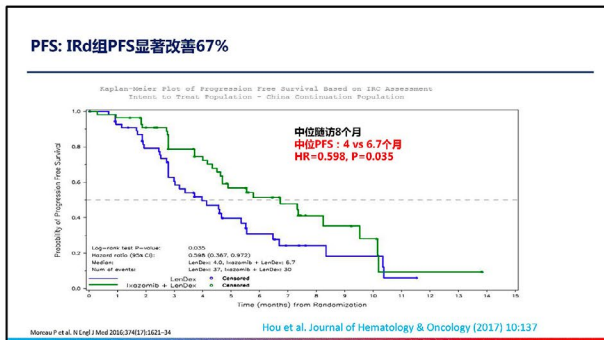
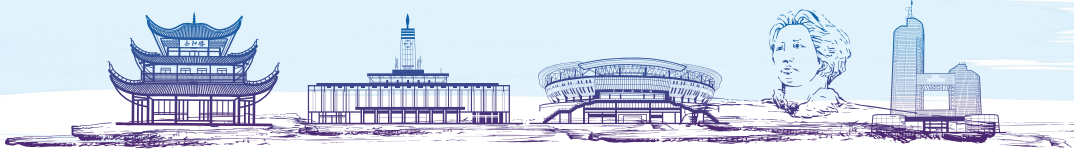
◆ 同期国外已有MM-009/010研究，而中国药监局管理较滞后，新型药物未进入中国市场

Insert confidentiality or copyright information

瑞复美®RRMM全球注册临床研究：MM-009/010研究设计







确认获得的最佳缓解度	伊沙佐米-Rd (n=57)	安慰剂-Rd (n=58)	P值
总缓解率（至少部分缓解）	32(56)	18(31)	0.007
至少非常好的部分缓解	14(25)	7(12)	0.084
完全缓解	3(5)	0	0.078
部分缓解	29(51)	18(31)	-
非常好的部分缓解	11(19)	7(12)	-
病情稳定	17(30)	17(29)	-
	n=32	n=18	
开始缓解时间，中位 (IQR)	1.0 (0.9-1.8)	1.0 (0.9-1.9)	-
缓解持续时间，中位	7.4个月	5.6个月	-
截至试验结束未发生病情进展的病例（百分比）	19(59)	7(39)	-

安全性

□ 中位随访时间: Ird组20.2个月, 安慰剂组19.1个月

□ 两组中不良事件和研究相关死亡概率无明显差异

不良事件的发生率,n(%)	伊沙佐米-Ird组 (n=57)	安慰剂 Rd组 (n=58)
所有不良事件	57(100)	57(98)
所有药物限制性不良事件	54(95)	57(98)
3级以上不良事件	38(67)	43(74)
药物限制性3级以上不良事件	33(58)	37(64)
所有严重不良事件	19(33)	18(31)
药物限制性严重不良事件	11(19)	7(12)
导致停药的或暂停的不良事件	12(21)	11(19)
导致停药的或暂停的不良事件	8(14)	8(14)
导致治疗方案停止的不良事件	5(9)	6(10)
研究中发生的死亡病例 [†]	4(7)	5(9)

[†]定义为研究中心或停药30天内发生的死亡事件

Ishii et al. Journal of Hematology & Oncology [2017] 10:137

Manuscript ID: JHO-2016-000254-RD1321-S4

NCCN (2018 v3) 推荐		
NCCN Guidelines Version 3.2018 Multiple Myeloma		
MYELOMA THERAPY ¹⁻⁴		
<p>Therapy for Previously Treated Multiple Myeloma (assess for response after each cycle)</p> <p>Previous Regimens:</p> <ul style="list-style-type: none"> Highest primary induction therapy If response at 12 months Response to lenalidomide/dexamethasone Carfilzomib twice weekly/²dexamethasone (Category 1)⁵ Carfilzomib once weekly/²dexamethasone (Category 1)⁵ <p>Other Recommended Regimens:</p> <ul style="list-style-type: none"> Bortezomib/dexamethasone Bendamustine/dexamethasone Dexamethasone/lenalidomide/dexamethasone (category 1) Bortezomib/cyclophosphamide/dexamethasone Cyclophosphamide/dexamethasone Carfizomibe (²wEEKLY)/dexamethasone⁶ Carfilzomib (²WEEKLY)/dexamethasone⁶ Daratumumab/²carfilzomib/dexamethasone Daratumumab/²lenalidomide/dexamethasone Eltrombopag/bortezomib/dexamethasone <p>Update:</p> <p>New or Revised Recommendations</p> <ul style="list-style-type: none"> Dexamethasone/lenalidomide/dexamethasone Daratumumab/²lenalidomide/dexamethasone (category 1) Daratumumab/²carfilzomib/dexamethasone (category 1) Isatuximab/²lenalidomide/dexamethasone (category 1)⁷ Isatuximab/²carfilzomib/dexamethasone (category 1)⁷ Pomalidomide/²carfilzomib/dexamethasone (category 1)⁷ Pomalidomide/²cyclophosphamide/²daratumumab⁸ Pomalidomide/²dexamethasone⁹ (category 1)⁷ Pomalidomide/²carfilzomib/²dexamethasone⁹ (category 1)⁷ <p>Update:</p> <p>Minor Changes</p> <ul style="list-style-type: none"> Dexamethasone/cyclophosphamide/letopicidil/colchicine/DT-PACE¹⁰ + bortezomib (VTD-PACE) + daratumumab High-dose cyclophosphamide 	<p>NCCN Guidelines Index Table of Contents Search</p>	

中国多发性骨髓瘤诊治指南（2017版）

对于复发的MM患者，应尽可能延长患者的治疗时间

治疗方案：

- 首先推荐进入适合的临床试验。
- [伊沙佐米/来那度胺/地塞米松(Ird)^[11]]。
- 硼替佐米、来那度胺、沙利度胺是治疗复发 MM 的关键药物，常与在功能上具有相加或协同作用的药物（如长春瑞滨、烷化剂、糖皮质激素）联合使用，具体参见初治方案。
- 条件合适者进行自体或异基因造血干细胞移植。
- 对于对硼替佐米、来那度胺双耐药的患者，可以考虑 DCEP ± V、DT-PACE ± V 方案（其中沙利度胺可用来那度胺代替）。



中国医师协会第六届多发性骨髓瘤学术会议 暨湖南省第七届多发性骨髓瘤高峰论坛

中国延展研究CCS：小结

- 1 中国延展研究显示对复发和/或难治多发性骨髓瘤患者，IRd治疗组的OS和PFS较安慰剂组都有显著改善。
- 2 中国延展研究是首个发现并证实IRd治疗复发和/或难治多发性骨髓瘤患者可以获得OS显著改善的随机化临床研究。
- 3 中国延展研究显示IRd治疗组发生有限的毒性不良事件，显现出和全球研究几乎相当的安全性。

* Hou et al. Journal of Hematology & Oncology (2017) 10:137

Inset confidentiality or copyright information

几点体会

- 从Rd到IRd是中国MM治疗的两个里程碑，反映了中国在此领域的进展
 - 设计：单臂到双臂
 - 观察终点：ORR到PFS
 - 影响力：为伊沙佐米在欧盟获批做出了贡献
- 中国MM事业的发展离不开综合国力的提升
 - 厂家
 - 药监
 - 研发团队(CRO和临床)
 - 患者
- 期待原创性(first-in-class)药物在中国的成功

TDC ASIA

April 27, 2018
Prof. Hou Jian
Ph.D., Head of Shanghai Jiaotong University School of Medicine
No. 1450 Shanghai Zhen Road, Shanghai, 200021

Dear Prof. Hou:

We are grateful to receive your kind invitation to send the writing principle investigator via e-mail.

TOURMALINE-MM1 China Continuation Study is a phase 3, international, double-blind, placebo-controlled study comparing lenalidomide plus low-dose dexamethasone versus lenalidomide alone in patients with relapsed/refractory multiple myeloma. The study demonstrated that lenalidomide plus low-dose dexamethasone was significantly more effective than lenalidomide alone at reducing progression-free survival and overall survival.

Thank you very much for your support and cooperation. We look forward to your continued success in your work.

顺风西风凋碧树
独立寒秋
望尽天涯路

Acknowledgements

- 感谢我们的研究团队、患者及其家属

Hou et al. Journal of Hematology & Oncology (2017) 10:137
DOI 10.1007/s12948-017-0124-4

Journal of
Hematology & Oncology

RESEARCH Open Access

Randomized, double-blind, placebo-controlled phase III study of ixazomib plus lenalidomide-dexamethasone in patients with relapsed/refractory multiple myeloma: China continuation study

Yan Li¹, Jun Li², Jun Xu³, Mingming Cui⁴, Xin Du⁵, Mengqi Chen⁶, Junbo Zhou⁷, Li Xu⁸, Xiongen Ke⁹, Jian Li¹⁰, Dong Wu¹¹, Feng Meng¹², Naoheng Ai¹³, Jingtao Zhang¹⁴, Honeyley Worman Hey¹⁵, Nanfang Chen¹⁶, Jay Mori¹⁷ and Jianjun Wang¹⁸

1The First Hospital of China Medical University, Shenyang, China; 2The First Hospital of China Medical University, Shenyang, China; 3The First Hospital of China Medical University, Shenyang, China; 4The First Hospital of China Medical University, Shenyang, China; 5The First Hospital of China Medical University, Shenyang, China; 6The First Hospital of China Medical University, Shenyang, China; 7The First Hospital of China Medical University, Shenyang, China; 8The First Hospital of China Medical University, Shenyang, China; 9The First Hospital of China Medical University, Shenyang, China; 10The First Hospital of China Medical University, Shenyang, China; 11The First Hospital of China Medical University, Shenyang, China; 12The First Hospital of China Medical University, Shenyang, China; 13The First Hospital of China Medical University, Shenyang, China; 14The First Hospital of China Medical University, Shenyang, China; 15The First Hospital of China Medical University, Shenyang, China; 16The First Hospital of China Medical University, Shenyang, China; 17The First Hospital of China Medical University, Shenyang, China; 18The First Hospital of China Medical University, Shenyang, China

RESEARCH Open Access

A multicenter, open-label, phase 2 study of lenalidomide plus low-dose dexamethasone in Chinese patients with relapsed/refractory multiple myeloma: the MM-021 trial

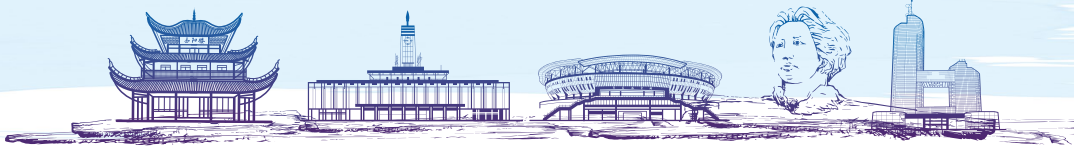
Jian Hou¹, Xin Du², Jin Jie³, Zhen Cai⁴, Fangqiang Chen⁵, Dao-bo Zhou⁶, Li Xu⁷, Xiongen Ke⁸, Jian Li⁹, Dong Wu¹⁰, Feng Meng¹¹, Naoheng Ai¹², Jingtao Zhang¹³, Honeyley Worman Hey¹⁴, Nanfang Chen¹⁵, Jay Mori¹⁶ and Jianjun Wang¹⁷

1The First Hospital of China Medical University, Shenyang, China; 2The First Hospital of China Medical University, Shenyang, China; 3The First Hospital of China Medical University, Shenyang, China; 4The First Hospital of China Medical University, Shenyang, China; 5The First Hospital of China Medical University, Shenyang, China; 6The First Hospital of China Medical University, Shenyang, China; 7The First Hospital of China Medical University, Shenyang, China; 8The First Hospital of China Medical University, Shenyang, China; 9The First Hospital of China Medical University, Shenyang, China; 10The First Hospital of China Medical University, Shenyang, China; 11The First Hospital of China Medical University, Shenyang, China; 12The First Hospital of China Medical University, Shenyang, China; 13The First Hospital of China Medical University, Shenyang, China; 14The First Hospital of China Medical University, Shenyang, China; 15The First Hospital of China Medical University, Shenyang, China; 16The First Hospital of China Medical University, Shenyang, China; 17The First Hospital of China Medical University, Shenyang, China

Inset confidentiality or copyright information

感谢大家

Inset confidentiality or copyright information



实现把MM恶性病转变成慢性病的目标

中山大学附属第一医院血液科
2020-9-4
李娟

内容

“新药诱导-ASCT-维持”整体治疗的优化

MM的基础研究——克服耐药及骨髓微环境

取得成绩和学科建设及未来发展

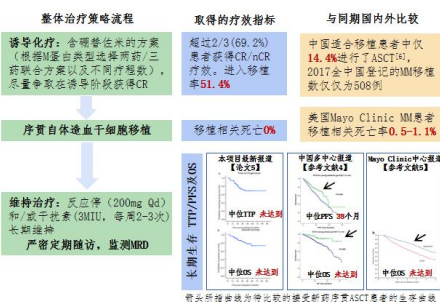
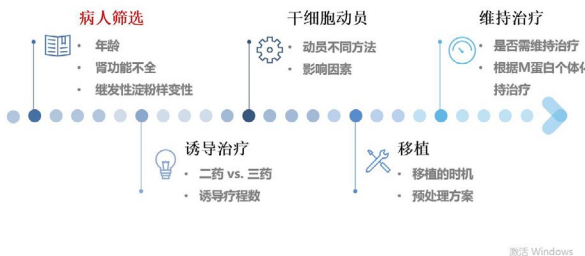
新药诱导-ASCT-维持”整体治疗的优化

- 建立了“含Bz诱导化疗-ASCT-维持治疗”整体治疗体系
- “含Bz诱导化疗-ASCT-维持治疗”整体治疗体系的优化
 - 病人筛选
 - 诱导治疗
 - 动员和预处理
 - 维持治疗
- MM的分层治疗及MRD检测

我院MM患者移植与不移植生存对比



优化移植的各环节，努力提高新药年代ASCT的疗效





中国医师协会第六届多发性骨髓瘤学术会议 暨湖南省第七届多发性骨髓瘤高峰论坛



浆细胞疾病的流行病学及现状调查

刘扬 路瑾

北京大学人民医院血液科

背景

- 癌症成为2010年以来中国的主要公共卫生问题
- 浆细胞疾病治疗效果逐年提高
- 流行病学数据的不完善

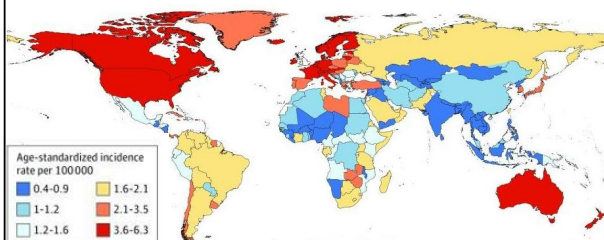
内容

- 多发性骨髓瘤的流行病学研究
- 孤立性浆细胞瘤的流行病学研究
- 原发性浆细胞白血病的流行病学研究及CMC登记研究

内容

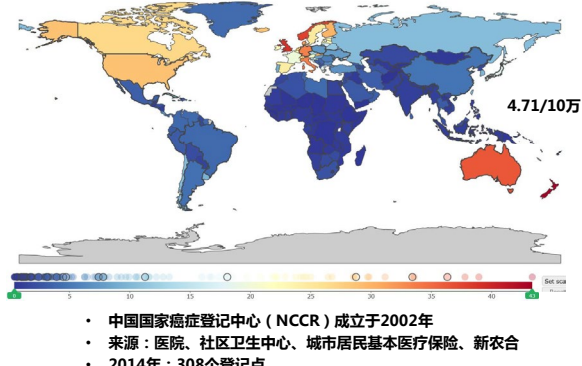
- 多发性骨髓瘤的流行病学研究
- 孤立性浆细胞瘤的流行病学研究
- 原发性浆细胞白血病的流行病学研究及CMC登记研究

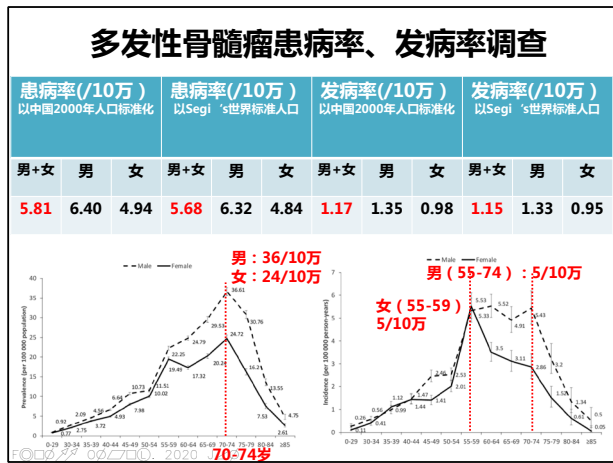
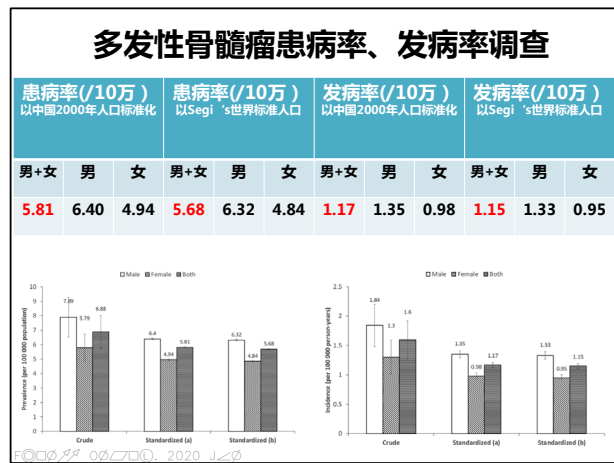
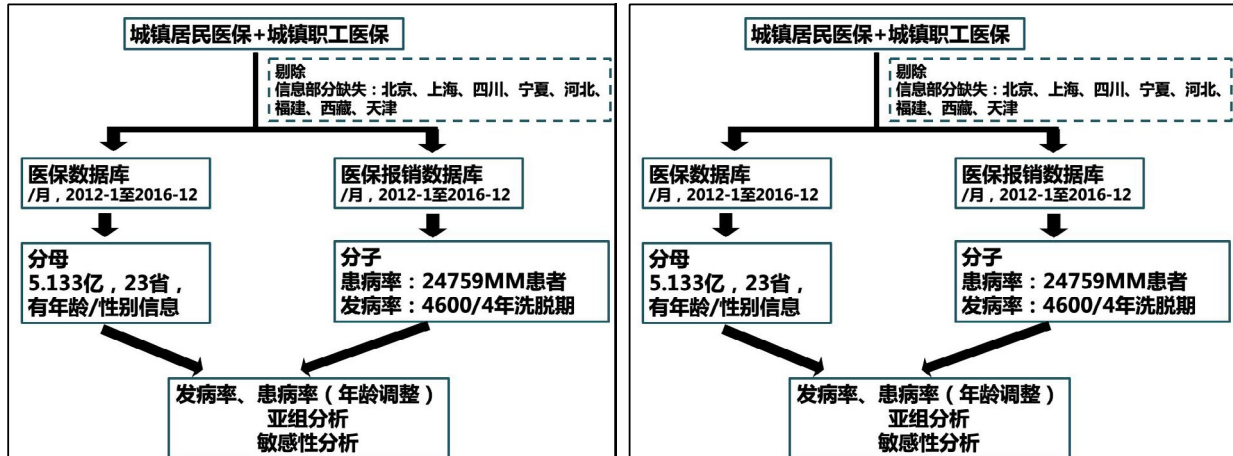
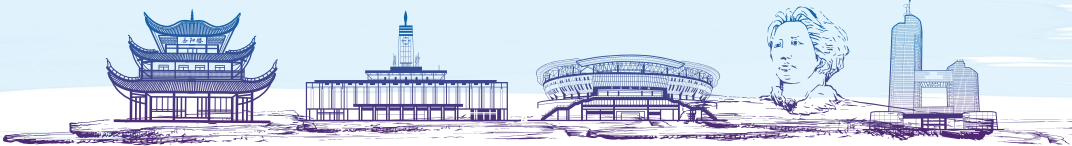
多发性骨髓瘤发病率世界地区差异



JAMA Oncol. 2018 Sep 1;4(9):1221-1227.

多发性骨髓瘤患病率世界地区差异







中国医师协会第六届多发性骨髓瘤学术会议 暨湖南省第七届多发性骨髓瘤高峰论坛

多发性骨髓瘤流行病学数据敏感性分析

	所有疑似病例		排除最高10%缺失 数据省份后
患病率	6.88 (5.75-8.0)	6.95 (5.81-8.08)	7.00 (5.71-8.29)
发病率	1.60 (1.28-1.92)	1.62 (1.29-1.94)	1.57 (1.25-1.90)

CJHO 2018; 41(12): 2020-2026.

台湾地区多发性骨髓瘤发病率调查

- 台湾NHIRD，1995年3月起强制提供99%的台湾地区人民享有全民健康保险
- 台湾NHIRD-RCI (灾难性疾病登记系统)

年龄	2007-2008		2009-2010		2011-2012	
	男+女	男	女	男+女	男	女
所有年龄	1.78	2.07	1.49	2.02	2.41	1.65
< 30	0.01	0.01	0	0.01	0.01	0
30-39	0.14	0.11	0.16	0.22	0.27	0.18
40-49	0.91	0.94	0.88	0.81	1.07	0.56
50-59	2.56	2.81	2.33	2.58	2.98	2.19
60-69	6.45	7.25	5.71	7.04	7.98	6.17
70-79	11.2	14.06	8.5	12.9	15.62	10.47
≥80	11.99	15.44	8.51	12.66	17.18	8.15

CJHO 2018; 41(12): 2020-2026.

台湾地区多发性骨髓瘤患病率调查

年龄	2007-2008		2009-2010		2011-2012				
	男+女	男	男+女	男	女	男+女	男	女	
所有年龄	5.82	6.86	4.81	6.56	7.76	5.38	7.78	8.84	6.76
< 30	0.13	0.15	0.10	0.11	0.16	0.06	0.05	0.08	0.02
30-39	0.64	0.81	0.48	0.76	0.75	0.71	0.81	1.04	0.61
40-49	3.87	4.76	2.98	3.82	4.84	2.82	4.45	5.07	3.84
50-59	9.94	10.86	9.05	10.4	11.49	9.34	12.17	13.05	11.31
60-69	22.61	26.99	18.56	23.89	28.00	20.07	25.46	29.07	22.08
70-79	32.64	40.17	25.48	36.51	45.00	28.13	41.01	49.83	33.57
≥80	24.73	30.43	19.00	28.06	36.92	19.21	33.55	42.75	24.73

CJHO 2018; 41(12): 2020-2026.

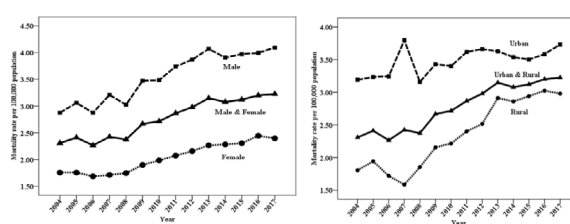
(淋巴瘤+骨髓瘤) 死亡率的调查

	Sex	Deaths (×10 ⁵)		Crude rate (1/10 ⁵)		ASMR _C (1/10 ⁵)		ASMR _R (1/10 ⁵)	
		Both	Male	Both	Male	Both	Male	Both	Male
All	Both	52		3.83		3.74		2.60	
	Male		32		4.67		4.54		3.30
	Female		20		2.97		2.91		1.93
Urban	Both	29		4.43		4.35		2.97	
	Male		18		5.28		4.53		3.73
	Female		11		3.57		2.91		2.25
Rural	Both	23		3.52		3.74		2.42	
	Male		14		4.35		4.53		3.09
	Female		9		2.66		2.91		1.77

死亡率 (%) =年内死亡人数/年平均人口数×1000

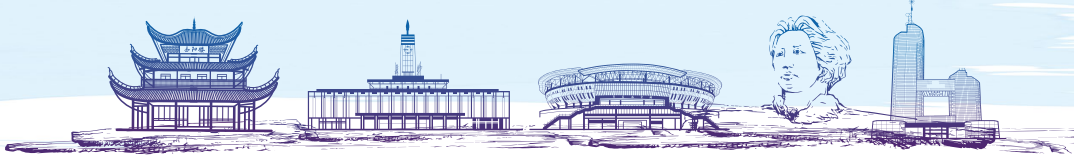
JHO 2019 Mar 4;12(1):22. 数据来源：中国疾病预防控制中心疾病监测点系统 (CDC-DSP)

(淋巴瘤+骨髓瘤) 死亡率的变迁



JHO 2019 Mar 4;12(1):22.

- 多发性骨髓瘤的流行病学研究
- 孤立性浆细胞瘤的流行病学研究
- 原发性浆细胞白血病的流行病学研究及CMC登记研究



孤立性浆细胞瘤患病率调查

	/10万	95% CI
所有年龄	1.18 (1.06~1.31)	
1.26 (1.10~1.43) 男性		
1.10 (0.93~1.29) 女性		
0~29	0.45 (0.27~0.68)	
30~34	0.92 (0.57~1.36)	
35~39	0.92 (0.57~1.34)	
40~44	0.90 (0.58~1.30)	
45~49	0.95 (0.61~1.37)	
50~54	1.12 (0.75~1.57)	
55~59	1.26 (0.86~1.74)	
60~64	1.44 (1.00~1.96)	
65~69	1.58 (1.12~2.13)	
70~74	1.85 (1.34~2.44)	
75~79	2.02 (1.48~2.64)	
80~84	1.91 (1.38~2.52)	
≥85	1.53 (1.01~2.16)	

我国2016年孤立性浆细胞瘤患病率年龄趋势

中华血液学杂志2020年6月第41卷第6期

孤立性浆细胞瘤患病率地区差异

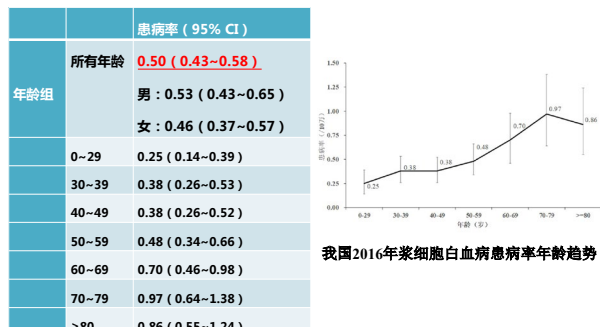
	/10万	95% CI
东部	2.39 (1.97~2.85)	
北部	0.70 (0.54~0.89)	
东北	0.46 (0.38~0.55)	
西北	0.65 (0.48~0.85)	
中南	0.59 (0.50~0.67)	
西南	0.87 (0.77~0.98)	

中华血液学杂志2020年6月第41卷第6期

内容

- 多发性骨髓瘤的流行病学研究
- 孤立性浆细胞瘤的流行病学研究
- 原发性浆细胞白血病的流行病学研究及CMC登记研究

原发浆细胞白血病患病率调查



数据未发表

原发浆细胞白血病患病率地区差异

地区		患病率 (95% CI)
东部		0.51 (0.41~0.63)
北部		0.32 (0.21~0.45)
东北		0.37 (0.26~0.49)
西北		0.35 (0.17~0.60)
中南		0.71 (0.52~0.92)
西南		0.14 (0.09~0.20)

数据未发表

原发性浆细胞白血病多中心回顾性研究

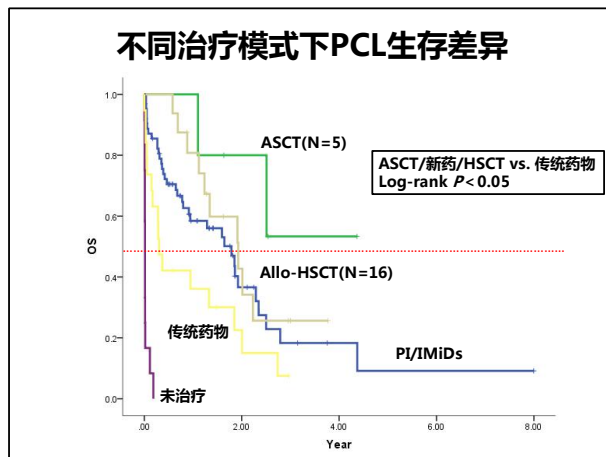
1. 北京大学人民医院；2. 中国医科大学附属盛京医院；3. 北京朝阳医院西院血液肿瘤科；4. 北京朝阳医院血液科；5. 上海瑞金医院；6. 江苏省人民医院；7. 浙江医科大学附属第一医院；8. 山西医科大学附属第二医院；9. 中山大学附属第一医院；10. 夏门大学附属中山医院；11. 内蒙古医学院附属第一医院；12. 山东大学齐鲁医院；13. 上海市第十人民医院；14. 河南省肿瘤医院；15. 甘肃省人民医院；16. 山东省立医院；17. 南方医科大学南方医院；18. 兰州大学附属第二医院；19. 西京医院；20. 山西省肿瘤医院。中国医师协会多发性骨髓瘤专业委员会

CMC数据，未发表

因素	结果
入组患者	103例
性别 (男%)	55.3%
年龄 (均值, 范围)	60 (37-84)
ECOG 3-4分	37.9%
外周血浆细胞比例 (均值, 范围)	39.9% (20% - 95%)
M蛋白类型	
IgG	47.8%
IgA	17.8%
Free κ	12.2%
Free λ	13.3%
其他	8.9%
游离轻链型比例	25.6%
轻链类型 (κ%)	48.5%

因素	结果
β2MG (mg/dL)	10.95 (0.74-39.1)
Alb (g/L)	33.1 (15.7-55.6)
高LDH	16.7%
Scr (umol/L)	198.8 (21-2020)
PLT (*10^9/L)	90.1 (1-311)
FISH	
IgH重組 (53例可分析)	63.5%
1q21扩增 (52例可分析)	52.9%
Del(17p) (52例可分析)	38.5%
RB1缺失 (52例可分析)	46.2%

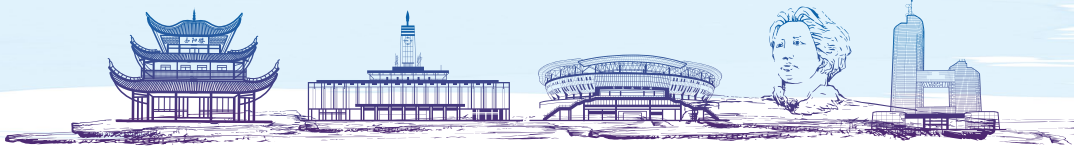
Factors	HR	Univariate		Multivariate		P
		95% CI	P	HR	95% CI	
Sex	1.018	0.645-1.607	0.938			
Age ≥ 65	0.544	0.327-0.905	0.019	0.377	0.179-0.792	0.010
ECOG ≥ 3	1.568	0.974-2.524	0.064	1.128	0.619-2.059	0.694
β2MG ≥ 3.5mg/dL	2.309	0.720-7.403	0.159			
β2MG ≥ 5.5mg/dL	1.576	0.833-2.981	0.162			
Alb ≤ 35 g/L	1.307	0.805-2.120	0.279			
ISS 1-2 vs. 3	1.197	0.593-2.417	0.617			
ISS 1 vs. 2-3	5.030	0.690-36.689	0.111			
PC > 20*10^9/L	0.813	0.465-1.421	0.467			
LDH > 300U/L	0.880	0.541-1.432	0.606			
Scr > 177 umol/L	0.599	0.355-1.011	0.055	0.837	0.367-1.908	0.672
PLT ≤ 50 *10^9/L	0.575	0.345-0.957	0.033	0.496	0.261-0.941	0.032
新药/自体移植	2.172	1.209-3.902	0.010	3.798	1.894-7.619	<0.001



总结

- 通过与国家医保中心的合作，首次获得医保数据来源的MM发病率 (1.15/10万) 和患病率 (5.68/10万)
- 现有资料显示中国MM发病率及患病率低于欧美国家
- PCL的规范化诊治水平有待进一步提高

敬请指正



初探难治复发多发性骨髓瘤的转化研究

浙江大学医学院附属第一医院
蔡真
2020. 9

多发性骨髓瘤患者终将复发

自然病程：具有进展性，且不断复发

新药的出现显著延长MM患者的生存

多发性骨髓瘤新药百花齐放

遗传学异常及修饰触发骨髓瘤疾病发生发展

骨髓瘤HDACs表达失调且与遗传学异常密切相关

A. MM细胞株HDACs表达量

B. MM原代细胞HDACs表达量

C. MM细胞株中HDACs与染色体易位异常正相关

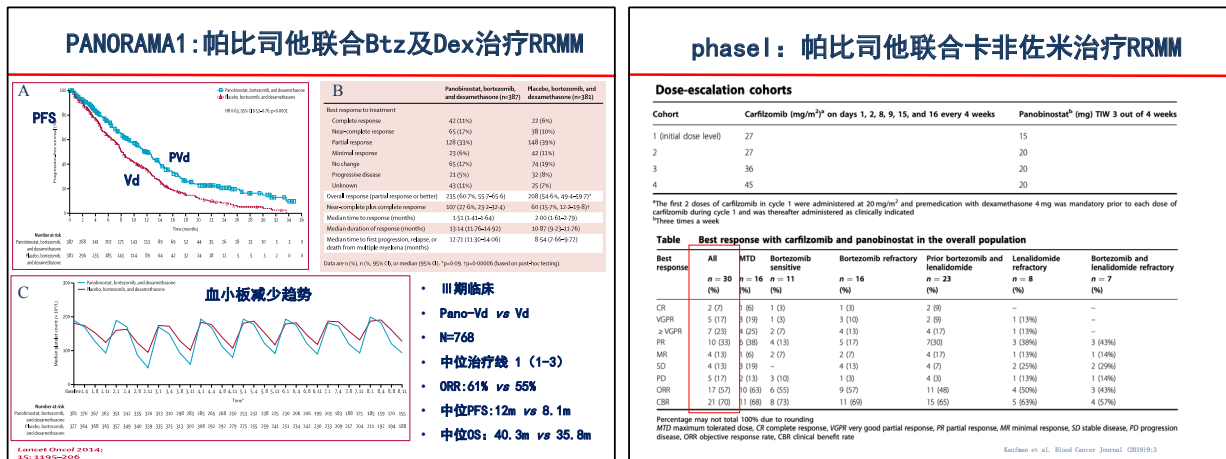
Table 1. HDAC1/2 (class I HDAC) are overexpressed in MM.

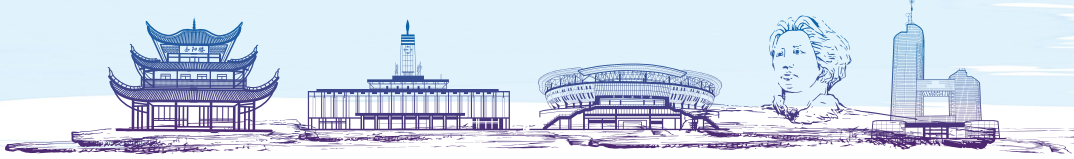
Gene	Primary translocations		Secondary translocations	
	6/14 (IGFR3 and MMSET)	t(11;14) (CYCLIN D1)	4/14/16 (c-Maf)	8q24 (c-Myc)
HDAC1	1.18±0.26	4.83±0.46****	5.13±0.31***	2.21±0.31**
HDAC2	1.24±0.29	1.44±0.70**	4.00±0.70****	2.65±0.23**
HDAC3	1.21±0.32	1.03±0.32	3.03±0.27****	1.65±0.21**
HDAC4	1.36±0.32	5.41±0.67****	6.23±1.24****	3.15±0.54****
HDAC5	1.30±0.23	2.77±0.23	2.23±1.20*	1.67±0.17
HDAC6	1.21±0.81	1.57±0.26	2.95±0.93	0.99±0.08*
HDAC10	1.12±0.17	2.76±0.26****	1.47±0.31	2.22±0.36*
HDAC11	2.39±1.06	54.10±28.85*	7.98±3.75	1.77±0.36

Ergonomics 9:11, 1511–1520, November 2016. © 2016 Taylor & Francis Group, LLC

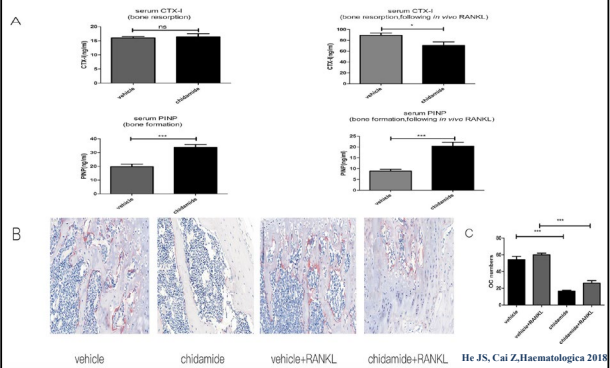


中国医师协会第六届多发性骨髓瘤学术会议 暨湖南省第七届多发性骨髓瘤高峰论坛

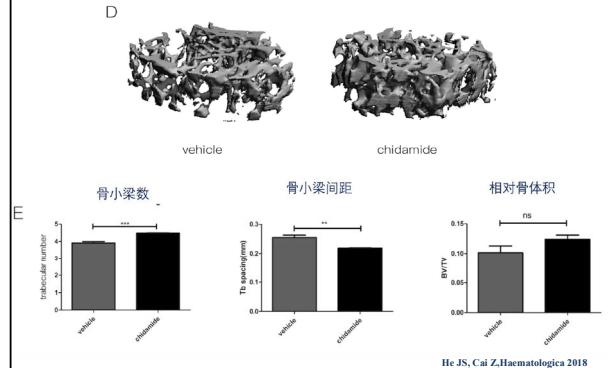




西达本胺可以拮抗RANKL介导的小鼠急性骨损伤



西达本胺可以拮抗RANKL介导的小鼠急性骨损伤



本中心临床研究



西达本胺、硼替佐米和地塞米松治疗难治复发
多发性骨髓瘤的前瞻性、非随机性临床研究
(CPd-201901)

临床试验方案
版本号：1.0

谢 谢！





中国医师协会第六届多发性骨髓瘤学术会议 暨湖南省第七届多发性骨髓瘤高峰论坛

新一代单克隆蛋白检测技术 — 定量免疫沉淀质谱分析(QIP-MS)

Kuan Boone Tan PhD
陈光文 博士

医学联络经理-亚太区
The Binding Site Group Ltd.



In this talk

- 新一代M蛋白检测技术
 - 目前存在的挑战
 - 质谱技术概述
 - 质谱技术特点：高灵敏度、特异的克隆图谱
- 质谱技术在M蛋白检测中的应用
 - 识别翻译后修饰，如糖基化
 - 区别M蛋白和治疗性单抗
 - 长期灵敏的克隆性监测
 - 微小残留病的检测

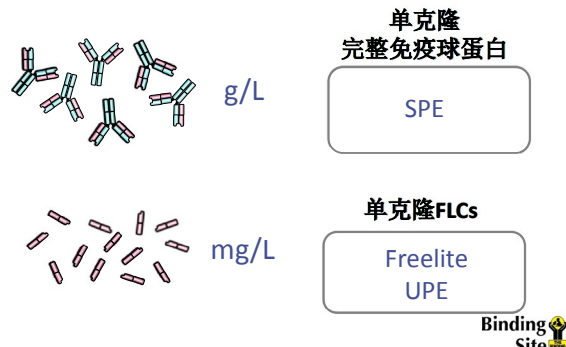


In this talk

- 新一代M蛋白检测技术
 - 目前存在的挑战
 - 质谱技术概述
 - 质谱技术特点：高灵敏度、特异的克隆图谱
- 质谱技术在M蛋白检测中的应用
 - 识别翻译后修饰，如糖基化
 - 区别M蛋白和治疗性单抗
 - 长期灵敏的克隆性监测
 - 微小残留病的检测



实验室检测M蛋白的常规方法



电泳法所面临的挑战 —需要新的检测方法

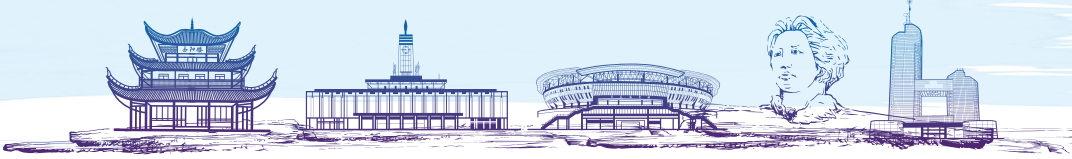
Electrophoresis
不够灵敏
定量 ~1000 mg/L
定性 ~50 mg/L
不能反应疾病负荷
<10g/L时不准确
染料饱和导致非线性
主观解读
和其他血清蛋白共迁移
受治疗性mAbs影响
手工操作多
技术要求高



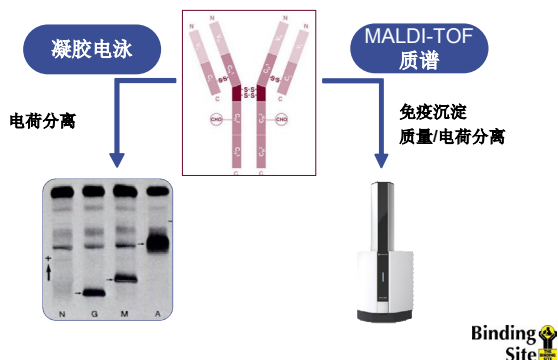
In this talk

- 新一代M蛋白检测技术
 - 目前存在的挑战
 - 质谱技术概述
 - 质谱技术特点：高灵敏度、特异的克隆图谱
- 质谱技术在M蛋白检测中的应用
 - 识别翻译后修饰，如糖基化
 - 区别M蛋白和治疗性单抗
 - 长期灵敏的克隆性监测
 - 微小残留病的检测

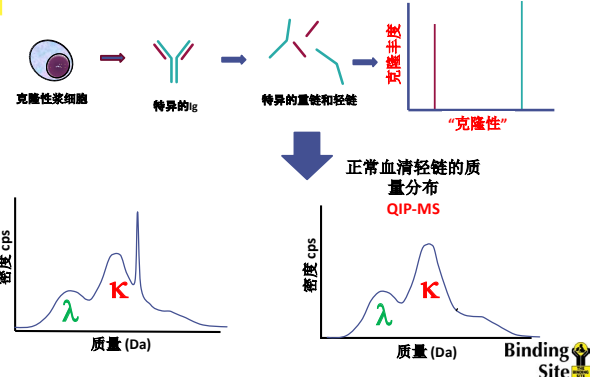




创新的方法—QIP-MS

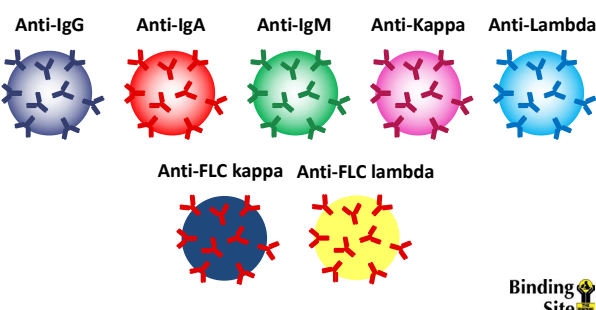


基本原理示意图



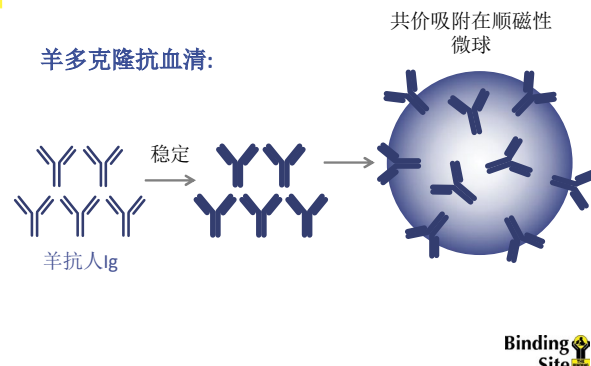
同型特异微球

羊多克隆抗血清:

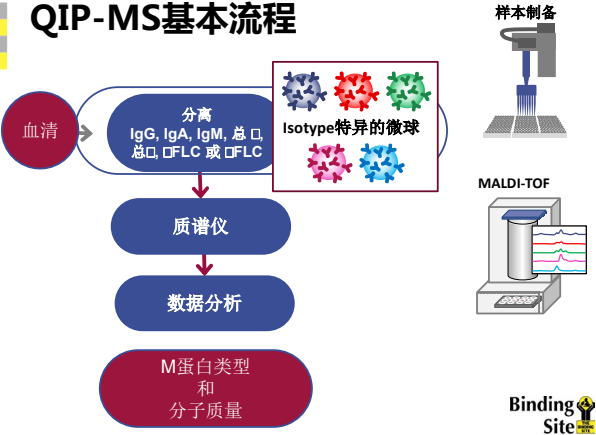


同型特异微球

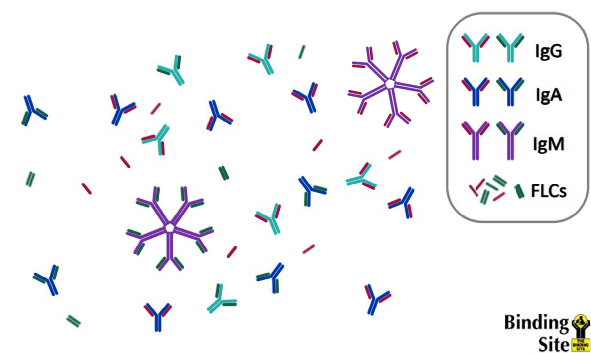
羊多克隆抗血清:



QIP-MS基本流程

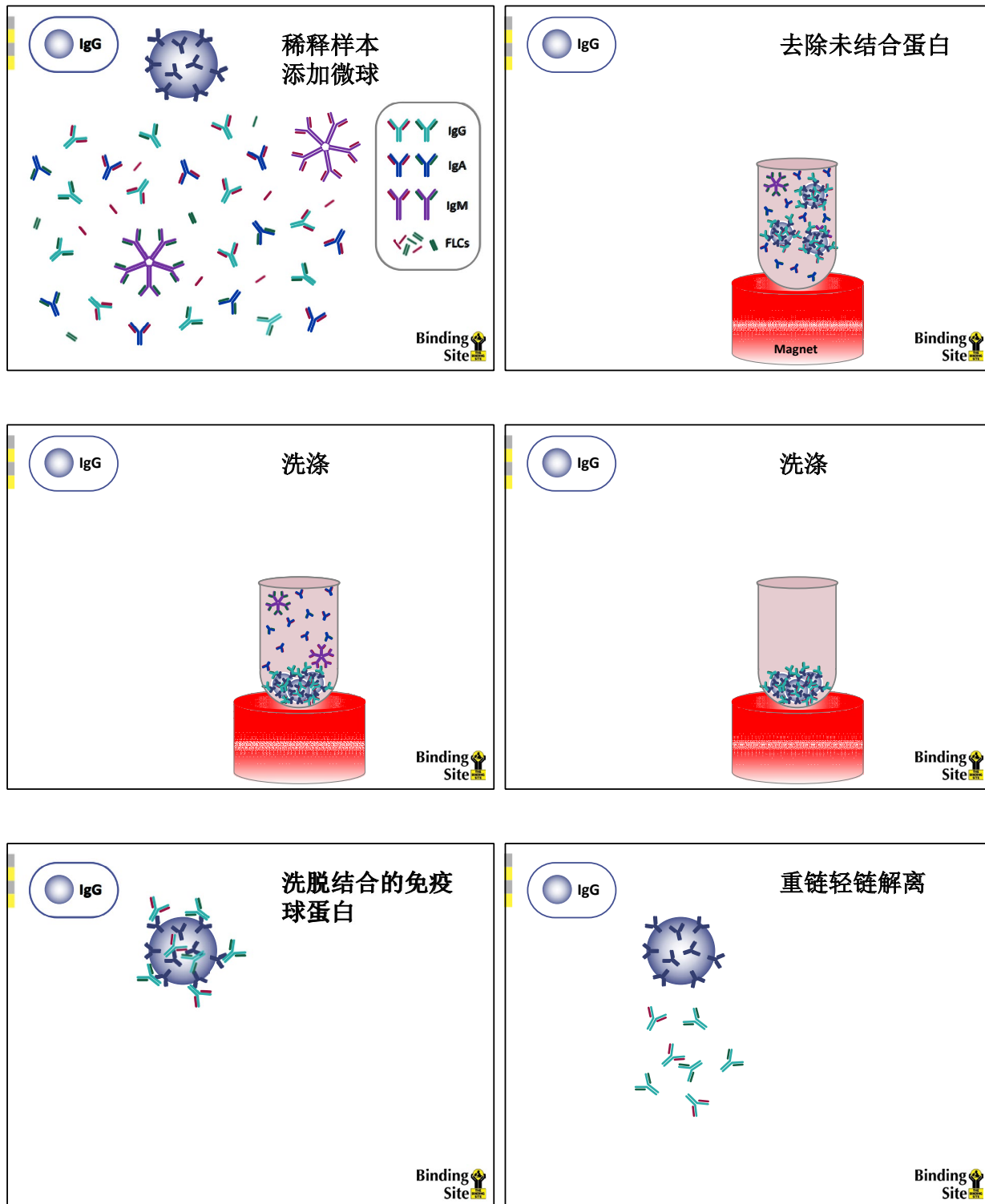


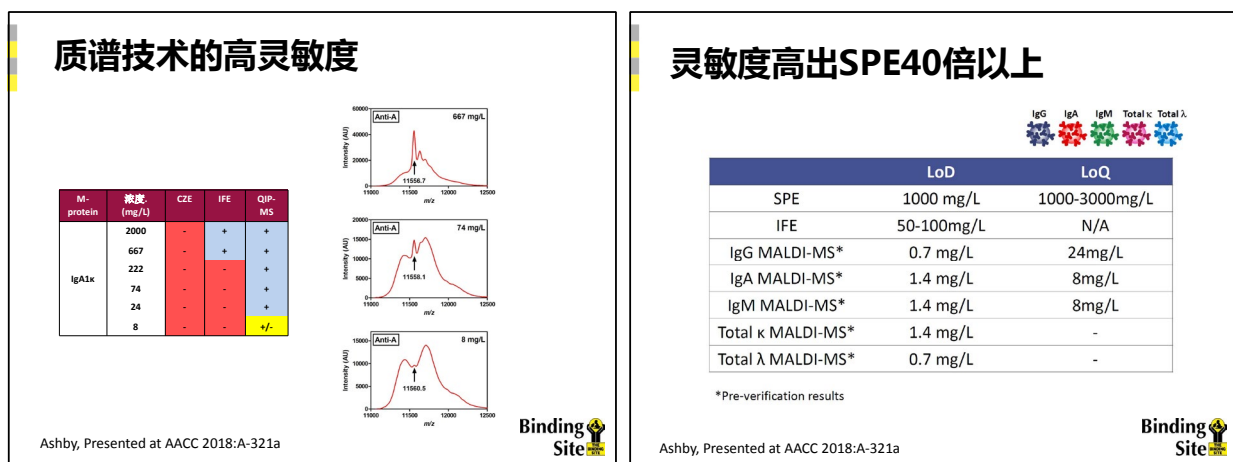
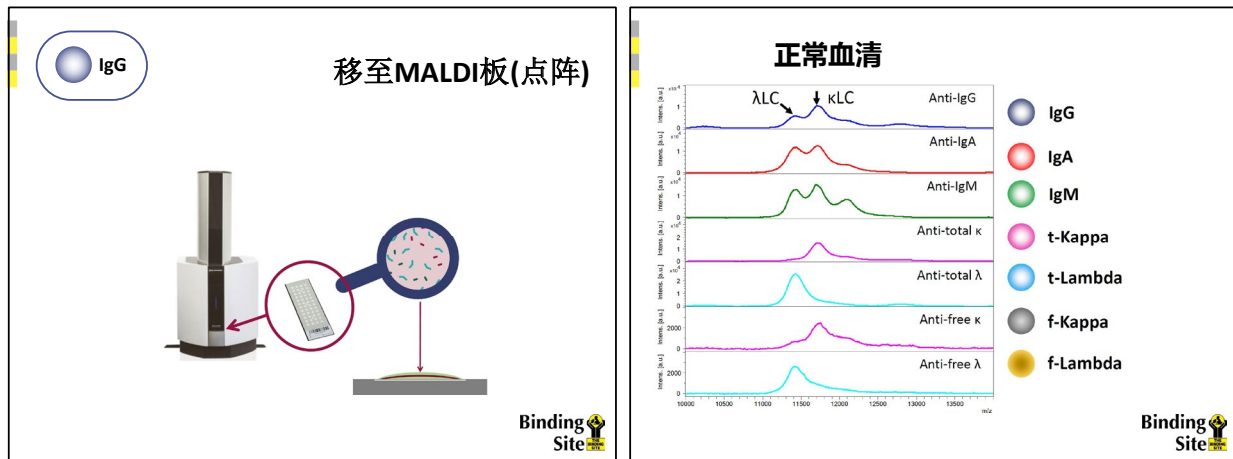
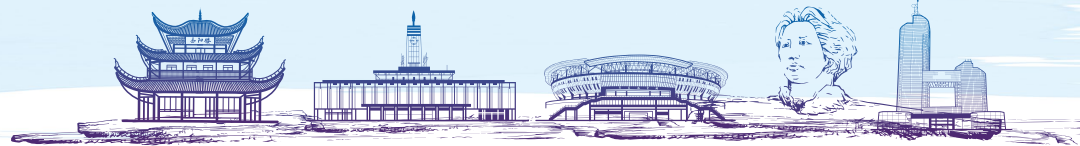
正常血清





中国医师协会第六届多发性骨髓瘤学术会议 暨湖南省第七届多发性骨髓瘤高峰论坛







中国医师协会第六届多发性骨髓瘤学术会议 暨湖南省第七届多发性骨髓瘤高峰论坛

In this talk

- 新一代M蛋白检测技术
 - 目前存在的挑战
 - 质谱技术概述
 - 质谱技术特点：高灵敏度、特异的克隆图谱
- 质谱技术在M蛋白检测中的应用**
 - 识别翻译后修饰，如糖基化
 - 区别M蛋白和治疗性单抗
 - 长期灵敏的克隆性监测
 - 微小残留病的检测

Binding Site

翻译后修饰(PTMs)

myristylation arginylation Phosphorylation
palmitoylation lipoylation butyrylation acetylation
prenylation glycosylation amidation S-glutathionylation
farnesylation polyglutamylaytion γ -carboxylation S-sulfenylation



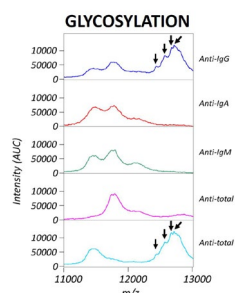
轻链Fab' 糖基化会影响稳定性、半衰期以及和重链的结合特性

Binding Site

M蛋白糖基化

非典型规律:

- 分子质量增加
- 整个峰型更宽
- 不规则形状峰



Binding Site

Howard, Presented at AACC 2019

M蛋白糖基化: 临床意义

AL淀粉样变性病人比MM病人更常见M蛋白的糖基化

- 轻链糖基化比AL淀粉样变性早数年出现
- MM伴随AL淀粉样变性的患者发生轻链糖基化的概率是没有AL淀粉样变性的四倍

Milani, Presented at IMW 2017, New Delhi; PS186da
Kourvelles Am J Hematol 2018;93:E368-E70
Sletten in "Amyloidosis" 1986 p 463-475

Binding Site

Case 1:

检测低含量糖基化的 λ FLC

Binding Site

AL淀粉样变性

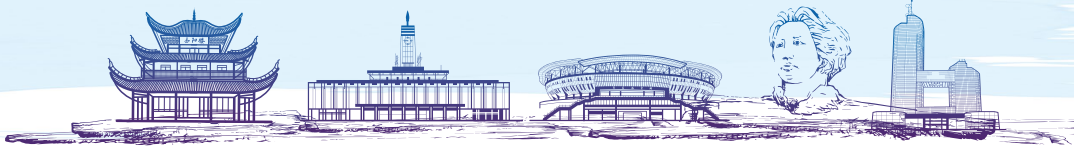
IFE: 未检测到M蛋白



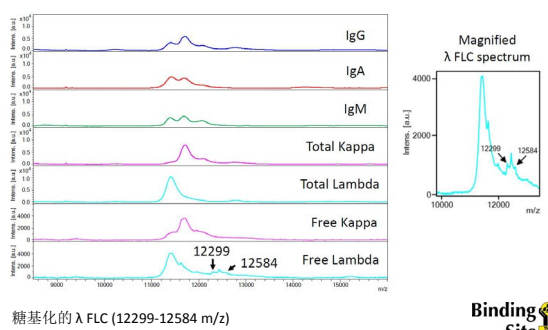
Freeelite结果:

κ FLC	11.61 mg/L
λ FLC	15.81 mg/L
κ/λ FLC ratio	0.73

Binding Site



AL淀粉样变性

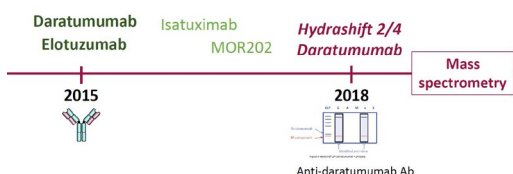


In this talk

- 新一代M蛋白检测技术
 - 目前存在的挑战
 - 质谱技术概述
 - 质谱技术特点：高灵敏度、特异的克隆图谱
- 质谱技术在M蛋白检测中的应用
 - 识别翻译后修饰，如糖基化
 - 区别M蛋白和治疗性单抗
 - 长期灵敏的克隆性监测
 - 微小残留病的检测

Binding Site

治疗性单抗药物：广泛用于MGs的药物



临床实验室面对的挑战：
将单抗与内源性M蛋白区别

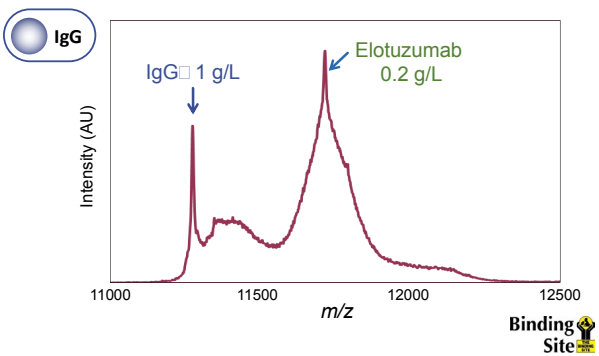
Binding Site

Case 2

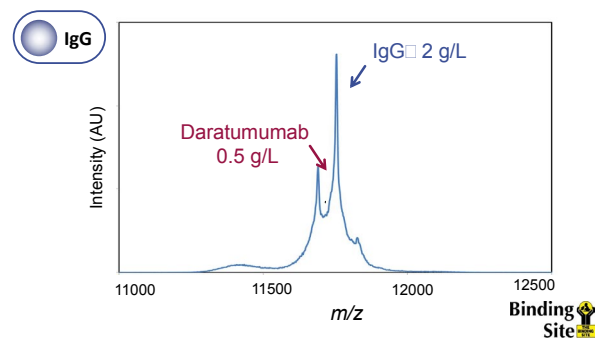
特殊的克隆质量：区别M蛋白和治疗性单抗

Binding Site

区别M蛋白和治疗性单抗



区别M蛋白和治疗性单抗





中国医师协会第六届多发性骨髓瘤学术会议 暨湖南省第七届多发性骨髓瘤高峰论坛

区别M蛋白和治疗性单抗

- 所有治疗性单抗都适用:

- 已知的分子质量
- 不需要进一步开发研究

Elotuzumab LC 23,432 Da
 IgG1 κ
 Isatuximab LC ? Da
 Daratumumab LC 23,380 Da
 IgG1 λ
 MOR202 LC ? Da

- 不需要再做凝胶阻滞分析 (e.g. DIRA)



In this talk

- 新一代M蛋白检测技术

- 目前存在的挑战
- 质谱技术概述
- 质谱技术特点：高灵敏度、特异的克隆图谱

- 质谱技术在M蛋白检测中的应用

- 识别翻译后修饰，如糖基化
- 区别M蛋白和治疗性单抗
- 长期灵敏的克隆性监测
- 微小残留病的检测

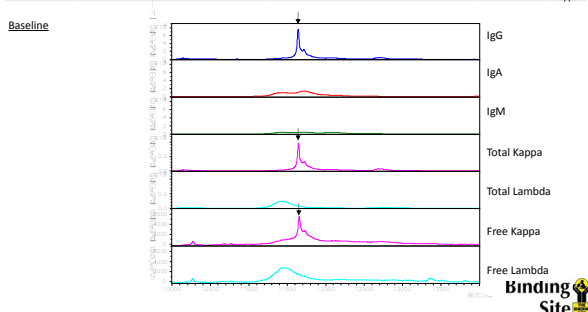


Case 3

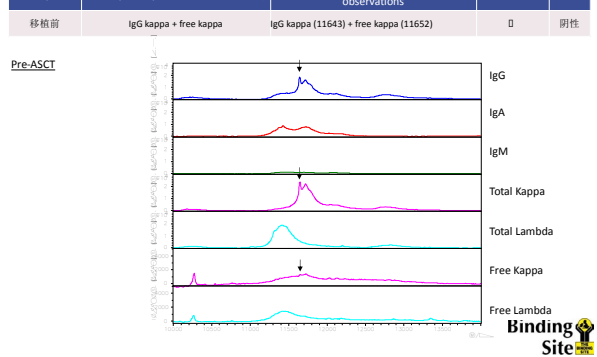
一例IgGκ骨髓瘤病人的监测： 长期跟踪特异的克隆性



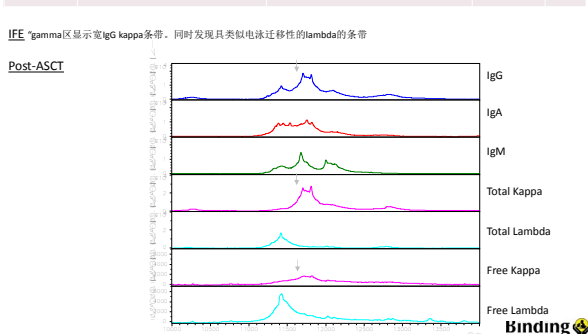
Time-point	Mass spec M-protein (baseline clone)	Mass spec M-protein (m/z) and observations	初发克隆	SPE/IFE
基线	IgG kappa + free kappa	IgG kappa (11642) + free kappa (11656)	□	IgG kappa + free kappa

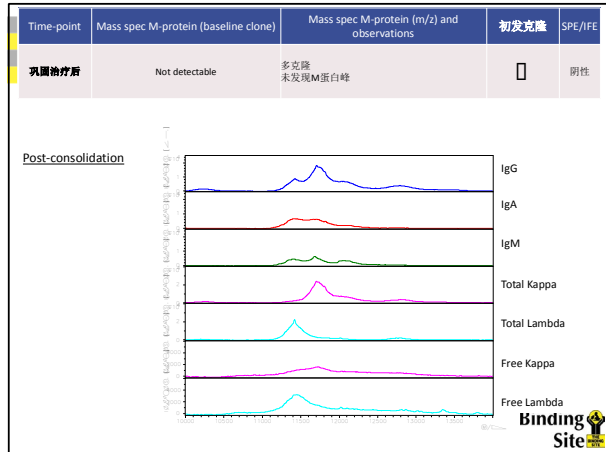
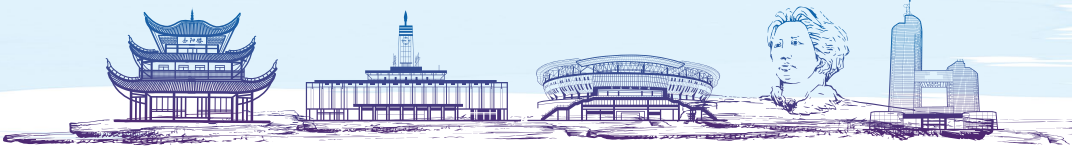


Time-point	Mass spec M-protein (baseline clone)	Mass spec M-protein (m/z) and observations	初发克隆	SPE/IFE
移植前	IgG kappa + free kappa	IgG kappa (11643) + free kappa (11652)	□	阴性



Time-point	Mass spec M-protein (baseline clone)	Mass spec M-protein (m/z) and observations	初发克隆	SPE/IFE
移植后	Not detectable	发现多个在其它特异性质谱的M蛋白峰 怀疑寡克隆峰	□	3g/L





In this talk

- 新一代M蛋白检测技术
 - 目前存在的挑战
 - 质谱技术概述
 - 质谱技术特点：高灵敏度、特异的克隆图谱
- 质谱技术在M蛋白检测中的应用**
 - 识别翻译后修饰，如糖基化
 - 区别M蛋白和治疗性单抗
 - 长期灵敏的克隆性监测
 - 微小残留病的检测

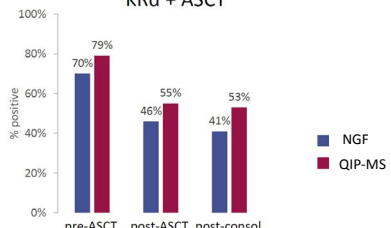
Binding Site



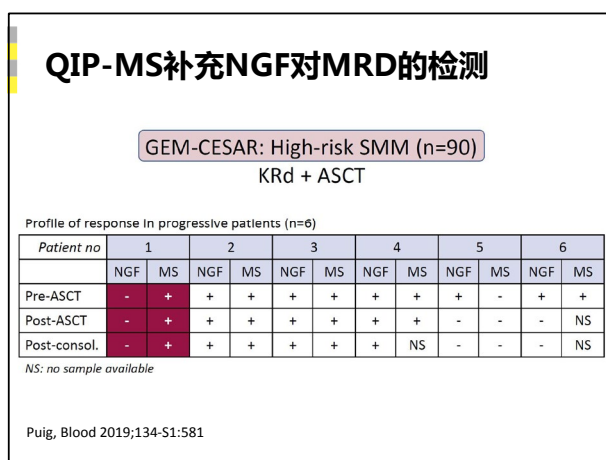
QIP-MS补充NGF对MRD的检测

GEM-CESAR: High-risk SMM (n=90)

KRd + ASCT



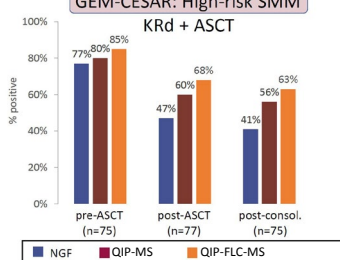
Puig, Blood 2019;134-S1:581



QIP-FLC-MS增加MRD检测的灵敏度

GEM-CESAR: High-risk SMM

KRd + ASCT



Puig, EHA 2020; EP946



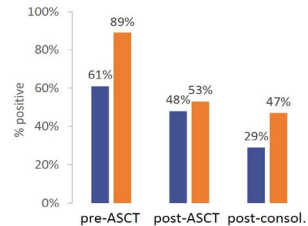
中国医师协会第六届多发性骨髓瘤学术会议 暨湖南省第七届多发性骨髓瘤高峰论坛

[联合使用QIP-MS和 QIP-FLC-MS] “
可能提供骨髓穿刺最佳时期的相关信息。”

Puig, EHA 2020; EP946

QIP-FLC-MS增加MRD检测的灵敏度

ALLG MM17 trial RR MM (n=50)
KTd+ ASCT



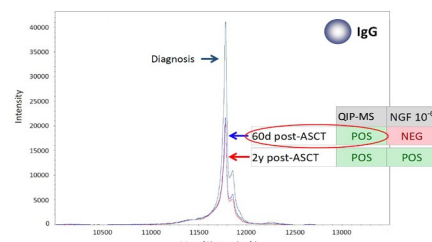
Spencer, Blood 2019;134-S1:3090

Case 4

一例IgGκ骨髓瘤病人的监测：
微小残留病的检测

Binding Site

IgGκ M蛋白系列样本



总结

质谱技术的优势:

- 高分析性灵敏度
- 对结果客观、一致的解读
- 可检测翻译后的修饰
- 同时检测治疗性单抗和M蛋白
- 长期特异性克隆的追踪
- 残留病的检测

Binding Site

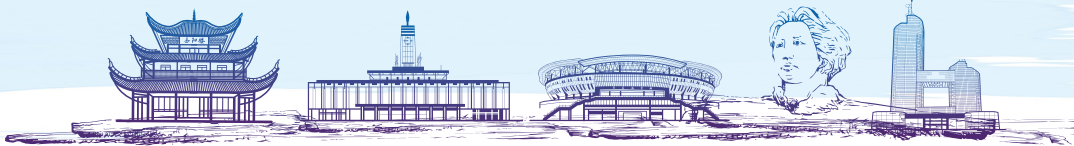
Any questions?

kuanboone.tan@bindingsite.com



info.cn@bindingsite.com

Binding Site



MS methods for M-proteins

	MS method	Immuno-enrichment		
		Antibodies	Beads	Target
miRAAM ¹	MicroLC-ESI-Q-TOF	Melon Gel Resin		<ul style="list-style-type: none"> • HCs • Total κ and λ LCs
MASS-FIX ²	MALDI-TOF	Nanobodies	Agarose beads	<ul style="list-style-type: none"> • IgG, IgA, IgM HCs • Total κ and λ LCs
MASS-SCREEN ³	MALDI-TOF	Nanobodies	Agarose beads	<ul style="list-style-type: none"> • Total κ and λ LCs
TBS-MS ⁴	MALDI-TOF	Polyclonal antibodies	Paramagnetic beads	<ul style="list-style-type: none"> • IgG, IgA, IgM HCs • Total κ and λ LCs

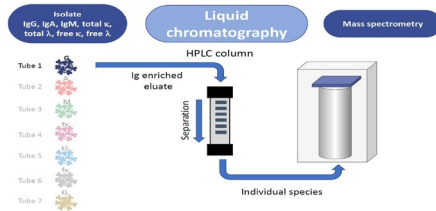
¹Barnidge Proteome Res 2014;13:1419-27

²Mills Clin Chem 2016;62:1334-44

³Kohlhagen Clin Chem 2016;62:1345-52

⁴Ashby Presented at AACC 2018-A-321a

LCMS



Binding Site



中国医师协会第六届多发性骨髓瘤学术会议 暨湖南省第七届多发性骨髓瘤高峰论坛

北京医院 BEIJING HOSPITAL

抽丝剥茧觅真凶

北京医院·国家老年医学中心
血液科
王婷

基本情况

王** 女 75岁

入院日期: 2018-2-14

主诉: 发热、乏力1周

现病史

时间	1周前
症状	无诱因
症状	清水样鼻涕 头痛、乏力 轻微嗜睡 口干 食欲下降
无	咳嗽、咳痰 恶心、呕吐 腹痛、腹泻 尿频、尿急 尿痛 皮疹、出血点骨痛

海南医院 神经科

血常规: WBC 18.76*10⁹/L, NEUT 66%, HB 108g/L, PLT 35*10⁹/L

生化: ALT 85U/L, AST 84U/L, LDH (-)

MYO 157.6ng/ml

IgA 1190mg/dl, IgG 2690mg/dl, IgE 873IU/ml, IgM 71mg/dl

C3 34mg/dl, C4 11mg/dl

海南骨髓穿刺

增生	活跃 粒红比 5.71
红系	7% 中幼幼红为上成熟红细胞增加
粒系	40% 构成形态未见异常 可见嗜酸性粒细胞
巨核、淋巴	未见巨核 淋巴细胞21% 形态未见异常
幼稚浆细胞	26% 椭圆形、胞核多呈类圆形 可见核仁 核染色质排列较紊乱 部分可见粗仁、胞浆丰富、呈深蓝色

BL: 幼浆占23%，红细胞缗钱状排列，血小板散在分布

既往史

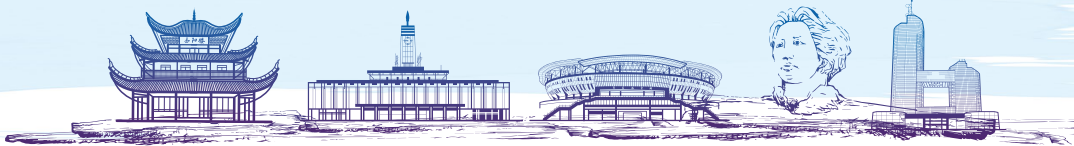
入我科 (距发病1周)

精神欠佳，轻微嗜睡，纳差
大小便正常，体重无明显改变

浆细胞白血病

高血压20余年
颈动脉粥样硬化、颈动脉狭窄
拜阿司匹林、阿托伐他汀

辽宁人，个人史无特殊



入院查体

北京积水潭医院

- T 36°C P 80次/分 R 18次/分 BP 120/80mmHg
- 皮肤黏膜无出血点、瘀斑
- 双侧颈部多发淋巴结，最大1*1cm，质地中等，活动度尚可
- 胸骨无压痛
- 双肺呼吸音清，未闻及干湿啰音
- 心律齐，未闻及瓣膜杂音
- 腹软，无压痛、反跳痛，肝脾肋下未及
- 双下肢不肿

化验检查

北京积水潭医院

血常规	WBC 7.75*10 ⁹ /L, NEUT 41.6%, MONO 11.4%, HB 100g/L, PLT 88*10 ⁹ /L 造血原料正常
生化	TP 100g/L, ALB 31g/L CRE 76μmol/L, LDH 364U/L, 肝酶, TBIL, DBIL (-)
免疫球蛋白	IgG 4990mg/dl, IgA 1210mg/dl, IgE 429 IU/ml, IgM 209mg/dl
炎症指标	ESR 102mm/hr, CRP 1.5mg/dl, PCT 0.07ng/ml, 铁蛋白 597ng/ml
β2-MG	12.33mg/L
尿便	蛋白微量，潜血少量，便OB (-) 尿蛋白、α1-微、β2-微、κ、λ均升高，比值正常
免疫	肿瘤标记物、乙肝两对半、感染三项阴性
凝血相	PT 18.7s, D-dimer 542ng/ml

海南骨髓片送协和复阅

北京积水潭医院

海南

增生尚可
粒红比5.71
网7%
红细胞缗钱状
粒系40%
构成形态未见异常
可见嗜酸性粒细胞
未见巨核

协和

增生尚可
粒红比2.16
红系比例正常
红细胞缗钱状排列
粒系比例、形态正常
未见巨核

骨髓瘤细胞 16.5%

幼稚浆细胞 26%
BL：可见较多骨髓瘤细胞，占24%，形态同骨髓，偶见幼稚粒细胞
红细胞呈缗钱状排列，血小板减少，考虑浆白。

初步考虑诊断

北京积水潭医院

TP升高
ALB降低
IgG升高
B₂-MG升高
贫血
血小板减少
BM、BL
骨髓瘤细胞 >20%

M蛋白筛查、骨破坏筛查、等待海南骨髓活检回报

单克隆证据？No

北京积水潭医院

复查 外周血流式

- 浆细胞 27.5%
- 免疫表型
- 未见异常

海南BM 免疫分型

- CD38+CD138+ 3.22%
- k/λ = 0.64
- 表达CD19, CD27, CD38, HLA-DR
- 不表达CD56, CD20, CD117
- 考虑单克隆浆细胞

对症支持治疗

病情进展

北京积水潭医院

低热 血小板进行性下降 白细胞进行性升高

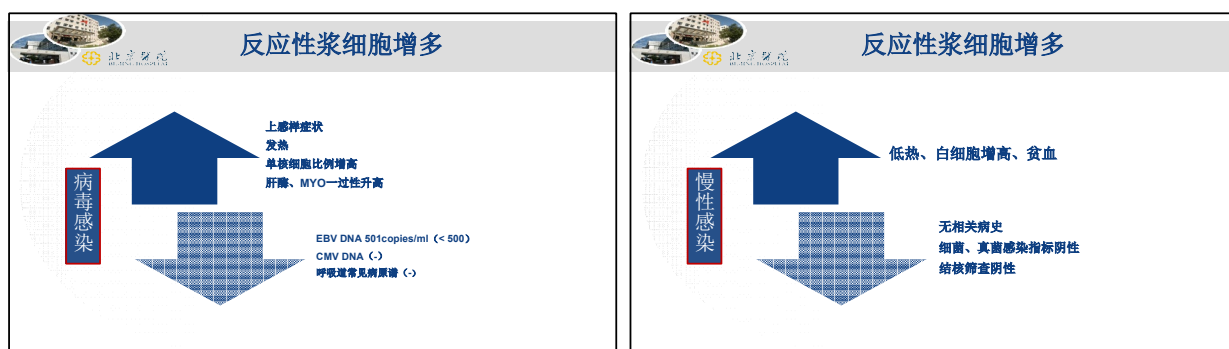
WBC 15.37*10⁹/L, MONO 31.2%, HB 85g/L, PLT 10*10⁹/L

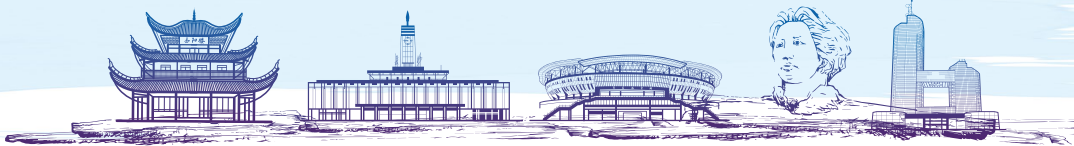
矛盾 无单克隆蛋白证据

临床、骨髓穿刺、支气管镜



中国医师协会第六届多发性骨髓瘤学术会议 暨湖南省第七届多发性骨髓瘤高峰论坛







PET-CT



雪上加霜

- 活检归来 (2-28):憋气，无胸闷胸痛
心电图：V2、V3导联T波倒置并动态变化
心肌酶进行性升高
NSTEMI—急性左心衰 (UGC: 前壁、室间隔节段性室壁运动异常, $TnI \max 1.87$)
 - 快速心律失常(快速房颤)

治疗：扩冠、转律、控制心率、调整出入量纠正心衰、纠正中度贫血等
- PLT进行性下降 (88→10)
出血倾向 (双下肢出血点、瘀斑、鼻腔)
FIB进行性下降 (0.94)，PT 延长 (20.2s)。APTT正常上限。D-dimer升至3326ng/ml
不除外DIC可能
补充血浆、纤维蛋白原、血小板输注

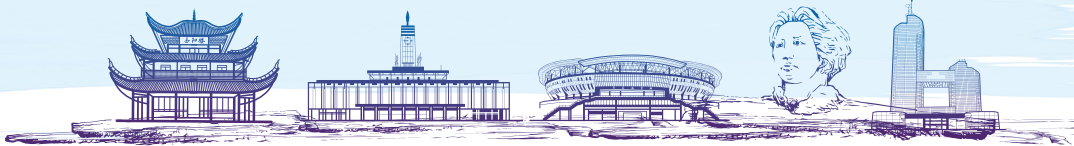
 北京友谊医院

- 左锁骨上淋巴结活检 淋巴结被泡细胞破坏，局部可见部分淋巴窦残留。结内可见中-大异型细胞弥漫浸润伴大量浆细胞样细胞，部分区域可见核分裂相可见。考虑右颈总动脉旁淋巴结活检免疫组化报告：CD20 (-)、CD3 (+)、CD45 (+)、CD43 (+)、CD45RO (+)、CD45RA (+)、CD10 (-)、Bcl-6 (-)、MUM1 (浆细胞+)、CD3 (-)、CD20 (+)、CD30 (-)、CD45 (+)、CD45RO (+)、CD45RA (+)、CD19 (-)、CD79a (浆细胞++)、CD38 (浆细胞++)、CD138 (浆细胞++)、CD15 (-)、EMA (-)、PAK-5 (-)、LMP1 (-)、CD4 (-)、CD2 (+)、CD43 (-)、CD45 (-)、CD45RO (-)、CD45RA (-)、GranzB (-)、TIA (-)、LCA (++)、PD1 (+)、CD30 (散在+)、CD4 (+)、CD20 (+)、CD30 (散在+)。
- 左锁骨上淋巴结活检 淋巴结结构破坏，可见中-大异型细胞弥漫浸润伴浆样细胞增生，分支血管明显增生。核分裂相可见。考虑右颈总动脉旁淋巴结活检免疫组化：伴浆细胞增生。免疫组化：CD20 (-)、CD3 (+)、CD45 (+)、CD43 (+)、CD45RO (+)、CD45RA (+)、CD10 (-)、CD79a (浆细胞++)、CD38 (浆细胞++)、MUM1 (浆细胞+)、CD30 (-)、CD45 (+)、CD45RO (+)、CD45RA (+)、CD20 (浆细胞网状+)、Bcl-2 (-)、CD10 (-)、Bcl-6 (部分-)、CD5 (+)、CD23 (-)、Cyclin D1 (-)、K67 (80%)、PAK-5 (-)、CD30 (散在+)、ALK (-)、CD19 (-)、EMA (-)、CD4 (++)、CD8 (-)、CD117 (-)、MPO (-)、LMP1 (-)。原位杂交：EBBR (个别+)。
- 病例会诊：不支持该诊断



目前考虑诊断？

- 老年女性，急性病程，病程短，进展迅速
- 发病前有类上感症状
- 白细胞高，单核细胞升高，血小板进行性下降明显，轻中度贫血
- 免疫球蛋白升高（非单克隆）、多种自身抗体阳性（有免疫病背景）
- DIC、出血、低血压、心梗、AKI、少尿



 热带病原体筛查

○流行性出血热抗体 IgM 阳性
○余阴性（布病、钩端螺旋体、登革热、蜱虫等）

 回顾诊断

➤ 流行病学资料（鼠类及其分泌物接触史）
➤ 临床特征（三类主症，五期经过：一过性发热，热退症状加重、头痛、腰痛
乏力、纳差、神经系统症状）
➤ 实验室检查（白细胞增多，血小板减少，肾损害表现、肝脏损伤、DIC）
➤ 血清学和病毒核酸的检测：IgM 抗体阳性
双份血清 IgG 抗体滴度 4 倍以上增高
检出汉坦病毒 RNA

32

 误诊与防范

5 031 例，其中误诊 1441 例，平均误诊率为 28.64%。
省级医院为 51.95%，市级医院 45.41%，县级医院 11.49%。
原因：1. 医院越大其专业划分越细，导致大医院的医师对非本专业的疾病不熟悉。
2. 本病与职业及生活环境关系密切，农民发病多于城市居民，一些高发区的县级医院
医师接触本病较多，诊断经验较丰富。
3. 大医院接收的非典型病例及危重病例较多，导致诊断的难度加大。
误诊表现：病史询问粗略，受累器官较多，临床表现多样，故其误诊范围较广
上呼吸道感染 415 例(28.79%)
病毒性肝炎 214 例(14.85%)
急腹症 92 例(6.38%)、急性胃肠炎 82 例(5.69%)、细菌性痢疾 47 例(3.26%)
感染性休克 44 例(3.05%)
上消化道出血 42 例(2.91%)
白血病 31 例(2.15%)
尿路感染 29 例(2.01%)。

 降低误诊措施

- 重视流行病学资料的调查，提高对本病的警惕性，注意询问病人旅居史、工作性质及家中有无动物传
染源等，同时要注意非流行季节仍可能发生本病。
- 提高对本病的认识
 1. 有不明原因的多部位出血倾向者，尤其是软膜出血点，腋下抓痕样、条索状出血点；
 2. 有恶心、呕吐、腹痛等症状，难以用胃肠道疾患解释者；
 3. 不明原因的休克，血液检查有类白血病样反应，出现异型淋巴细胞，血小板低下者；
 4. 不明原因的剧烈腹痛，不能用外科急腹症解释者；
 5. 短期内出现腹痛、尿少、尿闭，尿中有蛋白、红细胞或颗粒管型者，尤其是尿中排出膜状物者；
 6. 急性感染性疾病病人，体温下降后，全身症状不缓解反而加重者。
- 认真进行查体，特别要注意易被忽略的环节，如轻度或中度的球结膜胶冻状水肿，皮肤粘膜出血、鼻
出血、腹腔积液等多系统、多脏器改变，避免遗漏重要体征。
- 注意全面分析病史资料，提高对本病临床表现、演变规律及并发症的认识，避免只重视局部较为突
出的表现，而忽视全身其他系统的改变。



中国医师协会第六届多发性骨髓瘤学术会议 暨湖南省第七届多发性骨髓瘤高峰论坛



一例特殊的“MM”

杨光忠 陈文明

首都医科大学附属北京朝阳医院血液科
北京市多发性骨髓瘤医疗研究中心

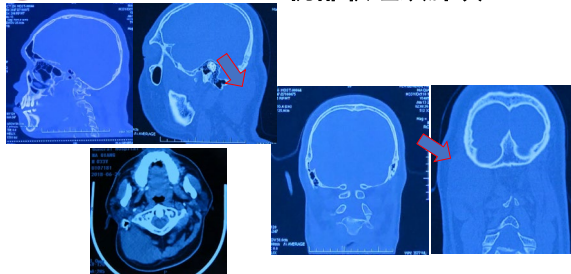


病例介绍

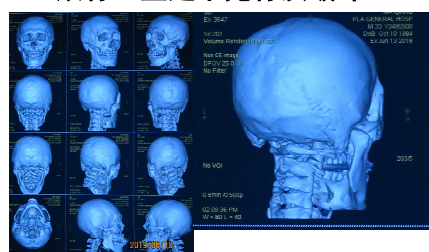
- 男，33岁，枕部包块1年，局部疼痛半年
- 2018-6-3就诊于外地某医院
- 超声：大小相近，边界不清，侵犯肌肉 低回声 血流信号



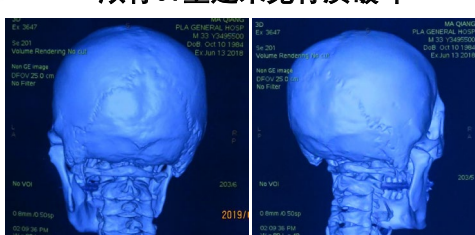
2018-6-13 CT 枕部软组织肿块



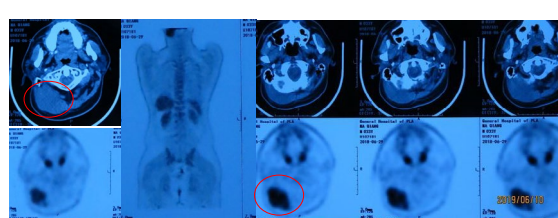
颅骨CT重建未见骨质破坏

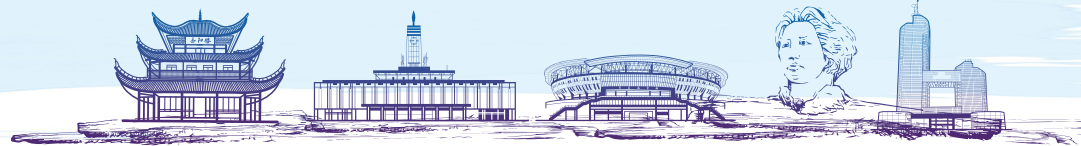


颅骨CT重建未见骨质破坏



PET - CT :枕部软组织包块，高代谢病灶 其他未见异常







该患者的诊断与治疗？



穿刺活检

查所见：
(右侧枕部区) 灰白色穿刺组织3条，大者1x0.1x0.1cm，小者0.5x0.1x0.1，质软。

病理诊断：
(右侧枕部区) 小圆细胞肿瘤，细胞大小一致，部分核偏位，结合临床病史，倾向为浆细胞瘤，建议做免疫组织进一步明确诊断。

病理补充诊断：
(右侧枕部皮下) 小圆细胞肿瘤，部分细胞核偏位呈浆细胞样分化，结合免疫组化结果，符合浆细胞瘤。免疫组化结果：CD3(-)，CD20(-)，CD138(+)，CD38(-)，Ki-67(+30%)，Lambda(-)，Kappa(+)。



诊断与治疗

■髓外浆细胞瘤

■如何治疗？

- > 手术切除？
- > 局部放疗？
- > 化疗？



局部放疗

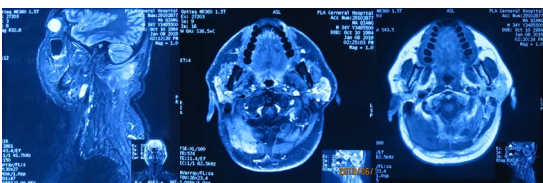
2018-8-9至2018-9-12 2GY /day 50GY/25F





2019-1-8

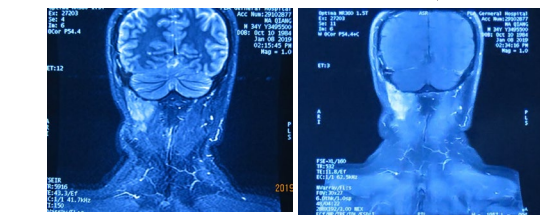
枕部肌肉半棘肌头夹肌及皮下肿块，骨质正常





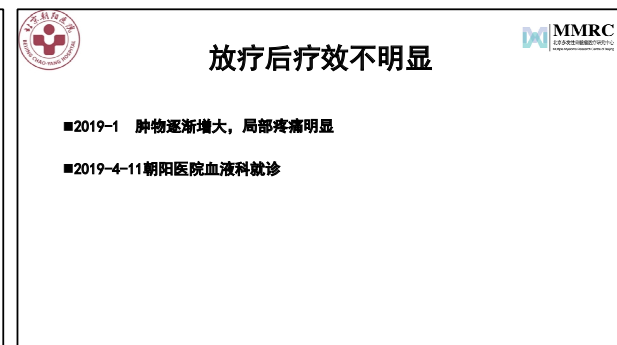
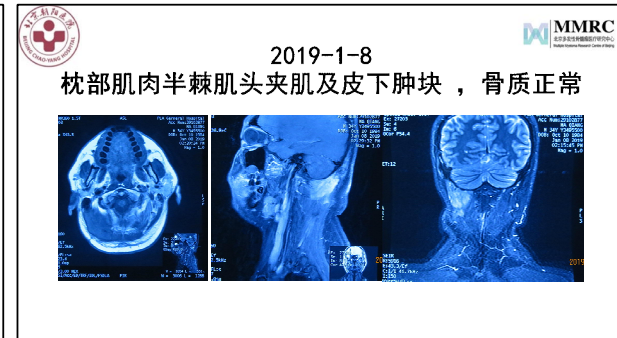
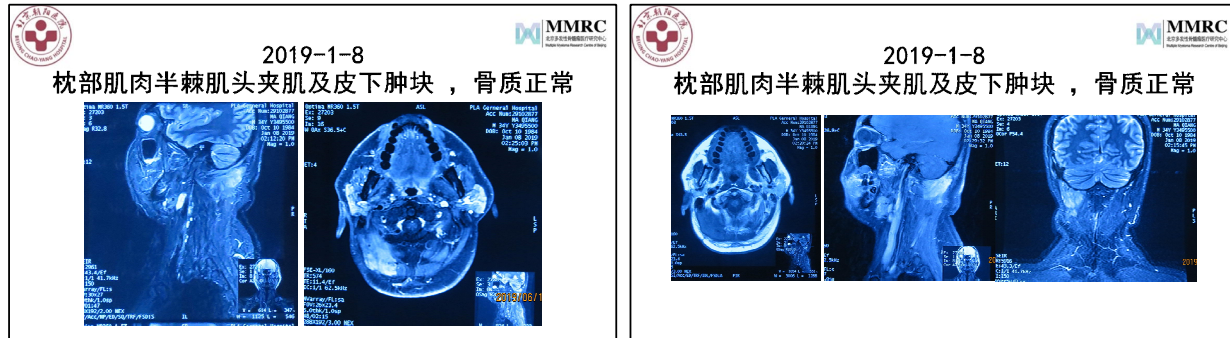
2019-1-8

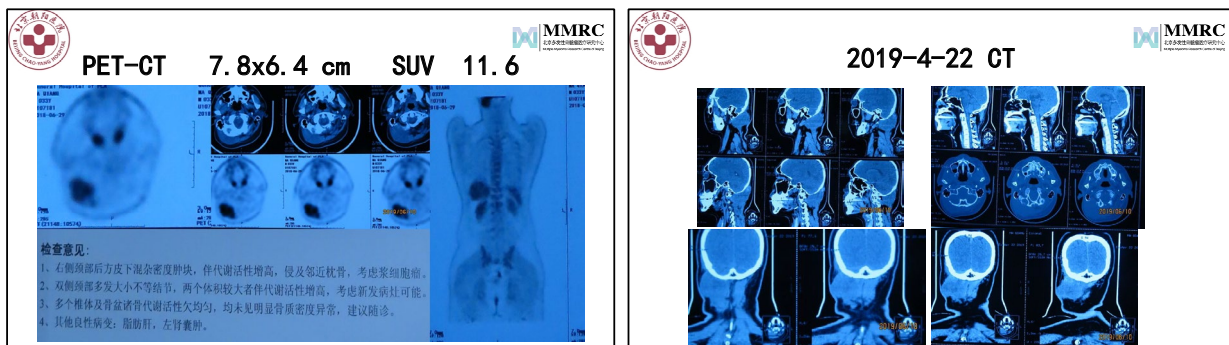
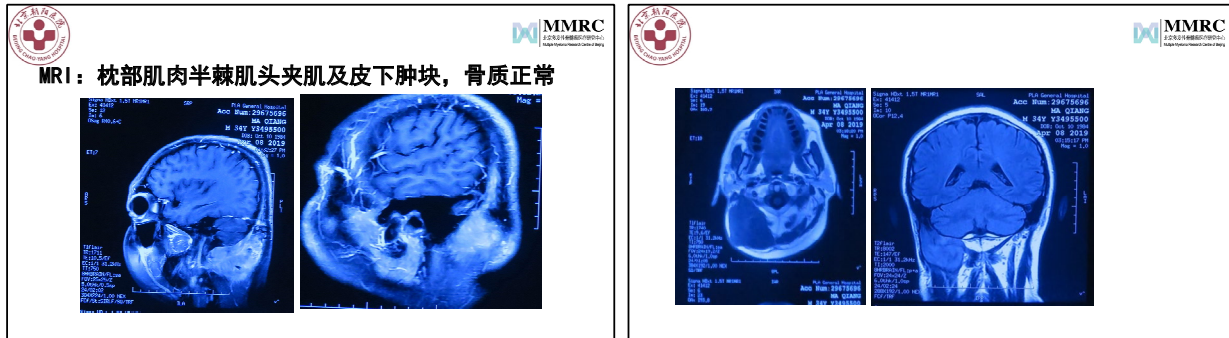
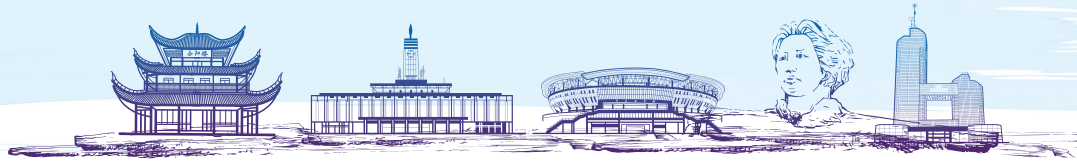
枕部肌肉半棘肌头夹肌及皮下肿块，骨质正常





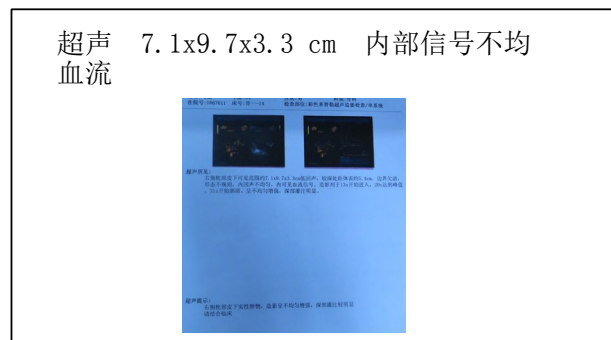
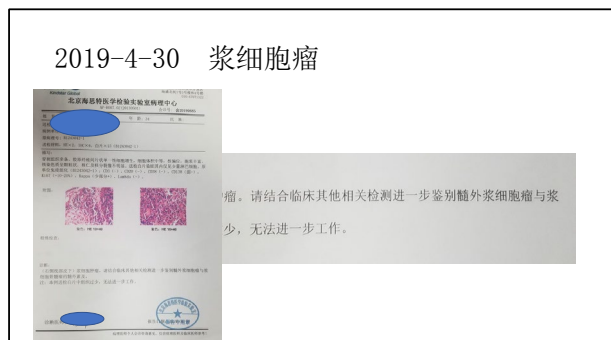
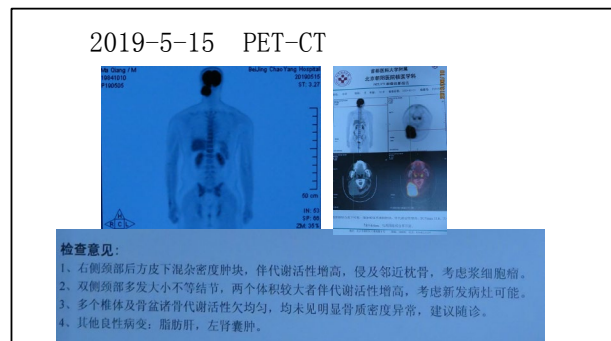
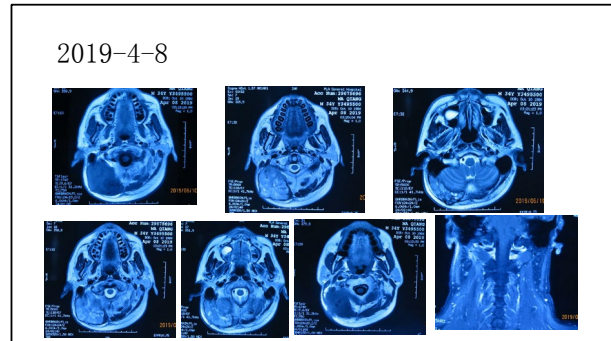
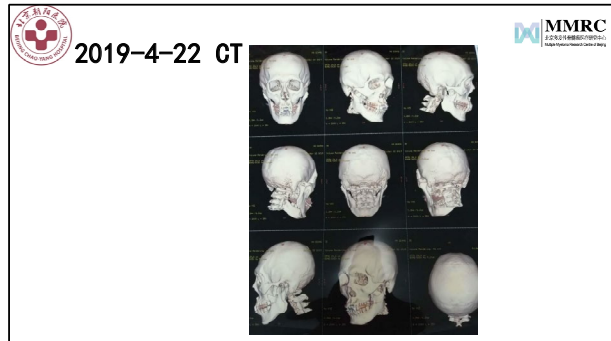
中国医师协会第六届多发性骨髓瘤学术会议 暨湖南省第七届多发性骨髓瘤高峰论坛

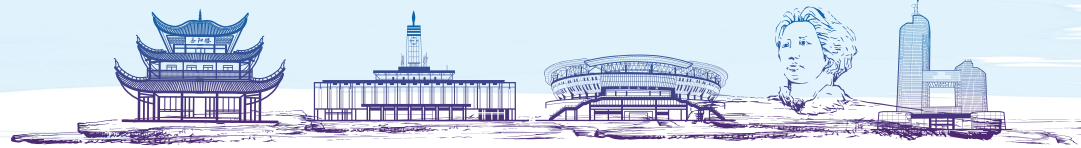






会议学术论坛





2019-5-30大体所见肿物增大 皮肤受累

MMRC
北京积水潭医院
Beijing Jishuitan Hospital

诊断?

• 下一步?

髓外浆细胞瘤多对放疗敏感，但该患者却无反应。诊断有误？因此，
血液科、骨科、医学影像科、放疗科联合会诊，决定再次手术活检，
进一步明确其病理性质

**2019-5-15 开放活检
局部和另切口2处取病理**

MMRC
北京积水潭医院
Beijing Jishuitan Hospital

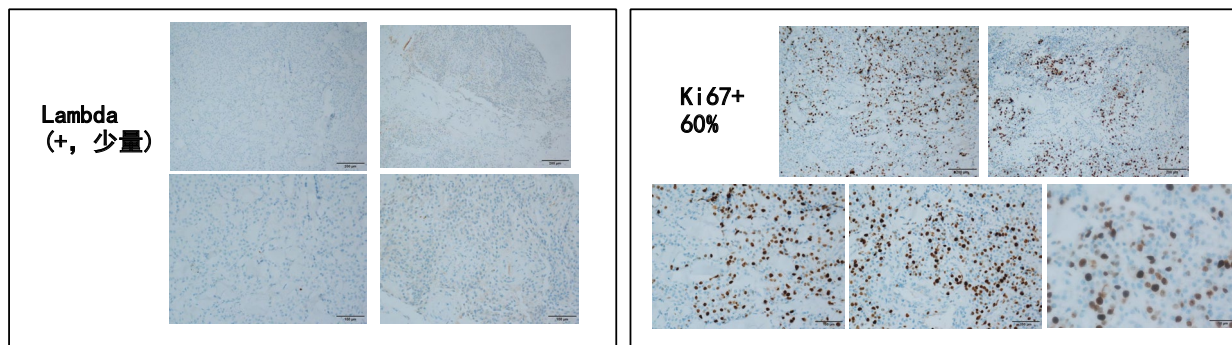
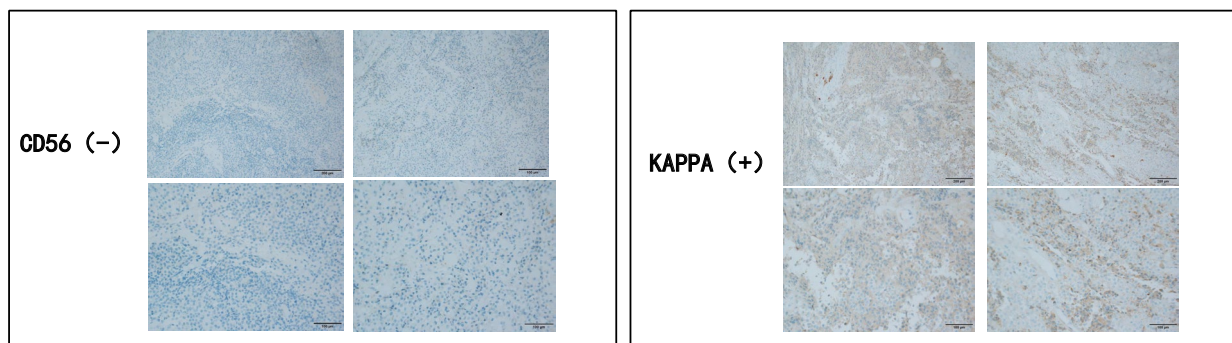
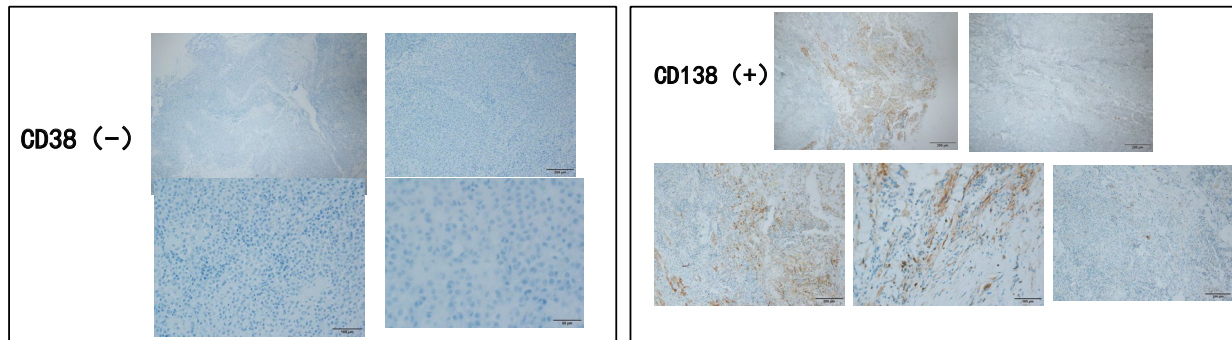
HE

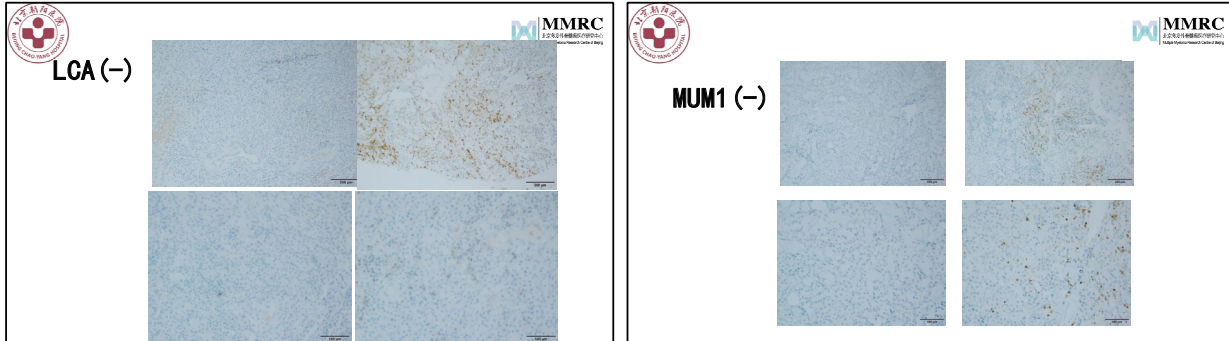
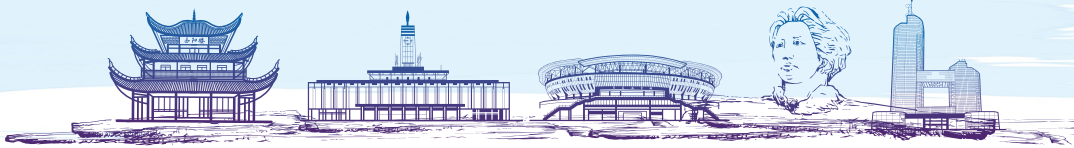
2019-5-21 手术后病理免疫表型不典型

会诊报告：
(颈部肿物) 小圆细胞肿瘤，胞浆红染，部分细胞核偏位，鉴于免疫表型不典型，建议进一步行免疫组化染色明确诊断。
(请切10张免疫白片)。

免疫组化：
CD38 (-), CD138 (弱+), MUM-1 (-), Kappa (弱+), Lambda (-), CD20 (-), CK (-), Vimentin (+), ki67 (增值指数约30%)。

**CD20 (-)
B细胞 (+)**





2019-5-31 恶性黑色素瘤

镜检及病理诊断：
(颈部肿物) 切除标本
大体：
灰白不整形组织，大小1.6*0.8*0.5cm，切面灰白质中，另见，散在碎组织，直径1.5cm。
镜检及病理诊断：
(颈部肿物) 送检组织内见肿瘤细胞弥漫浸润，部分细胞胞浆透明，部分细胞核仁明显，可见少许色素。结合形态及免疫表型，考虑为恶性黑色素瘤。
免疫组化结果：
CD38 (-) , CD138 (少量+) , CD3 (T细胞+) , CD20 (B细胞+) , CD79a (B细胞+) , CD56 (-) , CD35 (-) , MUM1 (-) , Kappa (少量+) , Lambda (少量+) , Ki-67 (增殖指数约60%) , LCA (-) , S-100/Melan-A/HMB45 (+) 。

2019-6-11 病理会诊：皮肤恶性黑色素瘤

病理诊断：
切片571534：
(颈部) 肿物切除 (2019-06)
送取物：肿物组织
厚度：5mm(肿瘤分块取材，无法精确测量)
Clark分级V级；
高单位免疫组化染色显示肿瘤细胞；S-100,HMB45,Melan-A,Ki-67 (+约40%)，其低单位免疫组化染色显示肿瘤细胞；LCA,CD3,CD20,CD38,CD56,CD79a,CD138,Mum-1,Kappa,Lambda (-)。
切片1243042：
(右枕部) 穿刺活检 (2019-06)
小的肿物组织，不排除与上述肿瘤为同一类型肿瘤。
高单位免疫组化染色显示肿瘤细胞；CD3,CD20,CD38, Kappa,Lambda (-) ,CD56(少数弱+) ,Ki-67 (+约20%)。
切片1243043：
(右枕部) 穿刺活检 (2019-06)
小细胞恶性肿瘤，不排除与上述肿瘤为同一类型肿瘤，建议提供脱臼皮片X10
张供做免疫组化进一步证实。
病理科医生：李向红、邢加
报告日期：2019-06-13 09:51:21
签字：李向红 邢加

活检后1月局部渗血，创面及创口不愈合

下一步如何处理



中国医师协会第六届多发性骨髓瘤学术会议 暨湖南省第七届多发性骨髓瘤高峰论坛

第二次手术微创射频

颈部深度标准第一次功率0.1~
~9.02时间12:14分，第
二次换位置0.02~9.83
时间01:01，第三次同上
功率0~9.05时间12:
03，第四次换位置功率0
~2.98时间02:38，第五
次换位置功率0~6.02时间
05:58

2019-6-30 射频后缩小 局部干燥
靶向治疗

2019-7-24 随访

随访至今 继续治疗中

- 靶向治疗
- 局部换药

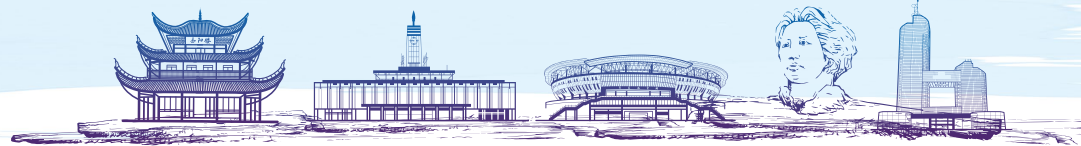
文献复习
特殊的“MM”——恶性黑色素瘤
(malignant melanoma, MM)

- 2000年约为0.2/10万, 2004年约为1/10万
- 4年内我国恶性黑色素瘤的发病率增长了5倍,
- 2011年新发病6505例, 发病率 0.48 / 10 万; 死亡 2660例, 死亡率 0.20 / 10 万
- 我国的 MM 占所有恶性肿瘤的 1% ~3% , 年增长率为 3% ~5% 。
- 我国MM 男女发病比例为 1.12:1, 中位诊断年龄, 50 ~55岁, 老年患者占 17.8%
- 恶性黑素瘤是我国发病率上升速度最快的恶性肿瘤之一

根据国际癌症研究中心的数据显示
郎中亮 王明刚. 中国人群恶性黑色素瘤的临床特征研究进展. 安徽医学, 2018, 12 (1): 120-122)

恶性黑色素瘤临床特征

- 来源于黑色素细胞的一类恶性肿瘤
- 常见于皮肤, 亦见于黏膜、眼脉络膜等部位
- 头颈部粘膜, 鼻腔、口腔, 肢体等
- 具有放射抗拒性, 对常规射线不敏感
- 皮肤癌中最具侵袭性的恶性肿瘤
- 转移早、死亡率高



 <h3>组织病理学 主要4个亚型</h3> <ul style="list-style-type: none"> • 浅表扩散型恶性黑色素瘤 结节型恶性黑色素瘤 恶性雀斑样恶性黑色素瘤 • 肢端雀斑样恶性黑色素瘤 • 上皮样、促纤维增生性、恶性无色素痣、气球样细胞、梭形细胞和巨色素痣性恶性黑色素瘤等类型 • 未知源性恶性黑色素瘤（占 9.0%） 	 <h3>预后相对较差</h3> <ul style="list-style-type: none"> • 5 年生存率和生存期分别为 41.6% 和 43 个月 • 5 年无病生存率和生存期分别为 12.3% 和 20 个月 • 美国 MM 患者的 5 年生存率为 91.4% • 我国北方 446 例伴有转移 MM • 1、2、5 年生存率分别是 52%、32% 和 16%， • 总生存期 13.5 个月，无病生存期 9 个月 • 伴有内脏转移 总生存期 8.5 个月，无病生存期 7.5 个月 • 逐年增长，初诊时病期往往较晚可能有关
---	--

 <h3>病理及免疫组织化学特点</h3> <ul style="list-style-type: none"> • 肿瘤细胞成片排列，瘤细胞体积较大，核呈空泡状， • HMB45 和 S-100 蛋白阳性； • 不同程度表达 HMW M、Melan A 与 Vimentin， • 个别表达 CD56 和 CgA • CK、EMA、CEA、Desmin、NSE、LCA、CD3、CD20、SMA、MyoD 1、Myogenin、Syn 等均阴性。 • 其组织学形态变化大， • 免疫组化 及基因检测对于 诊断及指导靶向治疗有重要意义 	 <h3>恶性黑色素瘤和髓外浆细胞瘤</h3> <table border="0"> <tr> <td style="vertical-align: top;"> 恶性黑色素瘤 <ul style="list-style-type: none"> • 皮肤粘膜黑色素细胞 • 黑色素颗粒 • HMB45、S-100、Melan、Vimentin (+) • 预后差 • 放疗不敏感 </td> <td style="vertical-align: top;"> 浆细胞瘤 <ul style="list-style-type: none"> • 浆细胞 非骨髓内 • 轻链限制性表达 • CD138 (+) CD20 (-) • Kappa (+) /Lambda (-) • 部分表达 CD79a、CD56、MUM-1 • 预后好 • 放疗敏感 </td> </tr> </table>	恶性黑色素瘤 <ul style="list-style-type: none"> • 皮肤粘膜黑色素细胞 • 黑色素颗粒 • HMB45、S-100、Melan、Vimentin (+) • 预后差 • 放疗不敏感 	浆细胞瘤 <ul style="list-style-type: none"> • 浆细胞 非骨髓内 • 轻链限制性表达 • CD138 (+) CD20 (-) • Kappa (+) /Lambda (-) • 部分表达 CD79a、CD56、MUM-1 • 预后好 • 放疗敏感
恶性黑色素瘤 <ul style="list-style-type: none"> • 皮肤粘膜黑色素细胞 • 黑色素颗粒 • HMB45、S-100、Melan、Vimentin (+) • 预后差 • 放疗不敏感 	浆细胞瘤 <ul style="list-style-type: none"> • 浆细胞 非骨髓内 • 轻链限制性表达 • CD138 (+) CD20 (-) • Kappa (+) /Lambda (-) • 部分表达 CD79a、CD56、MUM-1 • 预后好 • 放疗敏感 		

 <h3>本患者特点</h3> <ul style="list-style-type: none"> • 男，中年，颈项部 既不是恶黑常发，也不是浆细胞瘤多发部位 • 早期见不到皮肤病变 单发病变 先有深部病变，后有皮肤发黑 • 小圆细胞 • CD3 (-) CD38 (-) CD20 (-) CD138 (+) Lambda (-) Kappa (+) Ki67 30% • HMB45 、Melan 和 S-100 蛋白阳性； • 血尿轻链及微球蛋白阴性 • 放疗不敏感，射频有一定效果 • 存活 26 月 	 <h3>有经验，更多的是教训</h3>
---	---



会议学术论坛

2020-11-11转入我科继续治疗

江苏省人民医院
JIANGSU PROVINCE HOSPITAL
南京医科大学第一附属医院

- 骨髓(11-15报告)
 - 涂片: 原浆细胞30.4%; 活检: 骨髓增生极度活跃(90%), 幼稚细胞灶性增生, 约占有核细胞40%。表达CD38+++, CD138++, κ-λ,MUM1+, Ki67 10%, CRBN+
 - 流式: 异常浆细胞11.5%, 表达CD138,CD38,CD56,clLambda
 - PCR Ig重排: Igκ重排阳性

江苏省人民医院
Jiangsu Province Hospital
南京医科大学第一附属医院

```

graph TD
    A[凝血功能异常原因?] --> B[凝血5项:  
血浆 11/6 11/8 11/12  
APTT 117.90 85.70 104.10  
PT 14.00 13.90 14.80  
FIB 6.20 5.56 4.07  
TT 28.50 25.40 29.60  
DD2 1.01 1.74 3.31]
    B --> C[风湿免疫指标、抗心磷脂抗体及狼疮抗凝物均阴性]
    B --> D[磷脂类抗凝物或肝素素存在]
    C --> E[正常凝血APTT 26.3s  
患者凝血APTT 70.5s  
混合对照 50.8s  
Rosner指数 34.75  
混合后正常的APTT 53.2s  
凝固后混合的APTT 51.6s]
    D --> E

```

凝血功能异常原因?

凝血5项:

血浆	11/6	11/8	11/12
APTT	117.90	85.70	104.10
PT	14.00	13.90	14.80
FIB	6.20	5.56	4.07
TT	28.50	25.40	29.60
DD2	1.01	1.74	3.31

风湿免疫指标、抗心磷脂抗体及狼疮抗凝物均阴性

磷脂类抗凝物或肝素素存在

APTT纠正试验:

正常凝血APTT	26.3s
患者凝血APTT	70.5s
混合对照	50.8s
Rosner指数	34.75
混合后正常的APTT	53.2s
凝固后混合的APTT	51.6s

江苏省人民医院
Jiangsu Province Hospital
南京医科大学第一附属医院

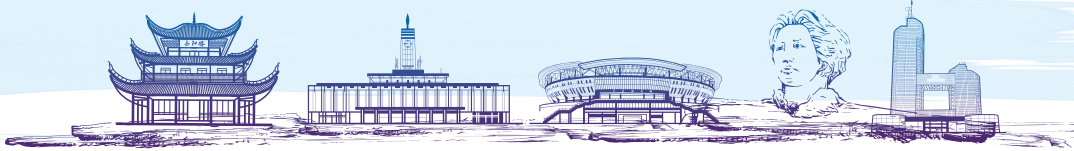
凝血因子活性检测

x0004.

Coagulation factors	Activity (%)	8 times dilution (%)	Normal range
Factor II	160.6	-	(70-120)
Factor V	139.5	-	(70-120)
Factor VII	173.2	-	(70-120)
Factor VIII	60.7	202.6	(70-150)
Factor IX	49.9	205.1	(70-120)
Factor X	152	-	(70-120)
Factor XI	24.4	64.9	(70-120)
Factor XII	13.9	36.8	(70-150)
Protein C	122.6	-	
vWF	404.9	-	(49.5-187)

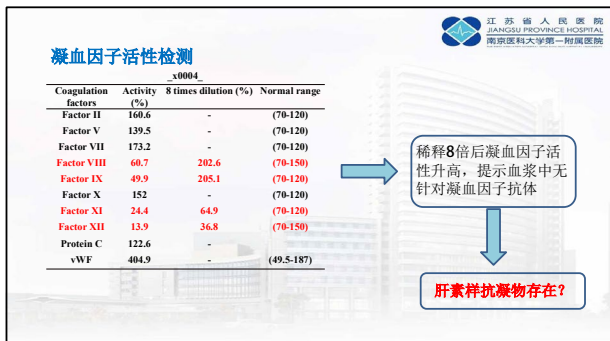
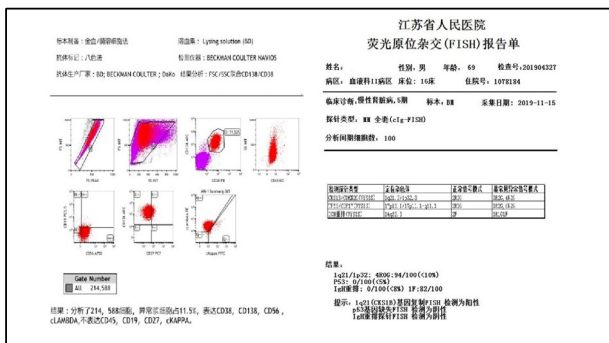
稀释8倍后凝血因子活性升高, 提示血浆中无针对凝血因子抗体

肝素样抗凝物存在?



2020-11-11转入我科继续治疗





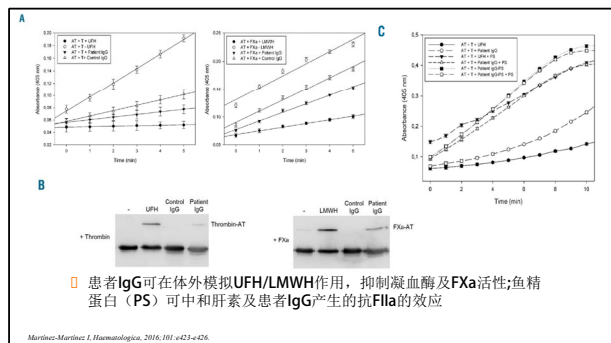
鱼精蛋白纠正试验 (TT纠正试验)

纠正前 TT	31.9s
纠正后 TT	16.2s
备注	待测血浆180ul, 加入5ug/L鱼精蛋白20ul后混合
纠正结果	纠正

类肝素样抗凝物

文献回顾

Age	Gender	Diagnosis	PT (s)	aPTT (s)	TT (s)	RT (s)	Fbg (g/L)	Satisfactory	At the time of diagnosis	Treatment	Prognosis	Article
1 68	Female	MM	21	48	>600	21	138	IgA kappa	Yes	Cryoprecipitate + protamine + prothrombin complex + prothrombin	Dead of sepsis	
2 46	Male	MGUS	18	46	105	18	626	IgG kappa	Yes	Protamine	Dead of sepsis and bleeding	Tefifer, A. 1990
3 47	Male	MM	25	44	>600	17	432	IgG lambda	Yes	Vicorin + plasmapheresis + L-phosphatidylserine + plasmapheresis	Dead of renal failure and coronary artery disease	
4 78	Female	MM	28	48	>600	20	883	Kappa	Yes	Chemotherapy + protamine	Dead of sepsis and bleeding	
5 -	-	MM	15	35.4	122	22	-	IgG+IgA	Yes	Protamine	Unknown	Bayar-Garnier, I. B. 2001
6 55	Male	MM	14	63	65	22	267	IgG lambda	No	Combination + ASCT	Unknown	Torres, L. 2007
7 73	Female	MM	-	-	-	-	IgG	Yes	Recombinant FVIIa + prednisone + VMP	PR and no further bleeding events	Martinez-Martinez, I. 2011	
8 62	Female	MM	12	44.3	32.3	22	228	IgG kappa	No	Protamine	No further bleeding events	Willek, C. A. 2018



□ 考虑为原发病所致，于 2019-11-12 日开始治疗：CTX + Dex, 11-15 确诊 MM, 加用硼替佐米, 规律化疗

	11/6	11/8	11/12	11/13	11/14	11/16	11/18	11/20	11/22	11/25
APTT	117.90	85.70	104.10	93.60	84.50	78.00	67.50	67.70	51.90	43.5
PT	14.00	13.90	14.80	14.30	14.50	14.30	13.10	14.10	13.80	12.2
FIB	6.20	5.56	4.07		3.44	3.21	3.24	3.04	2.71	2.88
TT	28.50	25.40	29.60		31.30	31.00	32.50	27.70	27.50	26.9
DD2	1.01	1.74	3.31		1.10	0.93	0.66	0.39	0.46	0.3
备注				CTX 100mg qd+ Dex 5mg qd	VCD: 硼替佐米 (1.3 mg/m ² , 2.34mg, d1-4, 8-11), Dex (20mg d1-2, 4-5, 8-9, 11-12) + CTX (500mg d1, 8-15)					

□

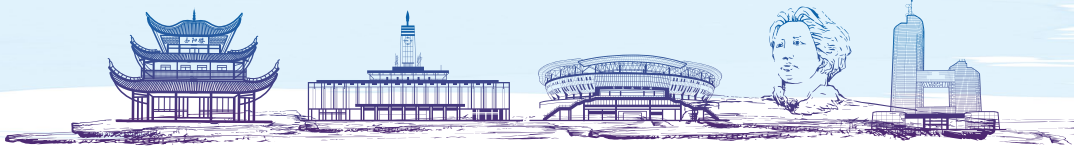
白细胞增高原因：

- 1. 感染？
- 2. 慢性中性粒细胞白血病？
- 3. 中性粒细胞类白血病反应？

Chronic neutrophilic leukaemia and plasma cell-related neutrophilic leukaemoid reactions

Barbara J Bain ¹, Shahzalib Ahmad ²
Affiliations: ¹ Reviewer, ² Author
PMID: 26218186 DOI: 10.1111/bjh.13600
Free article

It is important to distinguish CNL from the neutrophilic leukaemoid reaction that can occur with multiple myeloma (plasma cell myeloma) and monoclonal gammopathy of undetermined significance (MGUS), which is attributable to cytokine release by neoplastic plasma cells. Nevertheless only 59% of strictly defined cases were lambda associated.

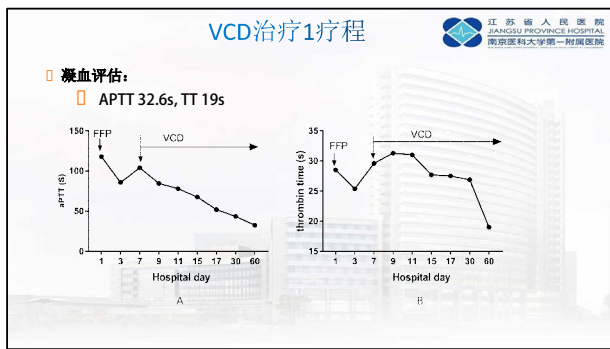


2016年WHO慢性中性粒细胞白血病诊断标准

- 外周血WBC $\geq 25\times 10^9/L$: 白细胞杆状核和分叶核比例 $>80%$, 原始粒细胞少见
- 骨髓明显增生, 中性粒细胞比例和数目明显增生, 原始粒细胞占有核细胞比例 $<5\%$
- 不符合WHO关于BCR-ABL阳性的CML, PV、ET、PMF的相关诊断标准
- 未见PDGFRA、PDGFRB或FGFR1或PCM1-JAK2等基因重排
- 存在CSF3R T168I或其他激活CSF3R基因突变, 或未见CSF3R突变, 持续性中性粒细胞增多(至少大于3个月), 肝脾肿大, 不明原因的反应性中性粒细胞增多。

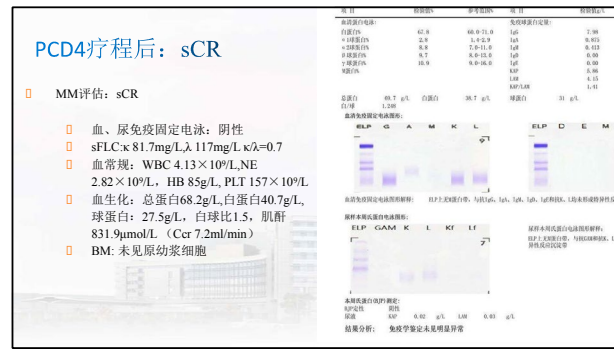
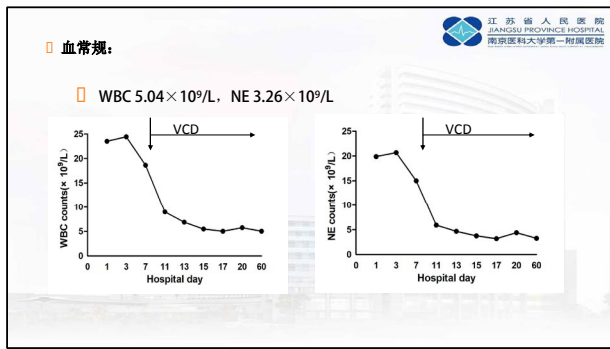
无感染临床表现
外周血WBC: **24.44\times 10^9/L, NE 84.70%**
骨髓: 原始粒细胞0.4%
无肝脾肿大;
骨髓增殖性肿瘤全套基因筛查 (BCR-ABL、JAK2 V617F、CALR、MPL) 均为阴性CSF3R/SETBP1/ASXL1突变均阴性

浆细胞相关的中性粒细胞类白血病反应



凝血因子活性

Coagulation factors	Before treatment	After treatment
Factor II	160.6	76.2
Factor V	139.5	112.4
Factor VII	173.2	94.7
Factor VIII	60.7	153.8
Factor IX	49.9	78.6
Factor X	152	78.5
Factor XI	24.4	81.9
Factor XII	13.9	31.5





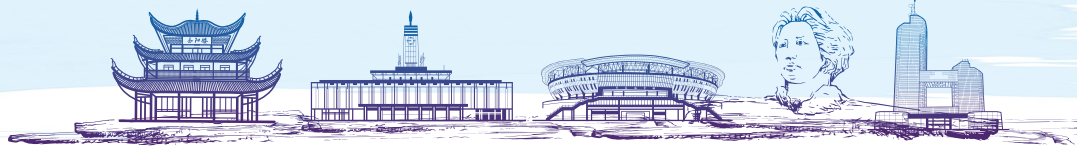
中国医师协会第六届多发性骨髓瘤学术会议 暨湖南省第七届多发性骨髓瘤高峰论坛

总 结

江苏省人民医院
Jiangsu Province Hospital
南京医科大学第一附属医院

- 初诊MM合并高白时需鉴别类白血病反应及慢性中性粒细胞白血病；
- 初诊MM合并出血表现或凝血功能障碍时需警惕肝素样抗凝物存在，APTT纠正实验、TT纠正实验以及凝血因子活性检测有助于诊断；
- 积极治疗原发病可以改善凝血功能异常和中性粒细胞数目；





醫道從德 術業求精

多发性骨髓瘤中枢累及，如何鉴定？
--以中枢神经系统症状为首发表现的NDMM一例

山东大学齐鲁医院
2020.9.4

醫道從德 術業求精

病史简介

- 患者阴XX，女，56岁，因“左手左足麻木6天，双足疼痛3天”来我院。
- 痛感起病，1周内四肢相继瘫痪，进而意识障碍；
- 入院查体：颅神经（-），四肢肌张力正常，右侧上下肢及左上肢肌力5级，左下肢肌力5级，共济检查无异常，深浅感觉无异常，双上肢腱反射（++），双膝反射（++），双侧巴氏征、克氏征阴性。

2020.3.22 **醫道從德 術業求精**

右側基底節、雙側側脳室後角旁、腦干見多發片狀長T1長T2信號，T2FLAIR呈高信號，DWI呈略高信號灶。增強扫描后病变更輕度強化，邊界欠清。雙側大腦半球腦白質內見數個長T1長T2信號，T2FLAIR呈高信號，DWI呈等信號；
腦內多發異常信號，病變範圍較2020.3.15外院片擴大，部分輕度片狀強化。**尼龍網病變不除外**。請結合臨床，複查
MRA未見明顯異常

临床印象：多发病灶 不符合脑血管分布范围（肿瘤 炎症？）
病变处轻度强化，轻度占位效应

Click here to add the title text content **醫道從德 術業求精**

CSF细胞学-神经内科实验室结果

项目	结果	正常值
细胞数	20 * 10 ⁶ /L	< 10 * 10 ⁶ /L
分类	L 82% ; M 18%	
乳酸	2.3 mmol / L	1.2 ~ 2.2 mmol / L
莫克隆带	血（+），CSF（+）	血（-），CSF（-）
免疫球蛋白 Ig G	347 mg/L	< 34 mg/L
脱髓鞘病（血+CSF, 2次）	阴性	阴性
CMV/IVC/HSV-1 PCR	阴性	阴性

> 脑脊液免疫固定电泳：单克隆 IgG-κ成分
> 脑脊液流式：表型未见异常

患者CSF寡克隆带结果 **醫道從德 術業求精**

基差带结果分析：

- 1 型 — 正常，CSF 中无条带出现
- 2 型 — 脑脊液有莫克隆带出现而血清中没有
见于多发性硬化（MS）
- 3 型 — CSF 与血清中均有莫克隆带出现并有额外的条带出现
见于多发性硬化、系统性疾病引起的脑膜炎，如：肉状瘤病
- 4 型 — CSF 与血清中为同时出现莫克隆带出现
见于炎症或感染如 Guillain-Barré
- 5 型 — CSF 与血清中均有单克隆 Ig-g蛋白带
见于骨髓瘤或不明原因的单克隆 Ig-g蛋白病

PH9.0 PH10.0

Type 1 Type 2 Type 3 Type 4 Type 5

C S C S C S C S C S

患者CSF寡克隆带结果 -> 带型？

2581 7588

Click here to add the title text content **醫道從德 術業求精**

免疫固定电泳阳性，完善MM证据
完善腰穿

2020.04.03 转入血液科

2020.3.24-2020.3.28 复查MRI

2020.3.28

丙种球蛋白20g/4*5天
甲强龙500*5天
甲强龙240*2天
泼尼松60mg*2天

意识障碍
行走不能、视物模糊

山东大学齐鲁医院

2020.3.22 右侧基底节、双侧侧脑室后角旁、脑干旁病灶，较2020.3.15外院片扩大

2020.3.30 较2020.3.22变化不显著

腫瘤浸潤 術業求精

山东大学齐鲁医院

M蛋白检查

- 免疫固定电泳：IgG-κ阳性， 32.43 g/L
- 血免疫球蛋白测定：IgG 34 g/L , κ轻链 13.10 g/L , λ轻链 0.34 g/L
- 24小时尿轻链： κ 轻链 2440 mg/24小时 , λ 轻链 44 mg/24小时 , $\kappa/\lambda = 50.7$
- 血游离轻链： κ 轻链 2900 mg/L , λ 轻链 11.8 mg/L , $\kappa/\lambda = 245.76$

骨髓瘤相关靶器官损害

- [C] 高钙血症：血钙 2.2 mmol/L
- [R] 肾功能不全：肌酐 79 umol/L
- [A] 贫血：血红蛋白 116 g/L
- [B] 骨病：髂骨/骨盆等多骨骼 / 骨不均匀高摄取 FDG
- [S] 骨髓单克隆浆细胞比例：19%
- [L] 血清游离轻链比： $\kappa/\lambda = 245.76$
- [M] MRI>1处5mm以上局灶性骨质破坏

腫瘤浸潤 術業求精

山东大学齐鲁医院

实验室检查

➤ 骨髓形态学：幼稚浆细胞 19%
骨髓病理：浆细胞骨髓瘤
FCM：浆细胞占有核细胞 2.11% ，为异常浆细胞表型
FISH：1号染色体相关CKS1B基因扩增阳性（32%）和CDKN2C缺失（20%）
TP53基因、IgH基因未见异常
染色体核型分析：46, XX (20)，未见克隆性异常

腫瘤浸潤 術業求精

山东大学齐鲁医院

诊断

- 多发性骨髓瘤 (IgG-λ型, D-S分期；ISS分期Ⅲ期, R-ISS分期为Ⅲ期, 高危)
- 颅内病变性质待查
- M蛋白介导中枢损害？
CNS-MM?
- β2微球蛋白： 27.4 mg/L
白蛋白： 36 g/L
LDH： 232 U/L

腫瘤浸潤 術業求精

山东大学齐鲁医院

中枢病变如何界定？

- 中枢病变是否与MM相关？
- 有无浆细胞瘤的中枢浸润？
- M蛋白介导的中枢神经系统损害？
- 是否存在CNS炎性脱髓鞘病？

腫瘤浸潤 術業求精

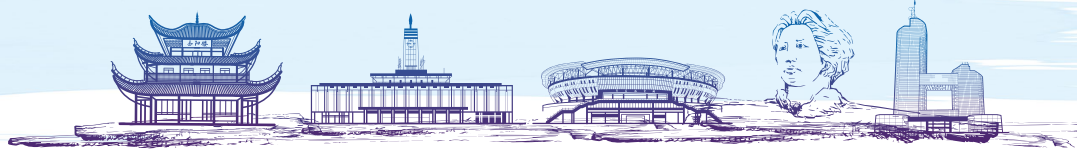
山东大学齐鲁医院

M蛋白与中枢神经系统损害

European Journal of Neurology 2010; 17: 1075–1081
doi:10.1111/j.1468-1331.2010.02977.x

Central nervous system involvement in patients with monoclonal gammopathy and polyneuropathy

H. C. Lehmann, F. R. Hoffmann, G. Meyer zu Hörste, H.-P. Hartung and B. C. Kieseier
Department of Neurology, Heinrich Heine University, Düsseldorf, Germany



CNS-MM

- 存争议
- 脑膜或/和脑实质受累
- 找浆细胞存在的证据:
 - CSF细胞学
 - 颅脑影像学
 - 组织活检

hematol transfus cell ther. 2018;40(1):30-36

Original Study

Myelomatous Involvement of the Central Nervous System

Jonas Paludo,¹ Utkarsh Painuly,² Shaji Kumar,¹ Wilson L. Gonsalves,¹ Vincent Rajkumar,¹ Francis Buadi,¹ Martha Q. Lacy,¹ Angela Dispenza,¹ Robert A. Kyle,¹ Michelle L. Mauermann,³ Arleigh McCurdy,⁴ David Dingli,¹ Ronald S. Go,⁵ Suzanne R. Hayman,¹ Nelson Leung,¹ John A. Lust,¹ Yi Lin,¹ Morie A. Gertz,¹ Prashant Kapoor⁶

Introduction: Limited data exist with respect to the outcome and optimal treatment of patients with myelomatous involvement of the central nervous system (CNS). **Materials and Methods:** Of 4060 patients with multiple myeloma (MM), evaluated at Mayo Clinic from 1998 to 2014, 29 (0.7%) had identifiable CNS involvement, established by the presence of atypical plasma cells in the cerebrospinal fluid (CSF) and/or identification of intraparenchymal or meningeal involvement on magnetic resonance imaging (MRI). A cohort of 87 MM patients without CNS disease served as the control group (1:3), matched by diagnosis date and gender. **Results:** Plasma cells were detected in the

来那度胺导致肝功能异常?

Dex 20mg 4.4, 4.5, 4.11, 4.12	Vel 2.6		
4.3-4.12	4.11-4.26	5.15-5.21	6.5-6.17
来那度胺 25mg qd	来那度胺 25mg qd	来那度胺 25mg qd	来那度胺 10mg qd

	4.3	4.10	4.12	4.17	4.19	4.22	4.26	5.11	5.22	5.27	6.4	6.12	6.18	6.22	6.24	6.26	6.28
ALT	17	110	288	240	208	130	233	78	178	303	103	68	120	591	687	539	299
AST	13	56	87	95	86	56	134	45	89	170	76	46	94	379	389	252	93

• 考虑来那度胺导致肝功能异常

硼替佐米通过肝脏代谢，而来那度胺仅通过肾脏排泄。

行走正常，无复视

2020.3.24
免疫固定电泳, IgG-κ阳性, 32.43 g/L
血免疫球蛋白测定: IgG 34g/L, κ链 13.10 g/L

2020.3.25
脑脊液 球蛋白+, 脑脊液蛋白 0.91g/L
>脑脊液免疫球蛋白 IgG 347mg/L, 糖、氯化物正常
>脑脊液细胞学: 单核样细胞易见, 未见病理细胞
>脑脊液流式: 获取9507个细胞, 表型未见异常
>**脑脊液免疫固定电泳: 单克隆 IgG-κ成分**
>脑脊液脱髓鞘阴性
>脑脊液病毒谱 阴性

2020.5.22
免疫固定电泳, IgG-κ阳性, 6.12g/L
血免疫球蛋白测定: IgG 11.6g/L, κ链 3.3 g/L

2020.5.23, 2020.5.28两次腰穿, 给予dex5mg

2020.3.30 右侧基底节、双侧侧脑室后角旁、脑干旁病灶

2020.5.20 病灶较前好转

影像学表现: 多发不对称性灰质病灶
RVD抗骨髓瘤治疗后脑脊液蛋白明显下降:
中枢神经表现及颅脑影像学明显改善

中枢病变如何界定?

- 中枢脱髓鞘多次阴性 → 不支持CNS炎性脱髓鞘病
- 影像学: 非白质对称性病灶: 甲强龙及丙种球蛋白治疗病灶无明显改善 → 不支持M蛋白介导中枢神经损害
- 影像学: 多发不对称性灰质病灶
脑脊液免疫固定电泳阳性
RVD抗骨髓瘤治疗后脑脊液蛋白明显下降:
中枢神经表现及颅脑影像学明显改善 → 支持CNS-MM诊断



中暨南湖南医学会第七届多发病性骨髓瘤高峰论坛学论坛

复发/难治性多发性骨髓瘤的二线治疗探索

刘玉章 刘晴 宋永平 房佰俊

河南省骨髓瘤研究所
河南省肿瘤医院 郑州大学附属肿瘤医院

复发/难治性多发性骨髓瘤 (RRMM)

复发/难治性多发性骨髓瘤 (RRMM)

复发 (广义) [Relapse]

难治[Refractory]

术后复发

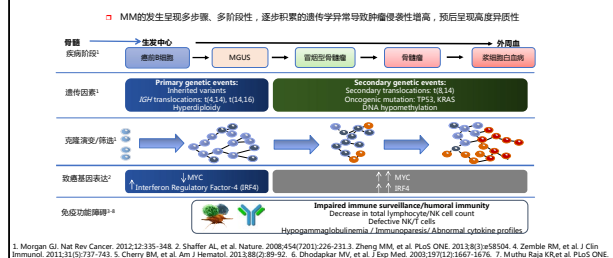
原发性治疗（Primary refractory）：对初始治疗反应差，没有达到MRD^{1,2}

难治（Primary refractory）：对起始治疗反应差，没有达到MR¹⁻²

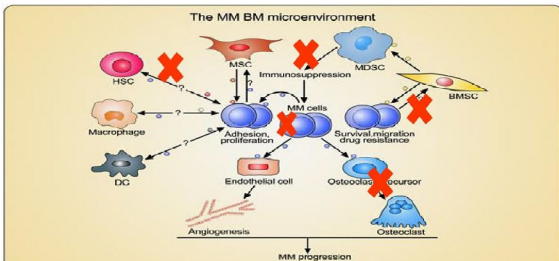
复发(Relapsed)：接受一次/一次以上治疗后出现PML。

1 Nooka AK, et al. Blood. 2015;125:2085-2099. 2 Loria, et al. Clin Cancer Res. 2011;17:1254-1277. 3 Anderson, et al. Leukemia. 2019;32:221-239. 4 S. Vincent Balikumar, et al. Blood.

复杂病因导致多发性骨髓瘤(MM)疾病进展

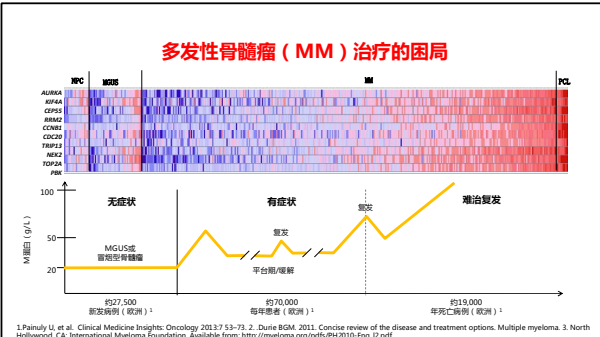
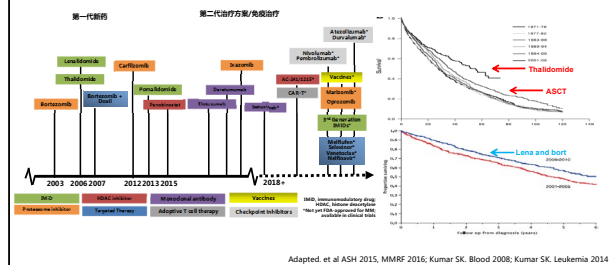


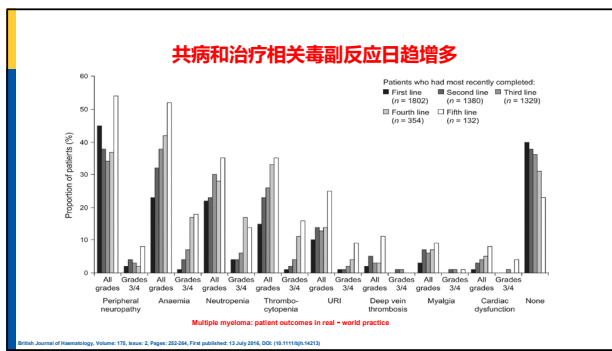
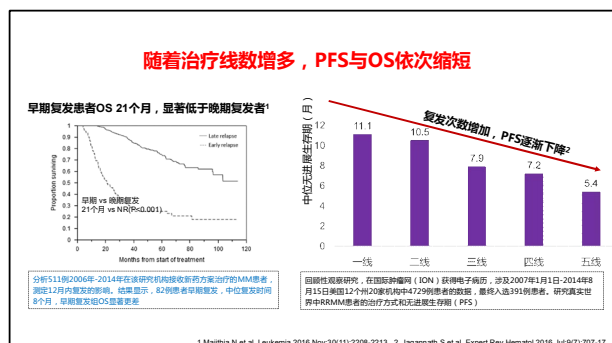
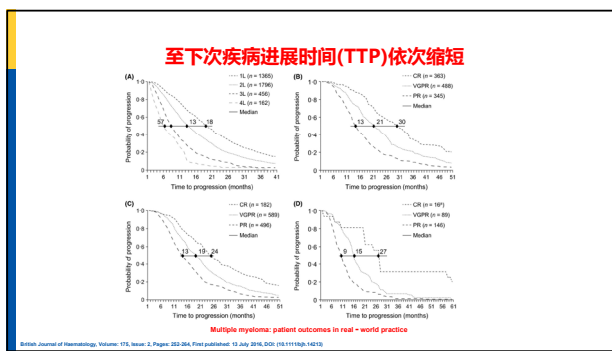
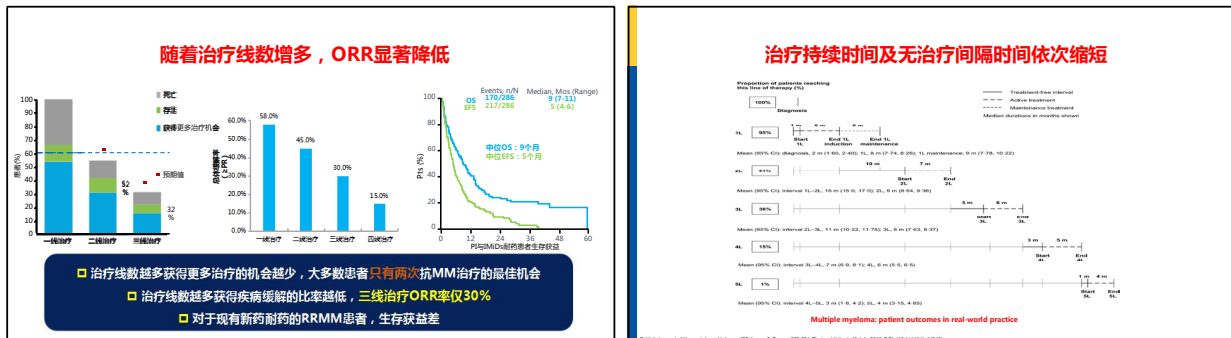
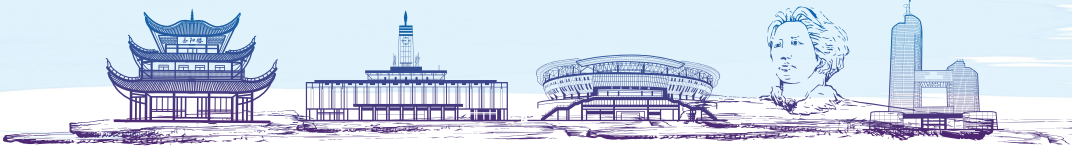
MM细胞与MM微环境间的相互作用



1. Morgan GJ. Nat Rev Cancer. 2012;12:335–348. 2. Shaffer AL, et al. Nature. 2008;454(7201):226–231. 3. Zheng MM, et al. PLoS ONE. 2013;8(3):e58504. 4. Zemble RM, et al. J Clin Immunol. 2011;31(5):737–743. 5. Cherry BM, et al. Am J Hematol. 2013;88(2):89–92. 6. Dhadapkar MV, et al. J Exp Med. 2003;197(12):1667–1676. 7. Muthu Raja KR, et al. PLoS ONE. 2013;8(3):e58504.

新药与新治疗方案显著改善多发性骨髓瘤(MM)的远期生存







中国医师协会第六届多发性骨髓瘤学术会议 暨湖南省第七届多发性骨髓瘤高峰论坛

RRMM的二线治疗方案至关重要

For patients with relapsed and/or refractory multiple myeloma (RRMM) , the second-line therapy is particularly important

治疗线数越多获得再次治疗的机会越少，大多数患者只有两次抗MM治疗的最佳机会

Durer C, et al. Blood Rev. 2020; 39: 100616. Spencer A, et al. Haematologica. 2018; 103: 2079-2087. Dimopoulos MA, et al. Haematologica. 2018; 103: 2088-2096. Richardson PG, et al. Lancet Oncol. 2019; 20: 781-794. Dimopoulos MA, et al. Blood Cancer J. 2017; 7: e554. Lomas OC, et al. Curr Opin Oncol. 2020; 32: 170-175. Kaser MF, et al. Blood. 2013; 122: 219-226. Cao Y, et al. Mol Med Rep. 2016; 14: 3469-3475. Jin Y, et al. Oncol Res. 2019; 27: 729-737. Zhou J, et al. J Cancer Res Clin Oncol. 2019; 145: 329-336. Malek E, et al. Blood Rev. 2016; 30: 341-348.

如何优化RRMM的二线治疗方案？

新药前置 — 把最好的方案放在一线用

2019 EHA24, Prof. Thierry Facon观点:

- ✓ Yes, 好的方案在一线能有更好的疗效。
- ✓ 预先的最佳治疗不会影响后续的治疗，VRD, DRd, D-VMP治疗后还有许多选择...

第1次复发

基于Pd的合并用药
Kd
Kd-Cyclo
VCD
Ixa-CD
VD
Dara-Kd
Pom-Cyclo-Dex
Pom-bortezomib-Dex
Pom-Dex
Pom-Dara-Dex
Pom-Istuximab-Dex
Pom-Kd
Pom-Elo-Dex
Pom-Dex

From EHA24 2019, Prof. Thierry Facon Oral Presentation

Durer C, et al. Blood Rev. 2020; 39: 100616. Spencer A, et al. Haematologica. 2018; 103: 2079-2087. Dimopoulos MA, et al. Haematologica. 2018; 103: 2088-2096. Richardson PG, et al. Lancet Oncol. 2019; 20: 781-794. Dimopoulos MA, et al. Blood Cancer J. 2017; 7: e554. Lomas OC, et al. Curr Opin Oncol. 2020; 32: 170-175. Kaser MF, et al. Blood. 2013; 122: 219-226. Cao Y, et al. Mol Med Rep. 2016; 14: 3469-3475. Jin Y, et al. Oncol Res. 2019; 27: 729-737. Zhou J, et al. J Cancer Res Clin Oncol. 2019; 145: 329-336. Malek E, et al. Blood Rev. 2016; 30: 341-348.

如何优化RRMM的二线治疗方案？

Optimal combination treatments must target both the myeloma and its interactions with MM microenvironment.

The triple combinations based on bortezomib and/or lenalidomide are the most common first-line regimens for newly diagnosed MM patients in China at present and in the next few years.

Durer C, et al. Blood Rev. 2020; 39: 100616. Spencer A, et al. Haematologica. 2018; 103: 2079-2087. Dimopoulos MA, et al. Haematologica. 2018; 103: 2088-2096. Richardson PG, et al. Lancet Oncol. 2019; 20: 781-794. Dimopoulos MA, et al. Blood Cancer J. 2017; 7: e554. Lomas OC, et al. Curr Opin Oncol. 2020; 32: 170-175. Kaser MF, et al. Blood. 2013; 122: 219-226. Cao Y, et al. Mol Med Rep. 2016; 14: 3469-3475. Jin Y, et al. Oncol Res. 2019; 27: 729-737. Zhou J, et al. J Cancer Res Clin Oncol. 2019; 145: 329-336. Malek E, et al. Blood Rev. 2016; 30: 341-348.

如何优化RRMM的二线治疗方案？

Therefore, the screening of available and inexpensive drugs, aiming at synergizing with other established affordable antimyeloma agents and targeting simultaneously the MM clone itself and its interactions with MM immune microenvironment remains a high priority in China.

价格便宜、安全有效
同时靶向骨髓瘤细胞及其与骨髓瘤免疫微环境间的相互影响

Demethylating agent decitabine is a good choice?

In MM, DNA methylation is important for the pathogenesis, progression and prognosis of the disease.

Hypermethylation at pd-DMR genes (TGFB1, SPARC, RBP1, GPX3) can significantly reduce the responses to antimyeloma therapy and perturb the interactions of the myeloma cells with MM immune microenvironment, and demethylating agent decitabine can effectively reduce the methylation of pd-DMR genes.

Furthermore, decitabine can not only synergistically enhance myeloma cell sensitivity to bortezomib but also deplete myeloid-derived suppressor cells (MDSCs) in MM.

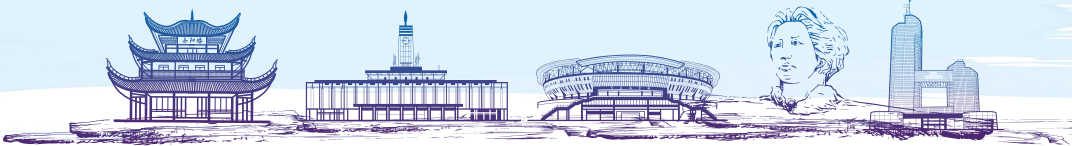
Lomas OC, et al. Curr Opin Oncol. 2020; 32: 170-175. Kaser MF, et al. Blood. 2013; 122: 219-226. Cao Y, et al. Mol Med Rep. 2016; 14: 3469-3475. Jin Y, et al. Oncol Res. 2019; 27: 729-737. Zhou J, et al. J Cancer Res Clin Oncol. 2019; 145: 329-336. Malek E, et al. Blood Rev. 2016; 30: 341-348.

Addition of low-dose decitabine to bortezomib and dexamethasone (VD) in multiple myeloma patients at first relapse

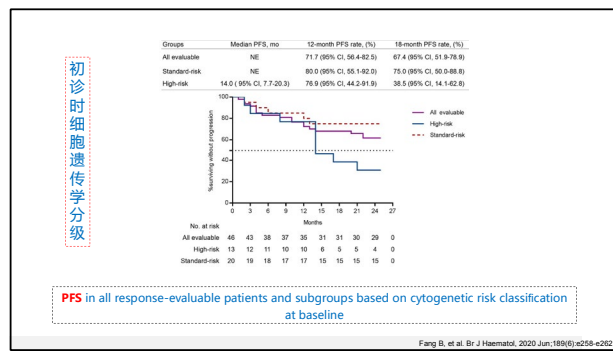
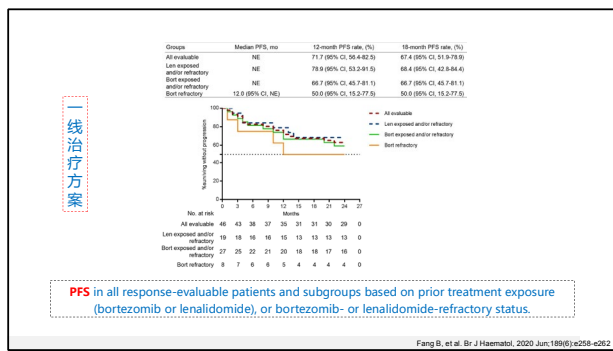
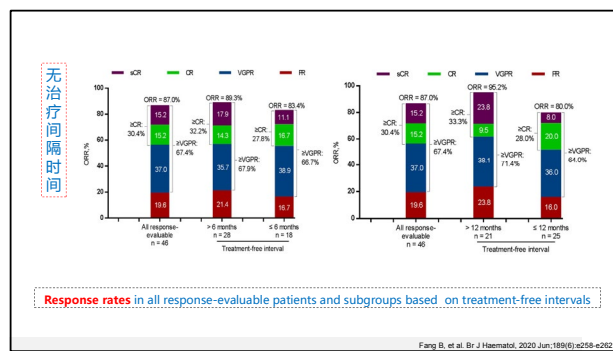
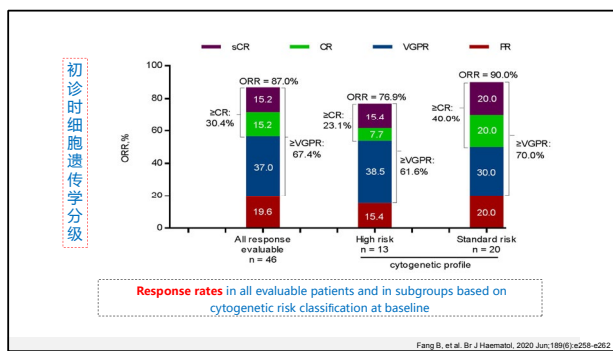
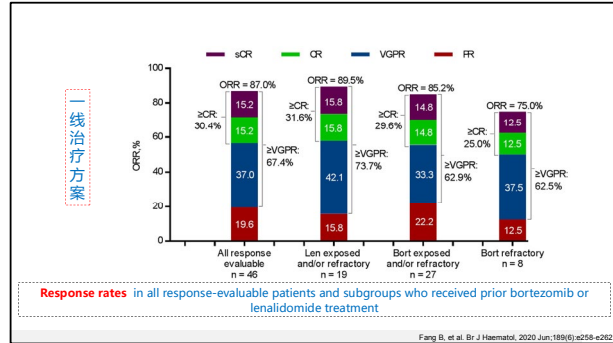
All patients received up to 8 cycles of DVd

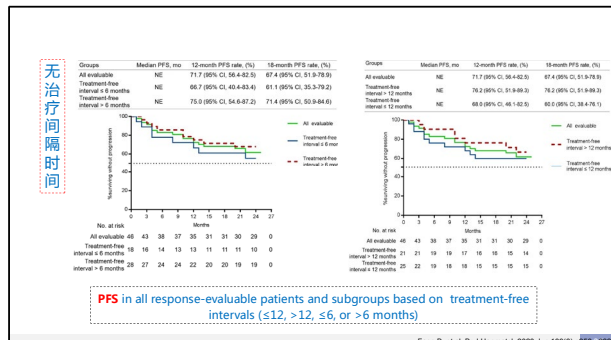
Decitabine (5 mg/m²/d) was given intravenously days 1-5 followed by bortezomib and dexamethasone. Bortezomib (1.3 mg/m²) was administered subcutaneously on days 1, 4, 8, and 11. Dexamethasone (20 mg/dose) was administered orally on the same days as bortezomib and the day after. Treatment cycles were every 28 days.

The trial was registered at www.chictr.org.cn as ChiCTR-OPC-17013860



Characteristic	All patients (n = 47)	The first-line therapy, n (%)
Age, y		8 (17.0)
Median (range)	61 (36-73)	sCR 19.6
Distribution, n (%)		CR 15.2
18-64	32 (68.1)	VGPR 37.0
65-73	15 (31.9)	FR 67.4
Median (range) time since initial diagnosis, y	1.8 (0.6-5.9)	≥sCR: 30.4%
ECOG performance status, n (%)		≥CR: 23.1%
0	27 (57.4)	≥VGPR: 40.0%
1	17 (36.2)	≥FR: 61.6%
2	3 (6.4)	ORR = 87.0%
Mycoma type, n (%)		ORR = 76.9%
IgG	26 (55.3)	ORR = 90.0%
IgA	19 (40.4)	ORR = 70.0%
Light chain only	2 (4.3)	
ISS disease stage, n (%)		
I	14 (29.8)	
II	18 (38.3)	
III	15 (31.9)	
Cytogenetic profile, n (%)		
Standard risk	20 (42.6)	
High risk	13 (27.7)	
Fang B, et al. Br J Haematol. 2020 Jun;189(6):e258-e262		





无治疗间隔时间

No. at risk
All evaluable 46 43 38 37 35 31 31 30 29 0
Treatment-free interval < 6 months 18 16 14 13 13 11 11 10 0
Treatment-free interval ≥ 6 months 28 27 24 24 22 20 20 19 0

PFS in all response-evaluable patients and subgroups based on treatment-free intervals (≤ 12 , > 12 , ≤ 6 , or > 6 months)

No. at risk
All evaluable 46 43 38 37 35 31 31 30 29 0
Treatment-free interval < 12 months 21 21 19 19 17 16 16 14 0
Treatment-free interval ≥ 12 months 25 22 19 18 15 15 15 0

Fang B, et al. Br J Haematol. 2020 Jun;189(6):e258-e262

Table S1. Most common adverse events during treatment.

Event	All grade, n (%)	Grade 3/4, n (%)
Hematologic		
Thrombocytopenia	19 (41.3)	12 (26.1)
Anemia	12 (26.1)	6 (13.0)
Neutropenia	6 (13.0)	4 (8.7)
Non-hematologic		
Peripheral neuropathy	20 (43.5)	3 (6.5)
Fatigue	13 (28.3)	4 (8.7)
Nausea	11 (23.9)	2 (4.3)
Anorexia	8 (17.4)	1 (2.2)
Insomnia	8 (17.4)	2 (4.3)
Diarrhea	8 (17.4)	0 (0)
Upper respiratory tract infection	8 (17.4)	0 (0)
Constipation	7 (15.2)	1 (2.2)
Pneumonia	7 (15.2)	5 (10.9)
Cough	6 (13.0)	0 (0)
Pryrexia	6 (13.0)	1 (2.2)
Peripheral edema	8 (17.4)	1 (2.2)
Arthralgia	8 (17.4)	0 (0)
Dizziness	8 (17.4)	1 (2.2)
Vomiting	4 (8.7)	2 (4.3)
Asthenia	4 (8.7)	0 (0)
Hypertension	3 (6.5)	0 (0)

Adverse events were consistent with the well-established safety profile of bortezomib and no new emergent toxicities due to adding low-dose decitabine (Richardson et al., 2003; Spencer et al., 2018).

Fang B, et al. Br J Haematol. 2020 Jun;189(6):e258-e262

Table S2A. PFS and response of the present study and other studies of bortezomib-containing regimens by subgroup					
Response (%)	CASTOR-D-VD ^{1,2}	CASTOR-VD ^{1,2}	CASTOR-D-VD-FR ^{1,2}	CASTOR-VD-FR ^{1,2}	The present study
ORR	83.8	63.2	90.8	74.3	87.0
CR or better	28.8	9.8	N/A	N/A	30.4
SCR	8.8	2.6	N/A	N/A	15.2
CR	20.0	7.3	N/A	N/A	15.2
VGPR or better	62.1	29.1	N/A	N/A	67.4
VGPR	33.3	19.2	N/A	N/A	37.0
PR	21.7	34.2	N/A	N/A	19.6
12-month PFS rate	60.7	26.9	77.5	29.4	71.7
18-month PFS rate	48.0	7.9	68.0	11.5	67.4
Median PFS (months)	16.7	7.1	NE	7.9	16.3

¹ CASTOR-D-VD: all response-evaluable patients treated with D-Vd in CASTOR trial; CASTOR-VD, all response-evaluable patients treated with Vd in CASTOR trial; ² CASTOR-D-VD-FR, patients who received D-Vd at first relapse in CASTOR trial; CASTOR-VD-FR, patients who received Vd at first relapse in CASTOR trial; VCD-FR, patients who received VCD at first relapse.

Table S2B. PFS and response of the present study and CASTOR trial by Subgroup

Subgroup	ORR (%)		The present study	Median PFS (months)		
	CASTOR-D-VD ^{1,2}	CASTOR-VD ^{1,2}		CASTOR-D-VD ^{1,2}	CASTOR-VD ^{1,2}	The present study
All response-evaluable patients	83.8	63.2	87.0	16.7	7.1	NE
Prior exposure						
Bortezomib	80.5	59.5	89.5	12.1	6.7	NE
Lenalidomide	78.3	52.7	90.0	9.5	6.1	NE
Refractory to lenalidomide	80.5	50.0	88.9	9.3	4.4	NE
Treatment-free interval						
≤ 12 months	76.8	48.9	80.0	10.3	5.2	NE
> 12 months	91.3	82.8	95.2	NE	9.4	NE
≤ 6 months	76.6	46.7	83.3	9.5	5.0	NE
> 6 months	88.4	77.2	89.3	19.6	8.7	NE
Cytogenetic risk						
High	81.8	61.7	76.9	11.2	7.2	14.0
Standard	84.7	64.1	90.0	19.6	7.0	NE

¹ CASTOR-D-VD: all response-evaluable patients treated with D-Vd in CASTOR trial; CASTOR-VD, all response-evaluable patients treated with Vd in CASTOR trial; ² VCD-FR, patients who received VCD at first relapse.

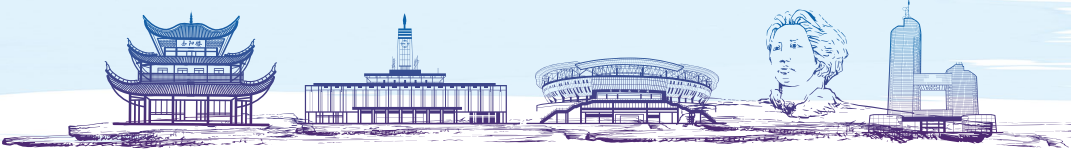
1 Haematologica.2018;103:2079-2087. 2 N Engl J Med.2016;375:754-766. 3 Br J Haematol. 2020 Jun;189(6):e258-e262

总结

In conclusion, the addition of low-dose **decitabine** to **VD** proved to be a well-tolerated and highly cost-effective regimen as **second-line therapy** for RRMM, it may represent an optimal treatment for patients after frontline lenalidomide and/or bortezomib.

谢 谢

THANK YOU FOR YOUR ATTENTION!



多发性骨髓瘤合并MDS一例

病例分析

项目	项目编码	项目名称	检验单位	参考范围	结果示例	参考区间	单位
WBC	WBC001	白细胞计数	9.0	正常	3.5-9.7	10 ⁹ /L	
NEUTR	NEUTR001	中性粒细胞计数	25.7	I	43.2-71.5		
Lymph	Lymph001	淋巴细胞计数	14.5	I	1-14.5		
MONO%	MONO001	单核细胞百分比	10.7	I	4.5-12.4		
ECR	ECR001	嗜酸性粒细胞计数	3.2	正常	0.7-7.8		
BASO%	BASO001	嗜碱性粒细胞百分比	2.1	I	0.22-1.21		
NEUT%	NEUTR001	中性粒细胞百分比	2.3	正常	1.8-7.2	10 ⁹ /L	
LYMPH%	LYMPH001	淋巴细胞百分比	1.3	正常	1.1-2.7	10 ⁹ /L	
MONO4	MONO001	单核细胞绝对值	0.9	I	0.3-0.8		
ECR%	ECR001	嗜酸性粒细胞百分比	0.3	正常	0.05-0.9	10 ⁹ /L	
BASO%	BASO001	嗜碱性粒细胞百分比	0.1	正常	0.01-0.1	10 ⁹ /L	
RBC	RBC001	红细胞计数	242	I	43-58	10 ¹² /L	
Hb	Hb001	血红蛋白	138	I	115-175	g/L	
MCV	MCV001	平均红细胞体积	101.1	I	83-101	fL	
MCH	MCH001	平均红细胞血红蛋白量	32.4	正常	27.2-34.7	fL	
MCHC	MCHC001	平均红细胞血红蛋白浓度	33.0	I	31.5-35.5	g/L	
RDW-CV	RDW-CV001	红细胞分布宽度CV	11.1	I	11.6-14.4	%	
RDW-SD	RDW-SD001	红细胞分布宽度SD	0.57	I	0.51-0.61	fL	
PCV	PCV001	红细胞比容	34.8	I	30.0-35.0	10 ⁻²	
Urea	UREA001	尿素	11.14	I	3-12	mmol/L	
Cr	CREAT001	肌酐	101.1	I	55-100	μmol/L	
UA	UA001	尿酸	424	I	125-425	μmol/L	

项目	项目编码	项目名称	检验单位	参考范围	结果示例	参考区间	单位
GGS	GGS001	免疫固定电泳	130	I	63.5-151.5	g/L	
IGG	IGG001	免疫固定电泳	0.0667	I	0.87-3.2	g/L	
IGM	IGM001	免疫固定电泳	0.0879	I	0.4-1.59	g/L	

项目	项目编码	项目名称	检验单位	参考范围	结果示例	参考区间	单位
FCL	FCL001	免疫固定电泳	53.1	I	6.7-21.4	mg/L	
FCL_XL	FCL_XL001	免疫固定电泳A区带	0.05	I	0.31-1.56		

选择	项目编码	项目名称	检验结果
	MYGGDY	免疫固定电泳	弱阳性(+)，免疫球蛋白G型阳性(+)

选择	项目编码	项目名称	检验结果
	MYGDDY	免疫固定电泳	IgG阴性(-)

MM和MDS的关系：

- MM+原发MDS
- MM+治疗相关MDS

MGUS+原发MDS

一项对605例MGUS和16710例健康对照人群的长达25年的随访研究发现：
MGUS发展成MDS的危险性是对照人群的2.4倍。

Table 1. Patient characteristics		
	Controls (n = 16710)	MGUS (n = 605)
Age in years (as of 1 January 1995) (s.d.)	64.5 (10.6)	70.4 (11.1)
Age in years at MGUS diagnosis, mean (s.d.)	NA	69.7 (11.0)
Gender, female %	55.2	48.9
Follow-up in years, mean (range)	25.14 (0.01–31.4)	24.64 (0.11–30.5)
Total follow up, person-years	420116.37	149042.5
Type of monoclonal protein, no. of patients (%)		
IgG		67 (11.1%)
IgG		417 (68.9%)
IgM		103 (17.0%)
IgD		17 (2.8%)
Unknown		1 (0.2%)

Table 2. Association with MDS and acute leukemia, MGUS patients versus controls

Outcome	MGUS		Controls		P-value
	Cases	Rate ^a	Cases	Rate ^a	
MDS	7	0.49	36	0.20	0.40 (1.09, 5.32) <0.001
AML or MDS	2	0.74	32	0.54	1.35 (0.32, 5.78) 0.673
ALL	0	0.00	6	0.06	0.00 (0, Inf)
Acute leukemia or MDS	2	0.69	38	0.61	1.12 (0.27, 4.68) 0.877
Leukemia	8	0.95	87	0.52	1.83 (0.88, 5.80) 0.105

Abbreviations: AML, acute myeloid leukemia; ALL, acute lymphoblastic leukemia; MDS, myelodysplastic syndrome; MGUS, monoclonal gammopathy of undetermined significance. ^aCompared with controls. Rate per 100 000 person-years, age- and sex-adjusted.

LE Roeker, et al. Leukemia. 2013;27:1391-1393.

MM+原发MDS

Biological and clinical significance of dysplastic hematopoiesis in patients with newly-diagnosed multiple myeloma
Truong, et al. Blood. 2020.

	MM患者数	MDS-PA	
Flow (MDS-PA)	285	33 (11.6%)	
	MM患者数	with MDS-PA (n=26)	without MDS-PA (n=41)
MDS (MDS mutated genes)	67	13(50%)	9(22%)

●约10%的MM在诊断时即伴有MDS-PA；
●约50%的MDS-PA可检测出MDS相关的基因突变，提示存在克隆性造血，这一比例远远高于非MDS-PA患者。
●TET2和NRAS是最常见的突变基因。

MDS-PA的特点和生存分析：MDS-PA生存率低于非MDS-PA

Table 1. Patient characteristics at diagnosis plus frequency and type of hematological toxicity during treatment.

Diagnostic features	No MDS-PA (n=122, 54.4%)	MDS-PA (n=103, 45.6%)	P-value
Hematologic toxicity (%)	100	97	<.0001
≤10% (n=71)	405 (34.4%)	14 (20.0%)	.007
>10% (n=51)	29 (24.4%)	37 (55.3%)	<.0001
≥10% (n=21)	10 (8.3%)	11 (17.0%)	.001
≥20% (n=11)	5 (4.1%)	6 (9.3%)	.001
≥30% (n=5)	2 (1.6%)	3 (4.8%)	.001
≥40% (n=2)	1 (0.8%)	2 (3.2%)	.001
≥50% (n=1)	1 (0.8%)	1 (1.6%)	.001
≥60% (n=1)	1 (0.8%)	1 (1.6%)	.001
≥70% (n=1)	1 (0.8%)	1 (1.6%)	.001
≥80% (n=1)	1 (0.8%)	1 (1.6%)	.001
≥90% (n=1)	1 (0.8%)	1 (1.6%)	.001
≥95% (n=1)	1 (0.8%)	1 (1.6%)	.001
≥98% (n=1)	1 (0.8%)	1 (1.6%)	.001
≥99% (n=1)	1 (0.8%)	1 (1.6%)	.001
≥100% (n=1)	1 (0.8%)	1 (1.6%)	.001
IgG	90 (77.0%)	12 (11.6%)	<.0001
IgG	181 (15.5%)	16 (23.1%)	.060
Cytogenetic	581 (80%)	37 (70%)	.562
Genomic	145 (20%)	9 (20%)	.562
Hypomethylated	364 (90%)	28 (70%)	.002
Amplified	105 (25%)	32 (80%)	.002

* Median values
† All cases are end-of-each cycle
‡ Data on hematologic toxicity during treatment was unavailable in patients enrolled in the COOHO protocol

Biological and clinical significance of dysplastic hematopoiesis in patients with newly-diagnosed multiple myeloma. Blood. 2020.

MM+原发MDS的机制

MM+治疗相关MDS的机制

MM+治疗相关MDS

一项对403例MM患者的回顾性研究中，中位随访40月：
23例（5.7%）患者出现继发肿瘤：10例MDS，2例AML，1例ALL，1例MPN和9例实体瘤。
10例MDS中，9例为MDS伴原始细胞增多，1例为MDS伴多系病态造血。

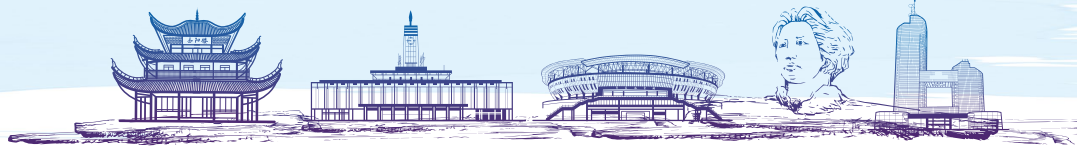
Abstract

Background: Despite the longer survival achieved in multiple myeloma (MM) patients due to new therapy strategies, there is still concern regarding an increased risk of secondary primary malignancies and how to characterize these patients at risk. We performed a retrospective study covering a 20-year follow-up period (1991–2010) in a tertiary clinic institution.

Materials and methods: Total of 403 MM patients were included in the study. The incidence of second malignancies was calculated with the method of person-time analysis on the epidemiologic register of the population area covered by our centre, calculating the standardized incidence ratio (SIR) for the different types of SPMs diagnosed in the MM cohort. Fine and Gray regression models were used to identify risk factors for SPMs.

Results: Out of the 403 MM patients, 23 (5.7%) developed SPMs: 13 therapy-related myelodysplastic malignancies (10 of them 27% myelodysplastic syndrome (MDS)), 1 acute lymphoid leukaemia and 9 solid tumours (5 breast cancer, 2 lung cancer, 1 uterine cancer, 1 kidney cancer, 1 liver cancer). The median age at diagnosis of the SPMs was 61 years (range 30–86). The median time from diagnosis of MM to diagnosis of SPMs was 4 months (range 0–120 months). Survival of patients with TMT malignancies was poor with a median of 4 months from the diagnosis, and most of them showed complex karyotype. Within the MM cohort, multivariable analysis showed a higher risk of TMT malignancies in patients that previously received prolonged treatment with lenalidomide (>16 months).

Increasing therapy-related myeloid neoplasms in multiple myeloma. Eur J Clin Invest. 2019;49(2).



02 治疗:

针对MM?
硼替佐米
地塞米松
阿霉素
环磷酰胺

针对MDS?
沙利度胺
来那度胺
去甲基化药物
小剂量阿糖胞苷
阿柔比星

针对MM+MDS?

02 治疗:

PTAD PTAD PTAD PTAD PTAD
2019.2.12—2019.6.16 2019.7.25

治疗:
MM治疗：硼替佐米，骨髓瘤治疗量
地塞米松，阿柔比星，环磷酰胺
MDS治疗：去甲基化药物，小剂量阿糖胞苷
MM+MDS治疗：硼替佐米，地塞米松，阿柔比星，环磷酰胺

► extramedullary myeloma (EMM) 的临床分类

Table 1. Clinical entities of EMM reported in the myeloma literature

EMM entities	Definition	Clinical presentation
Bone-related plasmacytomas	Plasmacytomas developed from the bone, arising in continuity with the bone marrow.	Tumor masses affecting the axial skeleton: ribs, vertebrae, skull, sternum, pelvis.
E/Extramedullary disease	Soft-tissue plasmacytomas or PC infiltration of an anatomical site distant from the bone marrow. Secondary to a primary hematogenous spread.	Mainly affect the liver, skin, CNS, pleural effusion, kidneys, lymph nodes, pancreas. May develop after invasive procedures (i.e., catheter insertion, surgical biopsy).
PGL	Aggressive tumor of myeloma characterized by the presence of circulating plasma cells (>90% and/or absolute count >2 × 10 ⁶ /L).	Extramedullary disease is also very common in PGL patients.
SP	Localized bone or extramedullary infiltration by clonal plasma cells without systemic tumor dissemination.	Bone marrow and skeletal survey are both normal. CRAB symptoms are absent. Focal radiotherapy is the treatment of choice.

CNS, central nervous system; CRAB, hypercalcemia, renal failure, anemia, bone lesions; SP, solitary plasmacytoma.

How I treat extramedullary myeloma. Blood. 2016;127(8).

► EMM的临床特点、生物学表现以及预后

Figure 2. Overall survival from diagnosis of patients with bone related extramedullary relapse (E-B) is significantly longer than in patients with soft tissue related extramedullary relapse (S-EM) (4 vs. 12 months; $P=0.0005$).

Table 2. Summary of characteristics of EMM

Characteristics	Summary of features
Definition	Soft-tissue plasmacytoma (PC) infiltration of an anatomical site distant from the bone marrow, e.g., after extramedullary disease (as defined in Table 1)
Incidence	1% to 10% in multiple myeloma patients
Molecular pathogenesis	CD44 ^{hi} , CD56 ^{hi} , CXCR4/ICAM1/CLL2
Clinical characteristics	Ref. P53, FAK mutations Symptomatic relapse: organ involvement Most common: CNS, CRAB, renal effusion, kidneys, lymph nodes, pancreas
Biological characteristics	High LCM, anemia, fibroblasts profile Hypercalcemia, renal failure, anemia, bone lesions
Morphology	High-risk cytogenetics (17p deletion) Translocation t(4;14), t(14;16), t(14;20)
Staging	Value of PET-CT to detect extramedullary disease
Prognosis	CME EMM: MRI, CSF analysis (morphology, free cytometry, protein)
	EMM is an independent adverse prognostic factor in de novo MM patients receiving intensive therapy. Few studies specifically analyzed the particular outcome of EMM.

How I treat extramedullary myeloma. Blood. 2016;127(8).

北京朝阳医院2007~2013年统计了256例MM患者，其中36例患者出现了脊髓（椎管）侵犯。

Table 1. Clinicopathological characteristics of 36 multiple myeloma patients with extramedullary plasmacytoma invasion of the spinal cord

Overall N=36			
Age, years: median (range)	58.6 (31~78)		
Gender, n (%)	Male: 23 (63.9) Female: 13 (36.2)		
Heavy chain, n (%)	IgG: 15 (41.6) IgA: 6 (16.7) Light chain, n (%)		
Kappa, n (%)	7 (19.4) Lambda, n (%)	8 (22.2) IgG > IgA, n (%)	8 (22.2)
Stage, n (%)	I: 16 (44.4) II: 12 (33.3) III: 8 (22.2)		
Thorax, n (%)	16 (44.4) Lumbar, n (%)	12 (33.3) Sacrum, n (%)	8 (22.2)
More than two sites, n (%)	16 (44.4) 1 (2.8)		
Parsons cell percentage < 3%, n (%)	12 (33.3) Parsons cell percentage ≥ 3%, n (%)	9 (25)	

Table 2. Treatment of multiple myeloma patients with spinal infiltration and response to therapy

Method of therapy	Number of patients
CR VGP PR SD PD	
Surgery + novel agents	3
Surgeon + traditional chemotherapy	2
Surgeon + traditional chemotherapy + radiotherapy	10
Traditional chemotherapy	2
Second-line chemotherapy regimens	3
Second-line chemotherapy regimens + radiotherapy	1
Second-line chemotherapy regimens + radiotherapy + surgery	2
Second-line chemotherapy regimens + radiotherapy + surgery + novel agents	1

Figure 3. Patients who received bortezomib-containing regimen were longer than others who did not receive bortezomib treatment.

◆ 肿瘤侵犯神经根出现严重临床症状的，应及时的手术干预去除肿瘤病灶，缓解脊髓受压，随后给予联合化疗，可提高缓解率并延长OS。

Clinical analysis of 36 multiple myeloma patients with extramedullary plasmacytoma invasion of the spinal canal. Hematological Oncology. 2014.

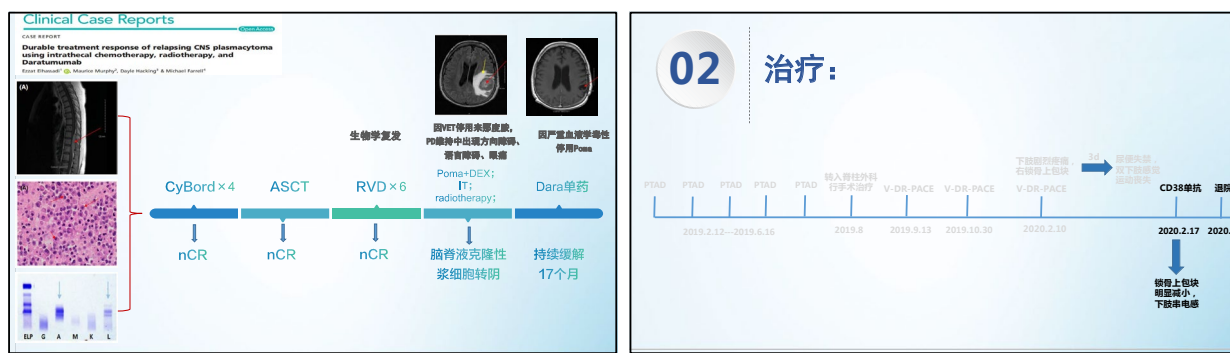
► EMM的治疗

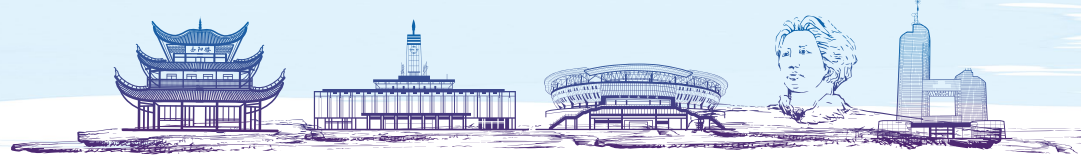
Approach to EMD in Newly Diagnosed MM

```

graph TD
    A[Indolent: Age ≤ 65 years: VTD-PACE (x 2 cycles) for high baseline risk; RVD x 4.8 cycles for low burden EMD] --> B[Transplant Eligible: Mel-200 Auto-SCT followed by RVD maintenance until relapse/progression]
    A --> C[Transplant Ineligible: RVD maintenance until relapse/progression]
    B --> D[Consider CSF Analysis at Diagnosis and if Chemotherapy Given High Proportion of CNS involvement at Diagnosis/Relapse]
    C --> D
  
```

Extramedullary Disease in Multiple Myeloma. Curr Hematol Malig Rep. 2020








细胞免疫治疗，斩瘤利剑

—从细胞免疫治疗中获得深度缓解的九年、多线、老年复发难治多发性骨髓瘤

廖益，杨云帆，沈恺，张丽，余艳，冷亚美，牛振
四川大学华西医院血液科
长沙2020.9.5

内容

- ◆ 临床特点
- ◆ 既往治疗及治疗策略分析
- ◆ Daratumumab治疗
- ◆ CAR-T治疗
- ◆ 讨论

初诊情况

华西医院

- 性别：女 年龄：66岁 职业：文职人员
- **起病时间：2011-6**
- 主要表现：间断腰背疼痛，左下胸肋骨后支压痛

初诊情况

华西医院

辅助检查

- 血常规：血红蛋白 100g/L；
- 血生化：总蛋白100.1g/L，球蛋白63.9g/L，白蛋白 36.2g/L，肌酐 60.2μmol/L，钙 2.23mmol/L，β2-微球蛋白 1.98mg/L；血清蛋白电泳：M 蛋白阳性，M蛋白34.3%；
- 免疫固定电泳：IgG/k型M蛋白阳性；

初诊情况

华西医院

辅助检查

- 骨髓涂片：浆细胞系占38%，原始浆细胞占6.5%，考虑MM；
- 骨髓免疫分型：克隆性浆细胞占有核细胞27%；
- 骨髓活检：浆细胞骨髓浸润；
- PET/CT：未见恶性肿瘤象，胸6、胸10棘突、胸11及双侧数支肋骨骨折。

诊断：多发性骨髓瘤 IgG-k型 (ISS I期, DS IA期)

治疗过程

华西医院

第一阶段

VADT方案×4疗程
 MPT方案×4疗程
 CTD方案×4疗程
 先后T、R、RD方案维持

传统药物

↓

最佳疗效：SD

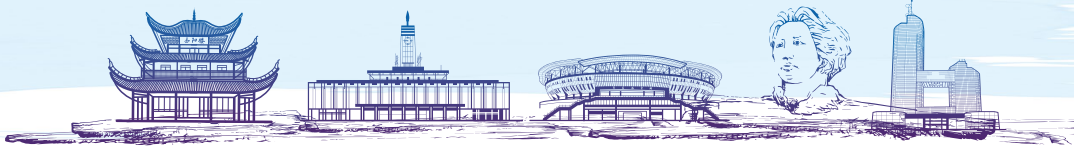
↓

2014-1 PD



中国医师协会第六届多发性骨髓瘤学术会议 暨湖南省第七届多发性骨髓瘤高峰论坛





Daratumumab——CD38单克隆抗体

2015 FDA

- 批准Daratumumab用于治疗复发难治性多发性骨髓瘤

作用机制

- 抗体依赖性细胞介导的细胞毒作用
- 补体依赖的细胞毒作用
- 抗体依赖性细胞吞噬作用
- Fc_Y受体介导的交联诱导凋亡的直接细胞毒性

13

治疗过程

2018-11开始
DRd方案×5疗程
RD方案维持化疗

↓

最佳疗效：CR

↓

2019-9 复发

不良反应

- 1-2级白细胞减少
- 2级肺炎

14

CAR-T治疗现状

- CAR-T在治疗复发难治MM的临床试验中获得较好的疗效。
- BCMA或CD269是目前疗效最好的CAR-T靶点。
- 抗BCMA CAR-T治疗多药耐药且多线复发MM的总体有效率多在80%以上，CR/sCR多在50%以上，无进展生存超过12个月，安全性可接受。

Efficacy and toxicity data of selected B-cell maturation antigen (BCMA)-targeted CAR-T-cell therapies in multiple myeloma (MM).

Trial Registry # [ref]	N	ORR (CR)	Median PFS (months)	CRs (n ≥ 3)	NT (n ≥ 3)
NCT02546167 [13]	25	48% (8%)	NR	88% (32%)	32% (12%)
NCT02215297 [12-13]	26	58% (8%)	NR	69% (23%)	4% (0%)
NCT02658927 [14]	33	85% (45%)	11.3 mos (6.2-17.3 mos)	76% (6%)	42% (3%)
NCT03099659 [15]	17	88% (82%)	12.2 mos (9.0)	100% (41%)	0% (0%)
NCT03698927 [16]	37	88% (47%)	15.0 mos (10.0-18.0 mos)	89% (77%)	2% (0%)
ChiCTR-17011272 [17]	21	95% (57%)	8.0 mos (5.0)	91% (5%)	10% (N.R.)

Roex G, Feys T, Beguin Y, et al. Pharmaceuticals. 2020, 12(2):194

15

抗BCMA CAR-T治疗

2019.12.02 采集细胞制备抗BCMA CAR-T细胞

2020.01.01 FC（氟达拉滨+环磷酰胺）方案预处理

2020.01.06 d0 回输抗BCMA CAR-T细胞

16

d0 回输抗BCMA CAR-T细胞

CRS 1级

- 发热、炎症因子升高
IL-6 15.8pg/ml, IL-8 44.6pg/ml, IL-10 101pg/ml, IL-12 27.2pg/ml, IL-2R 2790pg/ml, 铁蛋白 1037ng/ml

CRS 2级

- 发热、血压下降、SpO₂下降
吸氧、补液，托珠单抗8mg/kg输注1次
输注雅美罗10分钟时，出现明显畏寒寒战伴发热，心率140+次/分，暂停输注托珠单抗，予以抗过敏，美罗培南+可乐必妥抗感染后好转，血培养回报阴性。

体温变化

炎性因子变化

17

d8 体温开始正常，氧饱和度和血压逐渐回升

d10 复查炎症因子大部分恢复正常，考虑CRS结束

血常规示白细胞 $2.52 \times 10^9/L$, 中性粒细胞 $0.58 \times 10^9/L$, 予以重组人粒细胞集落刺激因子75mg皮下注射1次

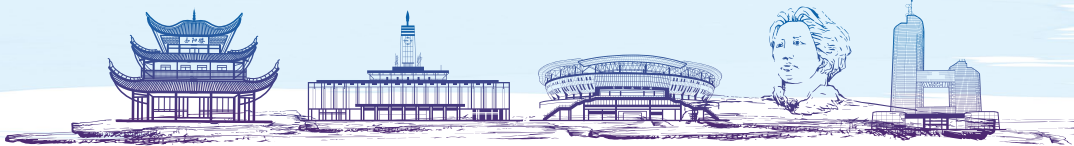
血常规示白细胞 $9.39 \times 10^9/L$, 中性粒细胞 $5.16 \times 10^9/L$, 情况稳定出院

18



中国医师协会第六届多发性骨髓瘤学术会议 暨湖南省第七届多发性骨髓瘤高峰论坛

<p>随访及初期疗效</p> <p>此后未行维持治疗，目前密切随访中，一般状况良好</p>  <p>治疗后2月 PR</p> <p>治疗后4月 VGPR</p> <p>治疗后6月 CR</p> <p>深度缓解 不良反应可控可预测</p>	<p>总结</p> <p>1.既往9线治疗使病情稳定、生活质量高，为后期免疫治疗及细胞治疗的探索奠定了基础。</p> <p>2.Daratumumab获得深度缓解，不良反应少，但疗效持续时间有限。</p> <p>3.在该病例中，抗BCMA CAR-T细胞类免疫治疗像一把斩癌利剑，成功使患者获得深度缓解。不良反应可控可预测。提示即使在九年、多线、老年复发难治的MM患者中，抗BCMA CAR-T细胞免疫治疗是安全性和有效性兼备的抗肿瘤新疗法，值得积极探索。</p>
--	---



苯达莫司汀在MM中的应用

中山大学附属第一医院血液内科
李娟
2020-9

目录

苯达莫司汀作用特点及机制

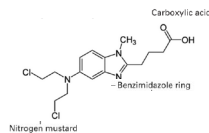
苯达莫司汀在MM中的发展历史及研究现状

中山一院使用苯达莫司汀在MM中的研究结果

讨论和小结

苯达莫司汀 (Bendamustine)

- 20世纪60年代开发 (1963年在东德首次合成)
- 是一种兼具烷化剂和抗代谢双重功能的氮芥类烷化剂
- 化学结构 : 1-甲基-5-β-氯乙基的丁酸盐酸盐 (三个功能团)
 - 氮芥基团 : 烷化剂的功能基团
 - 苯并咪唑环 : 起嘌呤类似物的抗代谢作用
 - 正丁酸侧链 : 增加水溶性



1. 1963 Bendamustine synthesized in East Germany.
2. 1970s Bendamustine used in Europe for lymphoma.
3. 1980s Bendamustine used in the US for lymphoma.
4. 1990s Bendamustine used in the US for myeloma.

苯达莫司汀在MM治疗中的发展历程

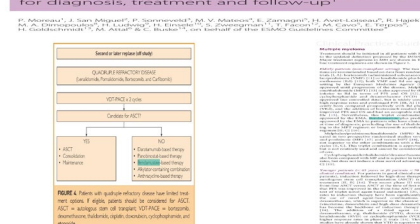
时间 事件

- 1963 东德首次合成Bendamustine
- 2003 体外试验证实有效
- 2006 Ponisch等人进行的一项Ⅲ期临床试验表明，与MP方案(美法仑+泼尼松)相比，Ben联合泼尼松可显著提高初治MM的缓解率，延长患者生存时间并改善生活质量。
- 2010 Ben与强的松联合被欧洲批准为一线方案，用来治疗65岁以上无法进行干细胞移植且因应用硼替佐米和/或沙利度胺后出现神经系统恶化的患者。
- 2010年后 国外有多项临床研究用于新诊断MM患者RRMM、动员及预处理等，取得了不错的疗效，毒副作用少，患者耐受良好。

指南推荐

ESMO CLINICAL PRACTICE GUIDELINES

Multiple myeloma: ESMO Clinical Practice Guidelines for diagnosis, treatment and follow-up*



中山一院使用苯达莫司汀治疗MM患者情况 (-)

编号	姓名	年龄	诊断	既往使用方案	FISH	BM瘤细胞比例	R-ISS分期
1	孔*	61	髓外浆细胞瘤 (多发性)	无	—	4%	—
2	张*	56	浆细胞白血病	PAD/PADT	PS3 (+) 1q21 (+) t(11;14) (+)	46%	—
3	谢*	70	RRMM	PAD	—	2.5%	II
4	周*	74	RRMM (髓外复发)	IRD/PAD	t(4;3)(+) 1q21 (+) 13q (+)	3%	II
5	张*	54	RRMM (髓外复发)	RAD+ASCT	—	61%	II
6	毛*	67	RRMM (髓外复发)	PAD	—	1%	I
7	刘*	65	RRMM (髓外复发)	PAD	—	—	II



中国医师协会第六届多发性骨髓瘤学术会议 暨湖南省第七届多发性骨髓瘤高峰论坛

中山一院使用苯达莫司汀治疗MM患者情况（二）

编号	姓名	年龄	诊断	直行普放病灶	化疗方案	1疗程后椎外病灶评价
1	孔*	61	髓外浆细胞瘤（多发性）	左侧下颌骨，右侧肩胛骨，左侧锁骨，胸骨，L2	Ben+VTD×3	髓外病灶完全消失
2	张*	56	浆细胞白血病	胸10右侧附件，肝脏显著增大并多发结节	Ben+VRD×1	BM浆细胞从22%减少至12%；原本肿大的肝脏缩小
3	谢*	70	RRMM	PET/CT提示骨质破坏	Ben+VTD×1 Ben+VDX×1	无症状，尚未复查PET/CT
4	周*	74	RRMM（髓外复发）	T3，T9椎旁软组织	Ben+VRD×1	MR提示T9肿块较前缩小
5	张*	54	RRMM（髓外复发）	胸骨上窝、胸骨柄可见软组织肿块	Ben+VTD×2	胸骨髓外病灶明显缩小
6	毛*	67	RRMM（髓外复发）	左侧锁骨外上缘及近段软组织肿块	Ben+VRD×1	左侧锁骨旁病灶缩小
7	刘*	65	RRMM（髓外复发）	右侧锁骨旁，椎体前方，双侧后肋可见软组织肿块	Ben+VTD×1	右锁骨下肿块缩小

乐唯欣®产品特征

➤产品名：乐唯欣®（注射用盐酸苯达莫司汀）

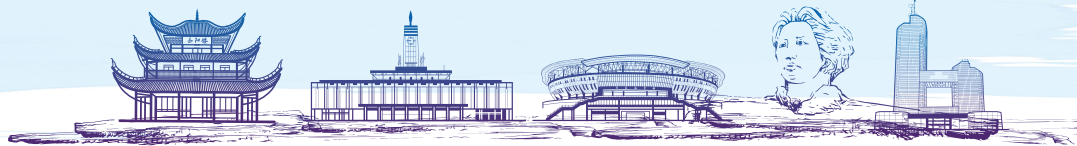
➤适应症：

- 适用于在利妥昔单抗或含利妥昔单抗方案治疗过程中或者治疗后病情进展的情性B细胞非霍奇金淋巴瘤

➤规格：

- 25mg/支，1瓶/盒和2瓶/盒





BLD在多发性骨髓瘤中的应用

杜 鹏
上海长征医院 血液科
全军骨髓瘤与淋巴瘤疾病中心

**抉
CONTENT**

- 1 NDMM诱导治疗现状
- 2 RVD方案的前世今生
- 3 小结

NDMM诱导治疗现状

MULTIPLE MYELOMA 2nd most common CANCER of the blood

	ESTIMATED NEW CASES			ESTIMATED DEATHS		
	BOTH SEXES	MALE	FEMALE	BOTH SEXES	MALE	FEMALE
Lymphoma	85,720	47,070	38,650	20,910	12,030	8,880
Hodgkin lymphoma	8,390	4,990	3,390	3,970	2,390	890
Non-Hodgkin lymphoma	77,340	42,380	34,920	19,940	11,450	8,490
Myeloma	32,270	17,530	14,740	12,830	7,190	5,640
Leukemia	60,530	35,470	25,060	23,100	13,420	9,680
Acute lymphocytic leukemia	6,150	3,470	2,680	1,520	860	660
Chronic lymphocytic leukemia	21,040	12,930	8,110	4,060	2,330	1,730
Acute myeloid leukemia	19,940	11,090	8,850	11,180	6,470	4,710
Chronic myeloid leukemia	8,450	4,970	3,480	1,130	670	460
Other leukemias*	4,950	3,010	1,940	5,210	3,090	2,120

CA CANCER J CLIN 2020;70:7-30

新药/新治疗方案的不断发展 提高了多发性骨髓瘤(MM)的生存期

- 蛋白酶体抑制剂 (PI)、免疫调节剂 (IMiDs)、单抗类药物 (mAb) 的出现以及干细胞移植和免疫治疗等治疗技术 不断发展，促使MM患者的生存率明显提高。

*Median overall OS for MM patients based on analysis of the National Cancer Institute Surveillance, Epidemiology, and End Results Program. **Predictive analysis of OS was modeled with the addition of Revlimid and CAR-T.

1. Crowley JJ et al. Impact of Novel Therapies on Multiple Myeloma - Current and Future Outcomes. Poster presented at the 20th Congress of the European Hematology Association; Utrecht, Netherlands; June 15-19, 2018.

2. Bergsagel PL. An Soc Clin Oncol Abstracts. 2014;34:199-203.

MM自然病程：进展且不断复发

多发性骨髓瘤尚不可治愈。无论获得何种程度的缓解深度，在所有患者中都会伴有残存病灶 (residual disease)，而残余骨髓瘤细胞必然会导致耐药、难治和复发。

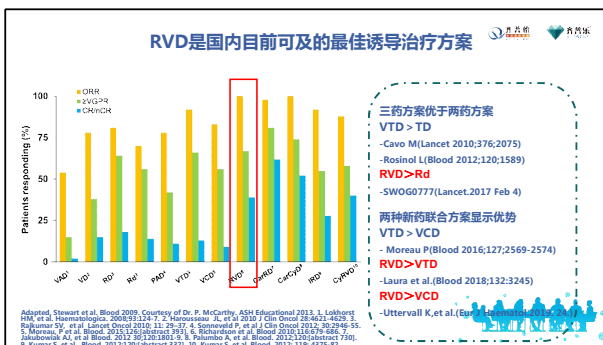
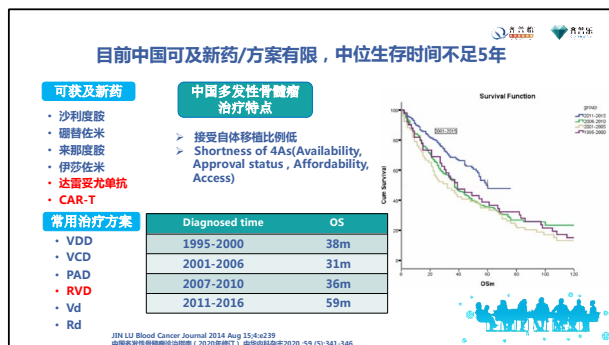
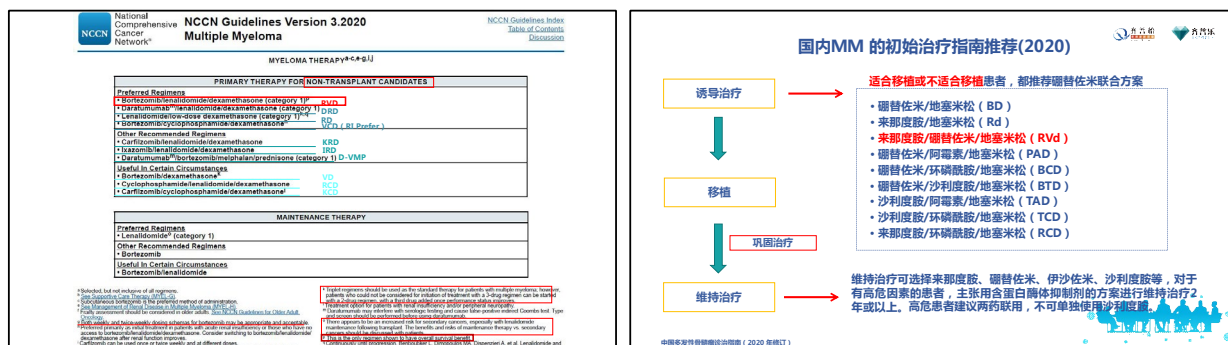
*前两联合治疗可使患者长期生存，如IMiD2008-03研究中治疗缓解维持中位PFS为63个月，CALGB 10110研究中治疗缓解维持中位TTP为63个月。**对于治疗失败+治疗失败/治疗失败中位PFS为30-35个月，不适合骨髓移植并停药治疗。FIRST研究中治疗中位PFS为15.7个月，VISTA研究中治疗中位PFS为11.7个月。MGUS中位PFS为20.3个月。

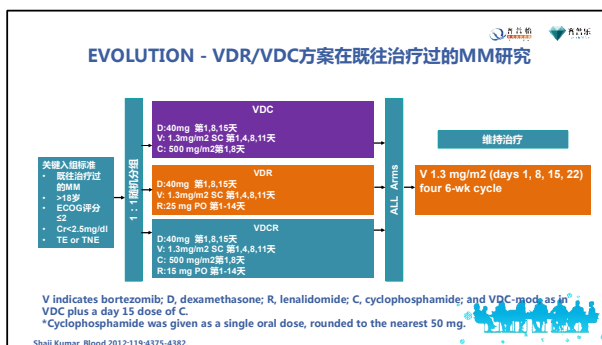
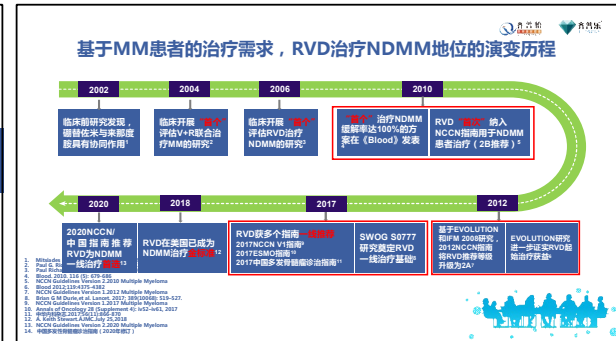
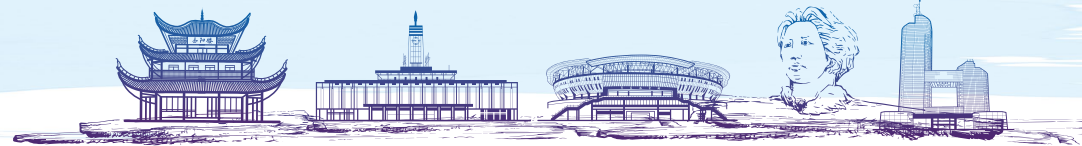
†未经治疗或治疗失败后首次复发的患者在首次复发的治疗方式中位PFS/TTP。

1. Rajkumar SV et al. N Engl J Med. 2014;370:113-123. 2. LeBlanc et al. Cancer Cell. 2014;15:3. 3. Crowley JJ et al. Leukemia. 2014;28:1870-1876. 4. Crowley JJ et al. The New England Journal of Medicine. 2012;366:102-110.



中暨南湖南医学会第七届多届协会师省第协第六届多性届发骨髓性肿瘤高峰论坛学论学术论坛会议

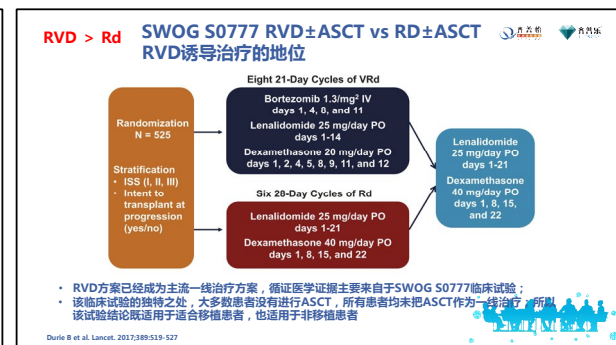
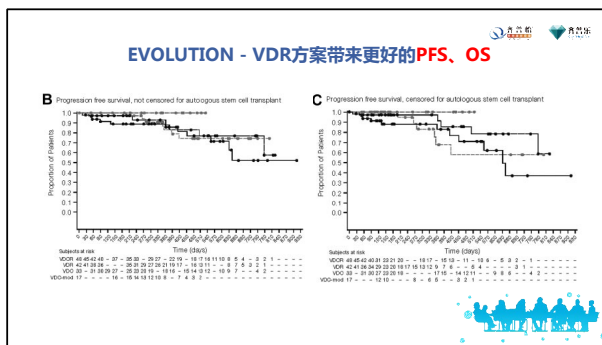




EVOLUTION - VDR方案带来更好的≥VGPR

Table 4. Treatment exposure and response

	VDC n = 48	VDR n = 42	VDC n = 33	VDC-mod n = 17
Patient experience on study				
Median follow-up, mo	20	20	22	15
Median cycles, n (range)	6 (1-12)	6 (1-12)	6 (3-12)	6 (3-12)
Completed maintenance, n (%)	18 (38)	17 (40)	15 (45)	7 (41)
Confirmed response at cycle 4 ^c	n = 40	n = 41	n = 32	n = 17
Complete response	2 (5)	3 (7)	1 (3)	2 (12)
VGPR or better	13 (33)	15 (32)	4 (13)	7 (41)
CR/R (PR or better)	32 (80)	30 (73)	20 (63)	14 (82)
Progression	0	0	0	0
Best response across all cycles				
Complete response	10 (25)	10 (24)	7 (22)	8 (47)
iCR	4 (15)	7 (17)	3 (9)	5 (29)
VGPR	23 (68)	21 (51)	19 (41)	9 (55)
CR/R (PR or better)	35 (96)	35 (83)	24 (73)	17 (100)
Progression	1 (3)	1 (2)	1 (3)	0 (0)
Best response across all cycles among patients ≤ 65 y				
Complete response	n = 28	n = 28	n = 21	n = 12
VGPR or better	8 (21)	6 (21)	2 (10)	7 (58)
CR/R (PR or better)	18 (64)	17 (61)	12 (56)	8 (67)
Progression	24 (96)	26 (91)	14 (67)	12 (100)



SWOG S0777研究：RVD治疗在PFS和OS均获益

Response	VRD (n = 215)	Rd (n = 207)
CR, % (n)	24.2 (52)	12.1 (25)
VGPR, % (n)	50.7 (109)	41.1 (85)
VGPR or better, %	74.9	53.2
PR, % (n)	15.3 (33)	25.6 (53)
ORR, % (n)	90.2 (194)	78.8 (163)
Stable disease, % (n)	7.0 (15)	16.4 (34)
Progressive disease or death, % (n)	2.8 (6)	4.8 (10)

*Both SWOG and IRC stratified Cochran-Mantel-Haenszel analyses indicated improved responses with VRD (odds ratio: 0.528, P = .006 [ITT]; odds ratio: 0.38, P = .001 [sensitivity analysis]).

Michal Attai, et al. Lancet, 2017, 389(10068):519-527.

SWOG 0777 - 结果更新

Response	VRD (n = 215)	Rd (n = 207)
CR, % (n)	24.2 (52)	12.1 (25)
VGPR, % (n)	50.7 (109)	41.1 (85)
VGPR or better, %	74.9	53.2
PR, % (n)	15.3 (33)	25.6 (53)
ORR, % (n)	90.2 (194)	78.8 (163)
Stable disease, % (n)	7.0 (15)	16.4 (34)
Progressive disease or death, % (n)	2.8 (6)	4.8 (10)

*Both SWOG and IRC stratified Cochran-Mantel-Haenszel analyses indicated improved responses with VRD (odds ratio: 0.528, P = .006 [ITT]; odds ratio: 0.38, P = .001 [sensitivity analysis]).

Durie, Lancet, 2017;389:519. Durie, ASH 2018, Abstr 1992.

SWOG 0777 - 治疗深度最终将转变为生存优势

Age, Yrs	VRD	Rd
< 65	48	34
≥ 65	34	24
> 75	34	17

Using forest plot technique, other correlates of improved outcomes (PFS and OS) with VRD are SP2M (< 4); BMPC (> 60%); hemoglobin (> 10 GMS/dL); serum creatinine (< 2 mg/dL); is predominantly good risk (early disease) risk features.

*For all analyses, both SWOG and IRC assessments have been conducted using the fully updated datasets with current data lock in May 2018.

Durie, Lancet, 2017;389:519.

SWOG 0777 - 不同年龄段的患者均可以从VRD治疗中获益

Age	Median PFS, Mos	Median OS, Mos
< 65	48	NR
≥ 65	34	24
> 75	34	17

OS by Age

Durie, ASH 2018, Abstr 1992.

RVD > Vd
RVD方案治疗TNE NDMM中位TTNT较Vd方案显著延长 (REAL-WORLD)

2018年第60届美国血液年会(ASH)发表了一项纳入2369例的不适合ASCT的NDMM患者的真实世界回顾性研究，其中1309例患者接受Rvd方案治疗，1060例患者接受Vd方案治疗。

所有患者TTNT:
Rvd vs Vd : 40.9个月 vs 14.8个月
衰弱患者 (735例) TTNT:
Rvd vs Vd : 32.6个月 vs 17.1个月

Ajai Chari, ASH 2018 (Abstract 2243), oral presentation

RVD > VCD
RVD vs VCD疗效对比

回顾性分析2009年1月至2018年12月瑞典卡洛林大学附属医院的681例新诊断的多发性骨髓瘤患者，纳入研究的患者排除浆细胞白血病、孤立性浆细胞瘤和淀粉样变性，分别使用VCD或VRD方案进行一线治疗。中位随访时间27个月。

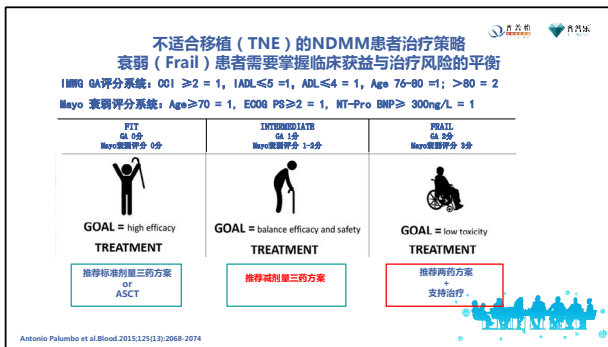
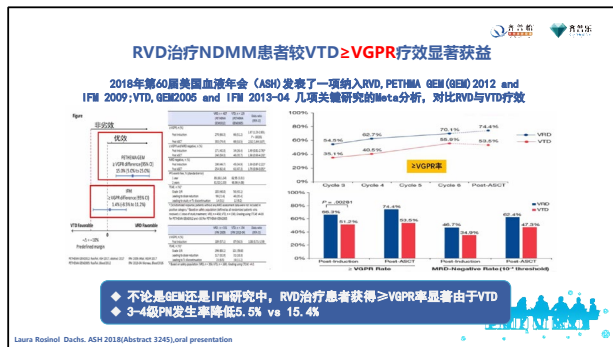
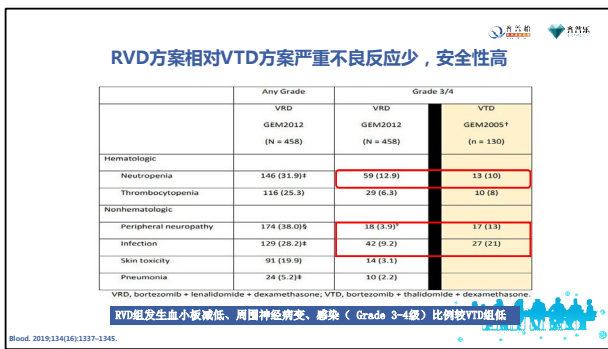
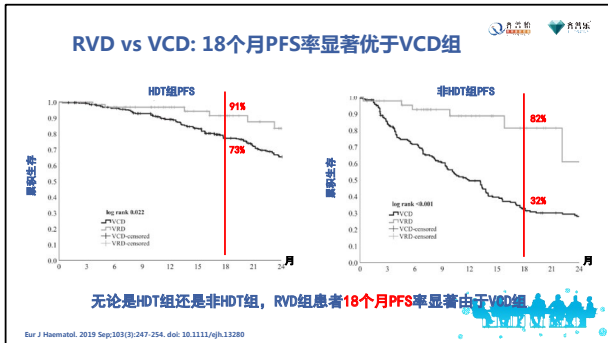
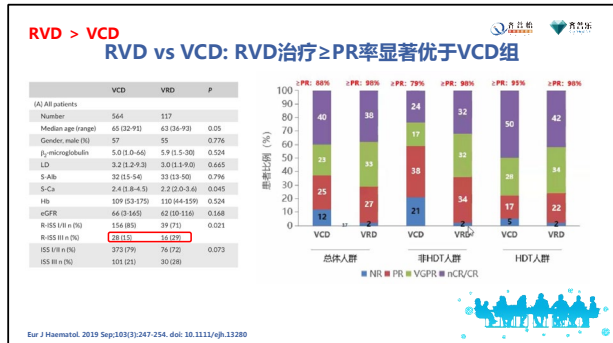
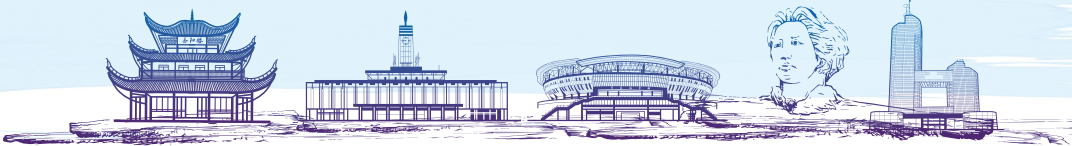
诊断患者 N=681例

- RVD 诱导治疗 N=581例** → **HDT N=71例 非HDT N=466例**
- VCD 诱导治疗 N=564例** → **HDT N=351例 非HDT N=213例**

Treatment Regimens:

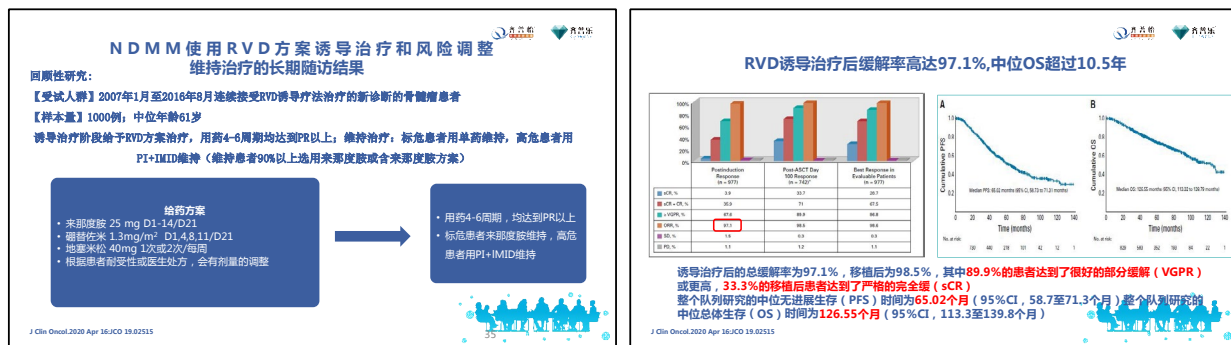
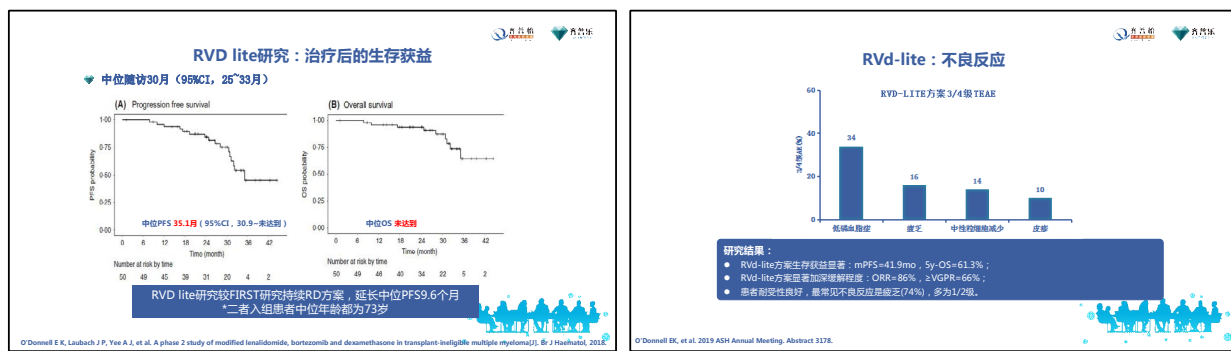
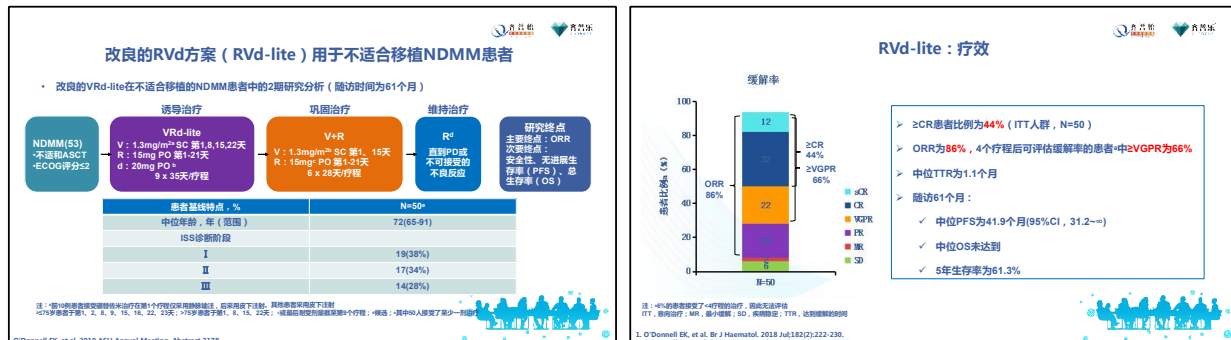
- HDT:** V:1.3mg/m² sc,d1-8,11,14-15-26mg d1-14, Dex:20mg d1-2,4,5,8,9,11,12,4-8cycles(median 5)
- Non-HDT:** V:1.3mg/m² sc,d1-8,15,21, R:20mg d1-14, Dex:20mg d1-2,8,9,15,16,21,23, median 6cycles
- HDT:** V:1.3mg/m² sc,d1-8,11, C:1000mg/m² IV d1, Dex:20mg d1-2,4,5,8,9,11,12,4-8cycles(median 4)
- Non-HDT:** V:1.3mg/m² sc,d1-8,15,21, C:1000mg/m² IV d1, Dex:20mg d1-2,4,5,8,9,11,12,4-8cycles(median 4)

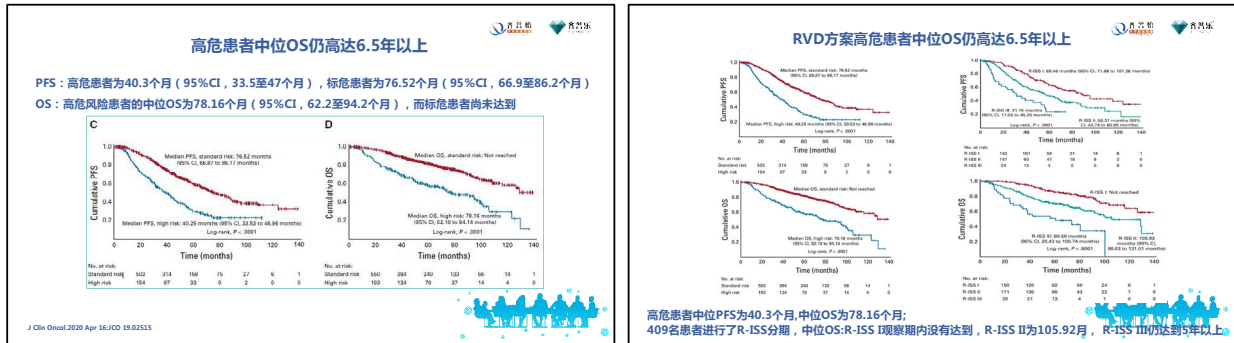
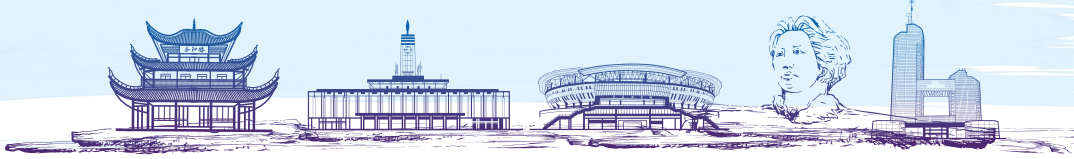
Eur J Haematol. 2019 Sep;103(3):247-254. doi: 10.1111/ejh.13280





中国医师协会第六届多发性骨髓瘤学术会议 暨湖南省第七届多发性骨髓瘤高峰论坛





An update on AL amyloidosis management

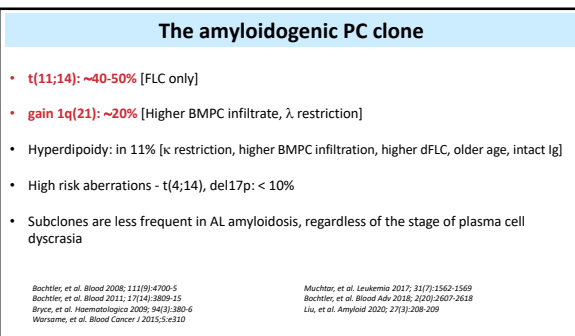
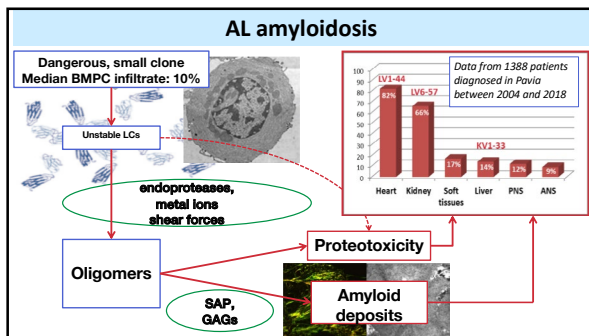
Giovanni Palladini, Paolo Milani

Amyloidosis Research and Treatment Center
Foundation «IRCCS Policlinico San Matteo»
and
Department of Molecular Medicine
University of Pavia

Logo of the Italian Society of Hematology (SIH)

Disclosures: Paolo Milani

Research Support/P.I.	-
Honoraria	Janssen and Pfizer (Travel support from Celgene)
Scientific Advisory Board	



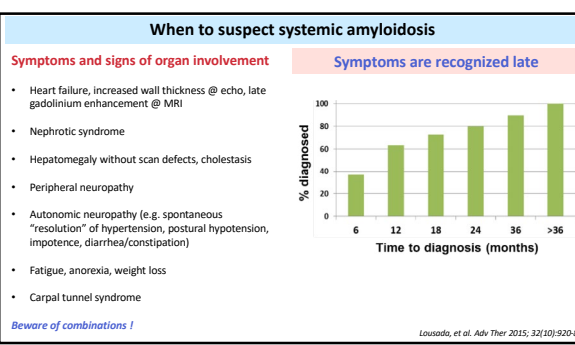
Epidemiology of AL amyloidosis

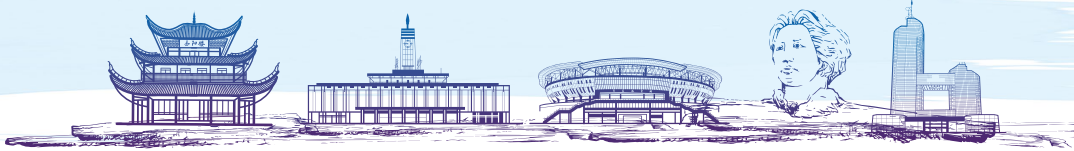
Annual incidence (per million person-years)	Annual prevalence (per million person-years)	Location (time frame)	Study design	Median age (years)	Male patients (%)	Refs
8.9 (95% CI 5.1–12.8)*	No data	Olmsted county, Minnesota, USA (1950–1990)	Population-based study with immunohistochemical typing for case ascertainment	73.5	62	^a 1
12 (95% CI 8–16)*	No data	Olmsted county, Minnesota, USA (1990–2015)	Population-based study primarily using mass spectrometry typing for case ascertainment (see above)	76	54	^b 2
1.7	3.4	Argentina (2006–2015)	Case ascertainment was extrapolated from registrants in the Medical Care Program in Buenos Aires	No data	No data	^c 18
0.7 (95% CI 2.6–9.7)*	No data	Buenos Aires, Argentina (2006–2015)	US claims data	64 ^d	54	^e 17
10.8–12.7*	*Year 2007: 15.5 *Year 2015: 40.5	USA (2007–2015)				

AL, immunoglobulin light chain. *Age and sex adjusted. ^aReference is forthcoming. ^bCrude estimate. ^cAdjusted for age only. ^dAdjusted to the Buenos Aires 2010 Census. ^eMean age.

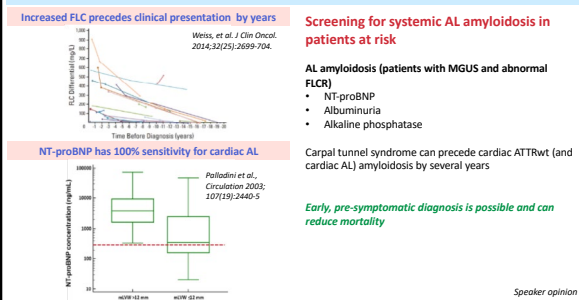
If you have 5-10 patients with myeloma you should have 1 patient with amyloidosis ...

Merlini, et al. *Nat Rev Dis Primers.* 2018;4(1):38

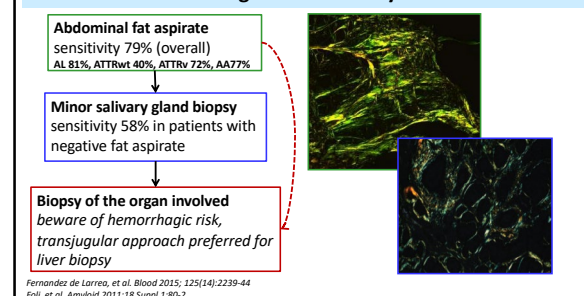




When to suspect systemic amyloidosis

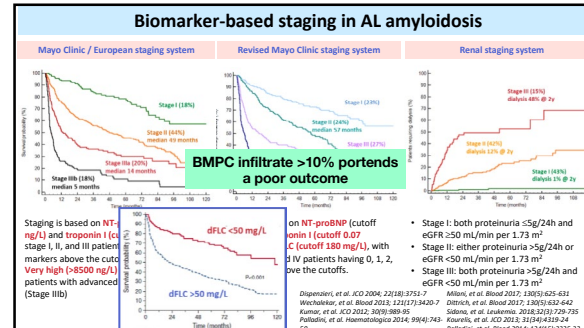


Tissue diagnosis of AL amyloidosis

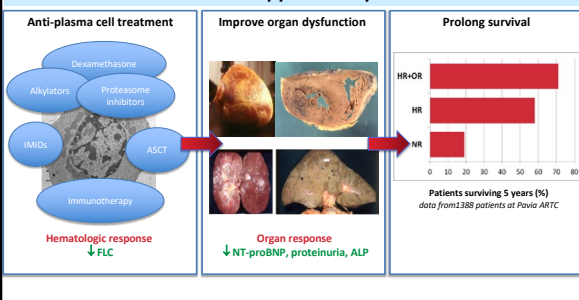


Clinical presentation of the most common forms of systemic amyloidosis

Amyloid type	Organ involvement						Treatment
	Heart	Kidney	Liver	PNS	ANS	ST	
AL amyloidosis (~60%)	++	++	+	+	+	+	Chemotherapy targeting PC clone
Wild-type ATTR amyloidosis (~30%) (Senile systemic amyloidosis)	++	-	-	-	-	-	TTR stabilization TTR gene silencing Liver transplant
Hereditary ATTR amyloidosis	++	±	-	++	+	-	
AA (reactive) amyloidosis	±	++	+	-	+	-	Treatment of inflammatory disease
Hereditary AAPPtA1 amyloidosis	+	+	+	-	-	-	-
ALECT2 Amyloidosis (Leukocyte chemotactic factor 2)	-	+	+	-	-	-	Data from 2297 patients diagnosed in Pavia between 2004 and 2018

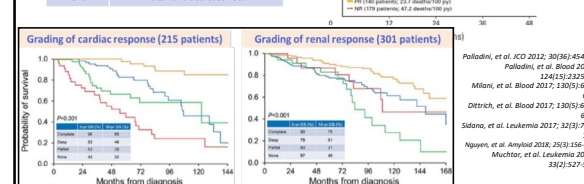


Aims of therapy in AL Amyloidosis



Validated criteria for early assessment of response in AL amyloidosis based on biomarkers

Response	Definition
Hematologic	CR: negative sUfI E+ normal FLCR VGR: dFLC <40 mg/L PR: dFLC decrease >50%
For dFLC 20-50 mg/L	Low-dFLC response: dFLC <10 mg/L
Cardiac	NT-proBNP decrease >30% & >300 ng/L
Renal	Proteinuria decrease >30%





中国医师协会第六届多发性骨髓瘤学术会议 暨湖南省第七届多发性骨髓瘤高峰论坛

MRD assessment in AL amyloidosis

- Profound decreases of FLC can result in improved organ dysfunction and prolonged survival. However, even CR does not translate into organ response in all patients
- High-sensitive next-generation flow cytometry (NGF) is used to detect MRD in multiple myeloma and has been suggested as the new treatment-endpoint for MM
- MRD assessment by NGF is being assessed in AL amyloidosis by several groups.
- Between 40% and 75% of patients in CR are reported to be MRD negative by NGF
- Absence of clonal BMPC by standard-sensitivity multiparameter flow cytometry, is associated with improved progression-free survival
- Patients without detectable MRD by NGF have higher probability of organ response and very low probability of relapse

Pinto, et al. Blood 2011
Lambris, et al. Clin Adv Hematol Oncol 2018
Mueller, et al. Blood 2017

Sidonio, et al. Am J Hematol 2020
Kastritis, et al. Blood Cancer J 2018
Sidonio, et al. Blood Adv 2020

Martinelli, et al. Amyloid 2020
Kastritis, et al. Amyloid 2020

The disease course is different in AL amyloidosis and multiple myeloma

Principles of AL treatment

- No long-term treatment strategy
- Risk-adapted therapy
- "Aggressive" follow-up and be ready to change approach

D'Alpenzini, et al. Bone Marrow Transplant. 2013 Oct;48(10):1302-7

ASCT in AL amyloidosis

Center	Exclusion Criteria
Amyloidosis Center Boston	>70 years, >NYHA II, PS>2, sBP>90 mmHg, symptomatic pleural effusions, EF<40%
Mayo Clinic	>70 years, >NYHA II, PS>2, cTnT >0.06 ng/ml, Creatd <30 ml/min (unless on chronic dialysis), >2 organs
Amyloidosis Center Paris	>65y, >NYHA II, PS>2, NT-proBNP>5000 ng/L, cTnT>0.06 ng/ml, EF<45%, sBP<90 mmHg, eGFR<50 mL/min, DLCO <50%
Memorial Sloan Kettering, NY	>60 years, >3 organs involved, advanced cardiac disease
HOVON Study Group	PS >2, >NYHA III, EF <45%, other severe diseases
French Study group	Inadequate organ function, elevated NT-ProBNP and TNT
NAC, London	>2 organs, PS >1, eGFR <60 mmHg, significant cardiac involvement, autonomic neuropathy or gastrointestinal involvement, TNT >0.06 ng/ml
Amyloidosis Center Heidelberg	>70 years, >NYHA II, PS>2, sBP >90 mmHg, symptomatic pleural effusions, Creatd < 30 ml/min (unless on chronic dialysis)
de Zeeuw, et al. AMR 2011; 48(13):537-4	
Sidipo, et al. ICD 2018; 36(13):1323-1329	
D'Souza, et al. ICD 2015; 33(12):3741-9	

ASCT in AL amyloidosis

Bortezomib-based therapy and ASCT

- Patients with BMPC>10% benefit from induction therapy
- Induction therapy may improve organ dysfunction and allow ASCT in previously ineligible patients
- Induction therapy independently increases PFS
- High rates of deep and durable hematologic responses can be achieved with bortezomib-based therapy alone, and transplant can be offered only to patients who fail to achieve satisfactory response with induction in a sequential, response-driven approach
- Consolidation after ASCT can improve CR rate to ~60% (~40% MRD negative)
- Consolidation after ASCT improves PFS in patients who attain <VGPR

Sidipo, et al. CO 2018; 36(13):1323-1329
Sachdeva, et al. Blood 2018;121(20):2345-7
Lambau, et al. Leukemia 2017; 31(1):136-142
Lambau, et al. Bone Marrow Transplant. 2019;26(1):204-8
Al Seidi, et al. Am 2019; 84(10):1065-1072
Basset, et al. Blood Adv 2020 (in press)

Upfront treatment flow chart for AL amyloidosis

Low-risk patients, eligible for ASCT (~20% of patients)

- Age >70 years
- ECOG PS <2
- sBP <90 mmHg
- cTnT <0.06 ng/L
- Left ventricular EF >45%
- NYHA class <II
- Systolic blood pressure ≥100 mmHg
- eGFR >50 mL/min per 1.73 m² unless on dialysis
- Bilirubin >2 mg/dL
- DLCO >50%

Consider bortezomib-based induction therapy if

- Bilirubin >120%
- or foreseeable delay before ASCT
- and no contraindications to bortezomib

High rates of deep and durable hematologic responses can be achieved with bortezomib-based therapy alone

ASCT (melphalan 200 mg/m²)

Consider bortezomib-based "consolidation" therapy if

- <VGPR/CR
- and no contraindications to bortezomib

Faculty opinion

CyBorD in AL amyloidosis: a retrospective study of 230 patients

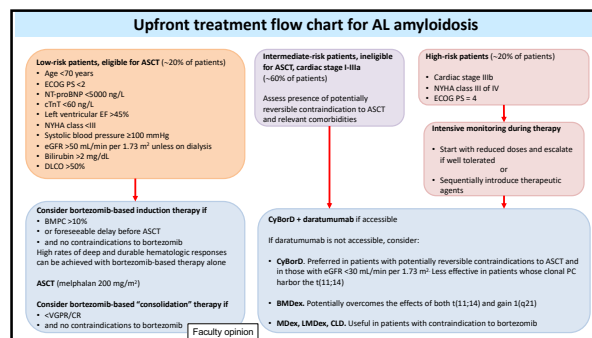
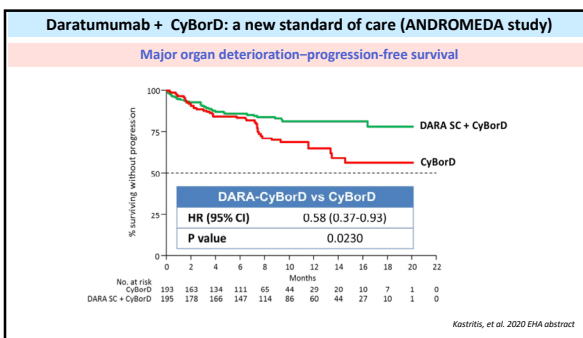
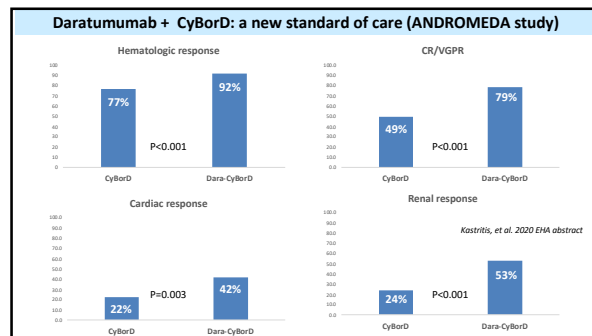
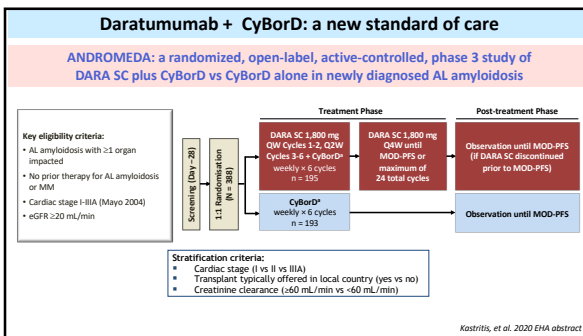
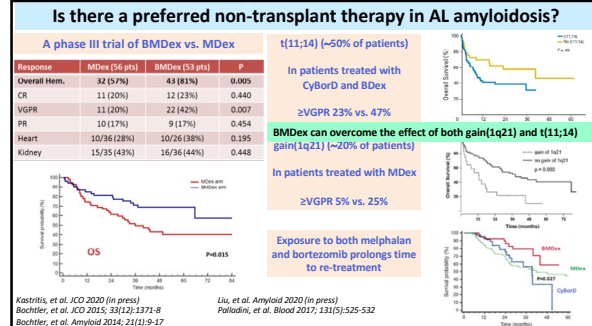
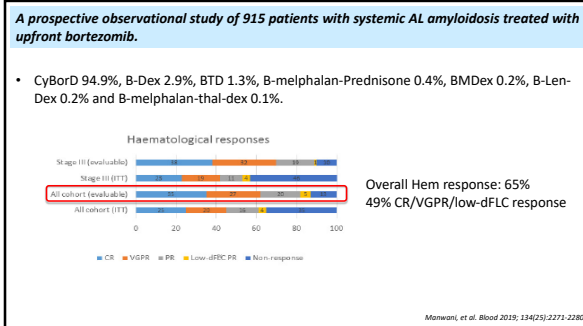
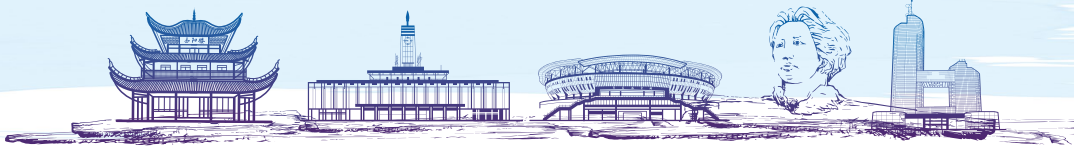
Early stage patients (stage I) without cardiac involvement, benefit most from CyBorD

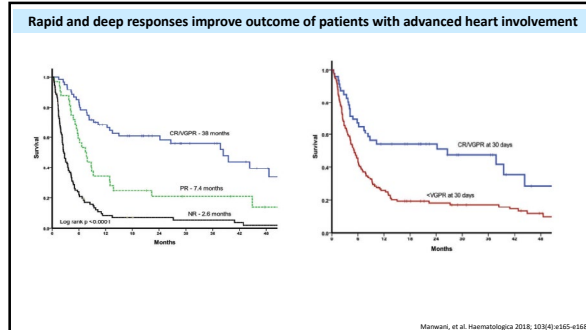
CyBorD does not overcome the poor prognosis of patients with very advanced cardiac involvement (stage III with NT-proBNP >8500 ng/L)

Response category	Stage I (30 patients)	Stage II (67 patients)	Stage IIIa (61 patients)	Stage IIIb (43 patients)
Overall hem.	77%	64%	69%	42%*
CR	33%	18%	23%	14%
VGPR	23%	27%	26%	9%
PR	20%	19%	20%	19%
Cardiac	-	29%	17%	4%*

*P<0.05 compared to stages (I), (II), and (IIIa)

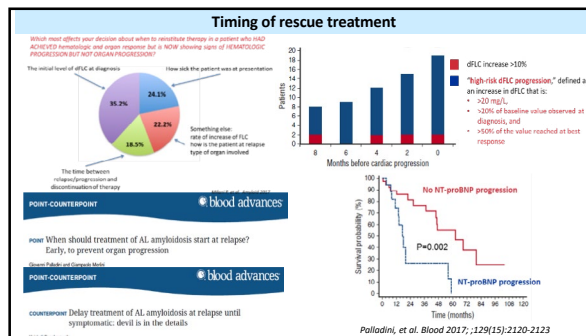
Palladini, et al. Blood 2015; 126(5):612-8





Is there a role for maintenance treatment?

- No controlled study of maintenance is available
- Maintenance therapy after standard upfront therapy is not advisable
- Based on the ANDROMEDA study design and on the efficacy and safety profile of daratumumab in AL amyloidosis, it is reasonable to
 - prolong treatment with daratumumab in patients who achieve a satisfactory response and tolerate the drug

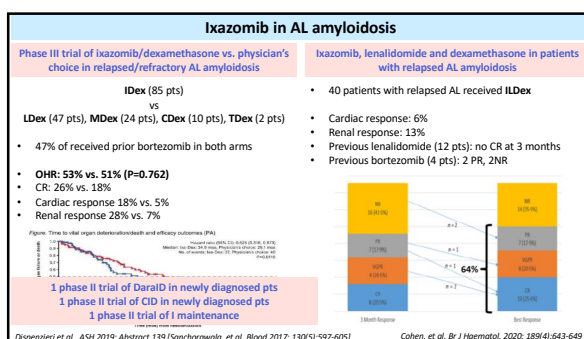
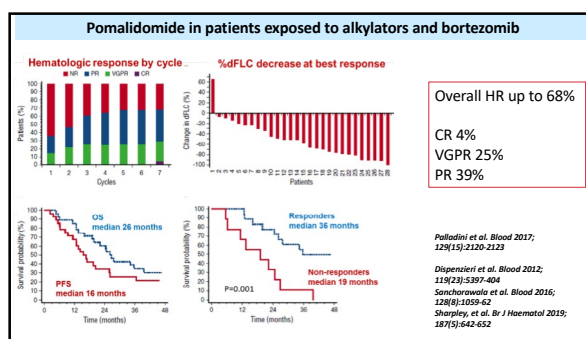


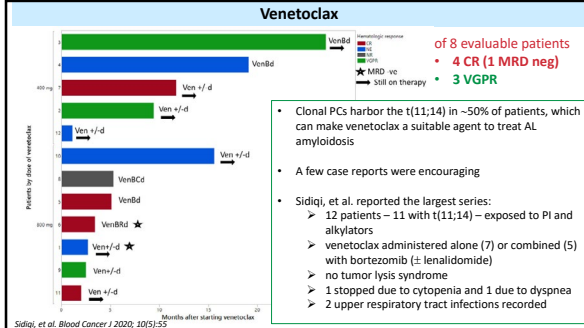
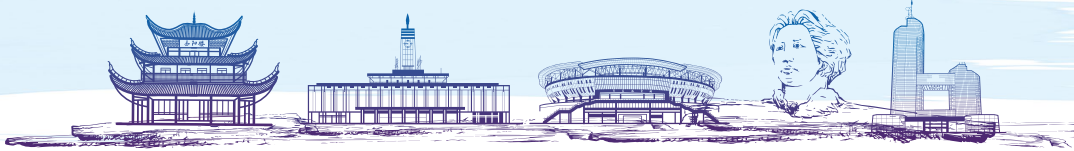
Lenalidomide can overcome resistance to alkylating agents and proteasome inhibitors

Regimen	Time period	Previously treated patients (prior therapies)	HR	OR	Survival
L(Dex) Dispenser 2007 ¹	2004-2005	13 (ASCT 46%)	38%	15%	-
L(Dex) Sanchowala 2007 ²	2004-2006	31 (ASCT 61%, T 23%)	52%	51% (kidney)	-
CLD Kumar 2012 ³	2007-2008	11 (ASCT 64%, T 9%)	60%	32% (including newly-diagnosed)	Median 38 months
CLD Kastritis 2012 ⁴	2008-2011	13 (ASCT 21%, T 21%, B 39%)	58% (CR 8%)	42%	Median 29 months
Ldex Palladini 2012 ⁵	2007-2009	24 (ASCT 29%, MDex 71%, T 37%, B 100%)	41%	6% (heart)	Median 14 months
CLD Palladini 2013 ⁶	2008-2009	21 (ASCT 24%, MDex 81%, T 29%, B 19%)	62% (CR 5%, VGPR 24%)	19% (kidney)	Median 36 months
Ldex Mahmood 2014 ⁷	2007-2013	84 (ASCT 1%, T 76%, B 68%)	61% (CR 20%)	55% (kidney)	84% @ 2y

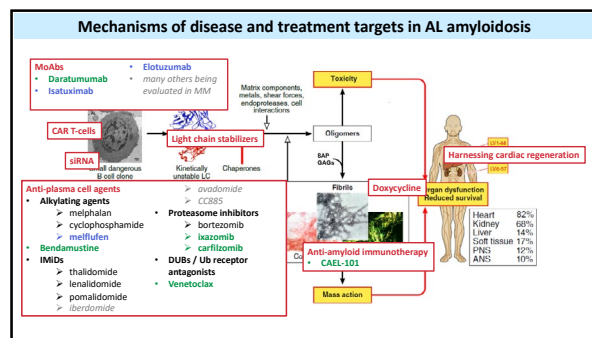
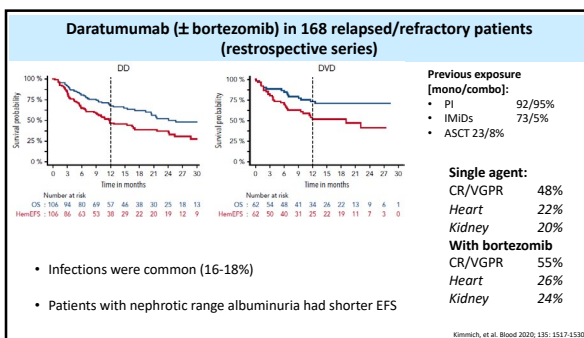
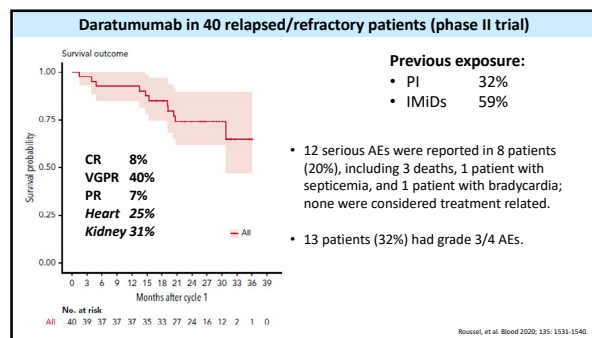
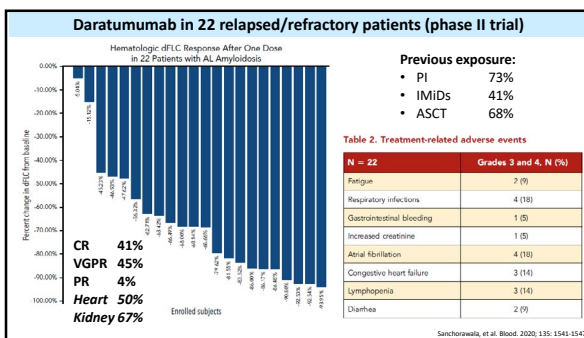
*Among patients with [renal] AL amyloidosis, worsening of kidney function occurs frequently during lenalidomide treatment. [...] kidney function should be monitored closely during treatment with this drug**

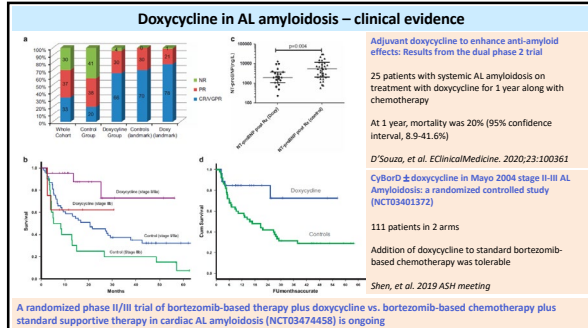
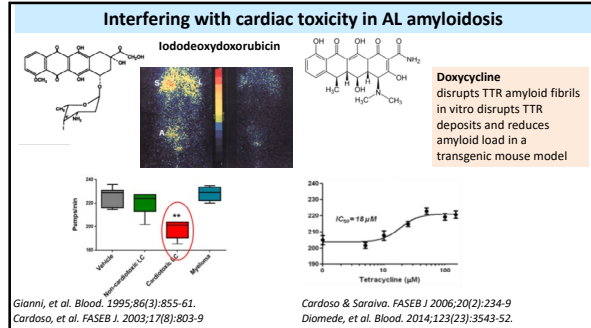
1. Dispenser et al., Blood 2017; 109(2):465-70; 2. Sanchowala et al., Blood 2007 Jan 15;109(2):492-4; 3. Kumar et al., Blood 2012 May 24;119(21):4860-4867; 4. Kastritis et al., 119(23):5384-90; 5. Palladini et al., 91(1):89-92; 6. Palladini et al., Haematologica 2013 Mar;98(3):433-6; 7. Mahmood et al., Br J Haematol. 2014 Sep;166(6):842-8; Specter et al., Nephrol Dial Transplant 2011; 26(3):881-6





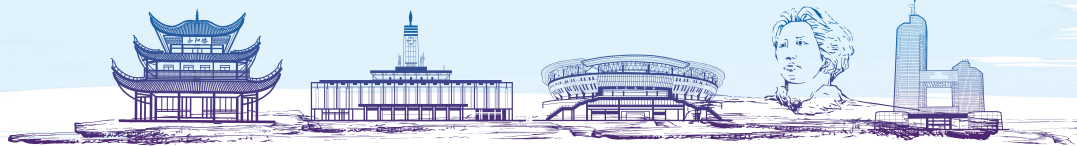
Daratumumab in relapsed/refractory patients					
Regimen (M/C)	Previously treated patients (prior therapies)	HR	OR	Median time to response (months)	
Mono¹		76% (CR 36%, VGPR 24%)	-	1	
Mono²		86% (CR 33%, VGPR 53%)	-	1	
Mono		78% (CR 14%, VGPR 64%)	H 43%, K 18%	3	
Combo³		88% (CR 19%, VGPR 63%)	H 48%, K 36%	2	
Prospective trial⁴		90% (CR 41%, VGPR 45%)	H 50%, K 67%	0.25	
Mono⁵		77% (CR 40%, VGPR 23%)	H 55%, K 52%	1	
Mono		72			
Combo⁶		72% (CR 28%, VGPR 36%)	H 37%, K 59%	0.5	
Mono		64% (CR/VRP 48%)	H 22%, K 20%	-	
Combo (+B)⁷		66% (CR/VRP 55%)	H 26%, K 24%		
Mono		40			
Prospective trial⁸		55% (CR 8%, VGPR 40%)	H 25%, K 31%	0.25	
Mono		72			
Combo		83% (CR 30%, VGPR 56%)	H 29%, K 60%	2	





Conclusion

- Early diagnosis, possibly at a pre-symptomatic stage is vital
- Diagnosing systemic amyloidosis is difficult and requires adequate technologies
- Treatment should be risk-adapted
- Treatment should be response-adapted, but response assessment is difficult and best done at specialized centers
- The combination of chemo- and immuno-therapy offers powerful regimens upfront and at relapse



企业鸣谢



